

รายงานฉบับสมบูรณ์

โครงการ

ความหลากหลายทางพันธุกรรม และความสัมพันธ์ทางไฟโลเจนติก
ของไซยาโนแบคทีเรียในน้ำพื้อน

โดย

ดร.ปานมุก วัชระปิยะโสกุล
นายประพันธ์ ไตรยสุทธิ
ภาควิชาชีววิทยา คณะวิทยาศาสตร์
มหาวิทยาลัยเชียงใหม่

RECEIVED	
BY	John
DATE 10/5/53	

รายงานฉบับสมบูรณ์

โครงการ

ความหลากหลายทางพันธุกรรม และความสัมพันธ์ทางไฟโลเจนติก
ของไซยาโนแบคทีเรียในน้ำพื้นดิน

คณะผู้วิจัย

ดร.ปานมุก วัชระปิยะโสภณ

นายประพันธ์ ไตรยสุทธิ์

ภาควิชาชีววิทยา คณะวิทยาศาสตร์ มหาวิทยาลัยเชียงใหม่

สนับสนุนโดยโครงการพัฒนาองค์ความรู้ และศึกษา

นโยบายการจัดการทรัพยากรชีวภาพ ในประเทศไทย (โครงการ BRT)

กิตติกรรมประกาศ

คณะผู้วิจัยขอขอบคุณ ห้องปฏิบัติการวิจัยสาขาวร่ายประยุกต์ ภาควิชาชีววิทยา คณะวิทยาศาสตร์ มหาวิทยาลัยเชียงใหม่ ที่อนุเคราะห์สายพันธุ์ไซยาโนแบคทีเรียจากน้ำพุร้อนที่ใช้ในการวิจัย

ขอขอบคุณสาขาวิชาจุลชีววิทยา คณะวิทยาศาสตร์ มหาวิทยาลัยเชียงใหม่ ที่เอื้อเพื่อสถานที่ในการทำวิจัย ผู้ช่วยศาสตราจารย์ ดร.สกุณณี บรรสมบัติ คุณสุนทร งามวรรณ คุณนิเวศ ศรีล้อม คุณสมบัติ ใจคำ ที่คอยช่วยเหลืออำนวยความสะดวก และจัดหาเกี่ยวกับอุปกรณ์ รวมทั้งเครื่องมือที่ใช้ในการวิจัย

ผลงานวิจัยนี้ได้รับทุนสนับสนุนจาก โครงการพัฒนาองค์ความรู้และศึกษาよいนายการจัดการทรัพยากรชีวภาพในประเทศไทย ซึ่งร่วมจัดตั้งโดยสำนักงานสนับสนุนการวิจัย และศูนย์พันธุ์ชีวกรรมและเทคโนโลยีชีวภาพแห่งชาติ รหัสโครงการ BRT_R250004

คณะผู้วิจัย

โครงการ

ความหลากหลายทางพันธุกรรม และความสัมพันธ์ทาง
ไฟโลเจนิติกของไซยาโนแบคทีเรียน้ำพุร้อน

คณะผู้วิจัย

ดร.ปานมุก วัชระปิยะโสกณ
นายประพันธ์ ไตรยสุทธิ

บทคัดย่อ

การศึกษาความหลากหลายทางพันธุกรรม และความสัมพันธ์ทางไฟโลเจนิติกจากลำดับเบสของคีเอ็นเอบรีเวณ 16S-23S internal transcribed spacer (16S-23S ITS), intergenic spacer (PC-IGS) ของไฟโโคไซยาโน ไอโอเปอร้อน และการศึกษารายพิมพ์ดีเอ็นเอจากลำดับเบสซ้ำต่อเนื่องช่วงสั้นและยาว (Short and long tandemly repeat repetitive sequence; STRR and LTRR) จากไซยาโนแบคทีเรียน้ำพุร้อนจำนวน 11 สายพันธุ์ ได้แก่ *Synechococcus* sp. SK70, *Synechococcus* sp. SK50, *Synechococcus* sp. PD55, *Phormidium* sp. SK45, *Phormidium* sp. PD40, *Phormidium* sp. PR40, *Scytonema* sp. TP40, *Scytonema* sp. TP40-1, *Leptolyngbya* sp. PR40, *Chroococcidiopsis* sp. PR45 และ *Oscillatoria* sp. KC45 พบว่าไซยาโนแบคทีเรียน้ำพุร้อนในประเทศไทย มีความหลากหลายทางพันธุกรรมแตกต่างจากไซยาโนแบคทีเรียที่พนจากแหล่งอื่นๆ โดยเมื่อเปรียบเทียบจากลำดับเบสของ 16S-23S ITS ที่ได้กับฐานข้อมูลใน Genbank พบว่ามีความเหมือนกับข้อมูลใน Genbank ระหว่าง 88-100 % ส่วนลำดับเบสของ PC-IGS มีความเหมือนกับข้อมูลใน Genbank 94 – 95 % ลำดับเบสของ *Phormidium* sp. และ *Oscillatoria* sp. ไม่เหมือนกับข้อมูลในฐานข้อมูล ในส่วนของการศึกษาความสัมพันธ์ทางไฟโลเจนิติก (Phylogenetic tree) ของ PC-IGS มีความสอดคล้องกับการจัดกลุ่มตามลักษณะทางสัณฐานวิทยา ส่วนแผนภูมิที่ได้จากลำดับเบสของ 16S-23S ITS แสดงความสัมพันธ์ของกลุ่มยังไม่ชัดเจนเนื่องจากเป็นบรีเวณที่มีความผันแปรสูง และมีแนวโน้มที่จะมีความหมายสมกับไซยาโนแบคทีเรียที่อยู่ในจีนสเดียวกัน การศึกษารายพิมพ์ดีเอ็นเอโดยใช้ไฟเมอร์ที่จำเพาะกับลำดับเบสซ้ำต่อเนื่องช่วงสั้น 2 ชนิด คือ STRR 1A และ STRR 1B เมื่อทำ cluster analysis พบว่ารายพิมพ์ดีเอ็นเอที่ได้ สามารถใช้บ่งบอกความแตกต่างของไซยาโนแบคทีเรียน้ำพุร้อนได้ในระดับจีนส ส่วนไฟเมอร์ที่จำเพาะกับลำดับเบสซ้ำต่อเนื่องช่วงยาว 2 ชนิด คือ LTRR1 และ LTRR2 ไม่มีความหมายสมที่จะใช้ในการทำรายพิมพ์ดีเอ็นเอของไซยาโนแบคทีเรียกลุ่มนี้

Project Genetic Diversity and Phylogenetic Relationship of Hot Spring**Cyanobacteria**

Researcher Dr. Panmuk Vacharapiyasophon
Mr. Prapun Triyasut

Abstract

The study of genetic diversity and phylogenetic relationship of 16S-23S internal transcribed spacer (16S-23S ITS), intergenic spacer of phycocyanin operon (PC-IGS) and DNA fingerprints of short and long tandemly repeat repetitive sequences (STRR and LTRR) from 11 hot spring cyanobacteria strains: *Synechococcus* sp. SK70, *Synechococcus* sp. SK50, *Synechococcus* sp. PD55, *Phormidium* sp. SK45, *Phormidium* sp. PD40, *Phormidium* sp. PR40, *Scytonema* sp. TP40, *Scytonema* sp. TP40-1, *Leptolyngbya* sp. PR40, *Chroococcidiopsis* sp. PR45 and *Oscillatoria* sp. KC45 was performed. It was found that, the genetic of Thai hot spring cyanobacteria differs from cyanobacteria from other sources. The comparison of 16S-23S ITS sequences with Genbank showed 88-100 % similarity to the database. While the sequence of PC-IGS showed 94 – 95 % similarity. There was no similarity between PC-IGS of *Phormidium* sp. and *Oscillatoria* sp. to the database. Phylogenetic relationship study showed that the phylogenetic tree PC-IGS related with the morphological classification. On the other hand, the tree from 16S-23S ITS showed an unclear grouping because this region has high degree of variation. This marker may be suitable to classify cyanobacteria within the same genera. Cluster analysis of DNA fingerprints obtained from two primers specific to short tandemly repeat, STRR 1A and STRR 1B, distinguished hot spring cyanobacteria at genus level. On the other hand, two primers specific to long tandemly repeat repetitive sequences, LTRR1 and LTRR2, were not suitable to generate DNA fingerprints in this group of cyanobacteria.

สารบัญ

หน้า

กิตติกรรมประกาศ	ก
บทคัดย่อภาษาไทย	ข
บทคัดย่อภาษาอังกฤษ	ค
สารบัญ	ง
สารบัญตาราง	จ
สารบัญภาพ	ฉ
บทที่ 1 บทนำ	1
บทที่ 2 ทบทวนเอกสาร	4
บทที่ 3 วิธีการทดลอง	23
บทที่ 4 ผลการศึกษา	29
บทที่ 5 สรุปและวิจารณ์ผลการศึกษา	52
บทที่ 6 ปัญหาและข้อเสนอแนะ	61
เอกสารอ้างอิง	65
ภาคผนวก ก	77
ภาคผนวก ข	79
ภาคผนวก ค	82
ภาคผนวก ง	89
ภาคผนวก จ	93

สารบัญตาราง

ตาราง		หน้า
1	ลักษณะของลำดับเบนซ้ำต่อเนื่องที่พบในจีโนมของโปรดักติโอต ไซยาโนแบคทีเรียที่ทำการคัดเลือกมาใช้เป็นตัวแทนในการศึกษา	16
2	ไฟรเมอร์ที่ใช้ในการทดลอง	23
3	ลักษณะทางสัณฐานวิทยาของไซยาโนแบคทีเรียที่ใช้ในการศึกษาแยกตาม Order	26
4	ค่าความเหมือนจากการเปรียบเทียบลำดับเบนของ 16S-23S ITS ของ ไซยาโนแบคทีเรียน้ำพุร้อน กับ ข้อมูลใน NCBI	29
5	ข้อมูลของไซยาโนแบคทีเรียที่ใช้ในการสร้างแผนภูมิความสัมพันธ์ทาง ไฟโลเจนิติกของ 16S-23S ITS จากฐานข้อมูลใน NCBI	38
6	ค่าความเหมือนจากการเปรียบเทียบลำดับเบนของไฟโคโซยานินโอดีโอเปอรอน intergenic spacer (PC-IGS) ของไซยาโนแบคทีเรียน้ำพุร้อน กับข้อมูลใน NCBI	41
7	ข้อมูลของไซยาโนแบคทีเรียที่ใช้ในการสร้างแผนภูมิความสัมพันธ์ทาง ไฟโลเจนิติกของ PC-IGS จากฐานข้อมูลใน NCBI	43
8	ข้อมูลการปรากฏ (1) ไม่ปรากฏແບນດີເຈັ້ນເອ (0) ໃນແຕ່ລະຕຳແໜ່ງຈາກລາຍພິມ ດີເຈັ້ນເອຂອງไฟรเมอร์ STRR 1A	45
9	ข้อมูลการปรากฏ (1) ไม่ปรากฏແບນດີເຈັ້ນເອ (0) ໃນແຕ່ລະຕຳແໜ່ງຈາກລາຍພິມ ດີເຈັ້ນເອຂອງไฟรเมอร์ STRR 1B	47
10	แสดงปัญหา อุปสรรค และแนวทางการแก้ไข	50
11		61

สารบัญภาพ

ภาพ	หน้า
1 บริเวณที่มีการอนุรักษ์ไว้ (conserved region) ของยีน 16S rRNA ซึ่งมีอยู่ในสิ่งมีชีวิตทุกชนิด	10
2 แผนภาพของยีน 16S rRNA และบริเวณ 16S-23S rRNA ITS	13
3 ตำแหน่งของ IGS ของไฟโโคไซยานิน ไอเปอรอนระหว่างสับยูนิตเบต้า <i>cpcB</i> และสับยูนิตแอลfa <i>cpcA</i>	14
4 ลักษณะทางสัณฐานวิทยาของไซยาโนแบคทีเรียน้ำพุร้อนจีนสีที่ใช้ในการศึกษา	32
5 จีโนมิกดีเอ็นเอของไซยาโนแบคทีเรียน้ำพุร้อนที่ใช้ในการศึกษา	33
6 จีโนมิกดีเอ็นเอที่สักด้าได้จาก <i>Synechococcus</i> sp. SK50 โดยใช้ glass bead ร่วมกับ extraction buffer	34
7 ผลิตภัณฑ์พีซีอาร์ของยีน 16S-23S ITS ที่ได้จากการใช้ไพรเมอร์ 16S-1247f และ 23S-1608r	35
8 ผลิตภัณฑ์พีซีอาร์ของยีน 16S-23S ITS ที่ได้จากการใช้ไพร์เมอร์ 1114F และ 23S-xxr	36
9 ผลิตภัณฑ์พีซีอาร์ของ PC-IGS ที่ได้จากการใช้ไพร์เมอร์ PCBF และ PCAR	37
10 แผนภูมิความสัมพันธ์ทางไฟโลเจนติกของไซยาโนแบคทีเรียจากลำดับเบสของ 16S-23S ITS ที่ได้จากการวิเคราะห์ โดยวิธี Neighbor-Joining	40
11 แผนภูมิความสัมพันธ์ทางไฟโลเจนติกของไซยาโนแบคทีเรียจากลำดับเบสของ PC-IGS ของไฟโโคไซยานิน ไอเปอรอนที่ได้จากการวิเคราะห์โดยวิธี Neighbor-Joining	44
12 แบบดีเอ็นเอที่ได้จากการใช้ไพรเมอร์ STRR 1A	46
13 แผนภูมิแสดงความสัมพันธ์ระหว่างกลุ่มของไซยาโนแบคทีเรีย ที่ได้จากลายพิมพ์ดีเอ็นเอ โดยใช้ไพรเมอร์ STRR 1A	48
14 แบบดีเอ็นเอที่ได้จากการใช้ไพรเมอร์ STRR 1B	49
15 แผนภูมิแสดงความสัมพันธ์ระหว่างกลุ่มของไซยาโนแบคทีเรีย ที่ได้จากลายพิมพ์ดีเอ็นเอ โดยใช้ไพรเมอร์ STRR 1B	51

บทที่ 1

บทนำและวัตถุประสงค์

ไซยาโนแบคทีเรีย หรือสาหร่ายสีเขียวแกมน้ำเงินทอนอุณหภูมิสูง (thermotolerant cyanobacteria หรือ thermotolerant blue-green algae) พบได้ทั่วไปตามบ่อน้ำร้อน และน้ำพุร้อน เป็นสิ่งมีชีวิตที่สามารถเจริญได้ในสภาพแวดล้อมที่ผิดปกติ นับว่าเป็นทรัพยากรธรรมชาติที่มีคุณค่า สูง ได้มีการนำเอาเองไชเม่ สารปฏิชีวนะ กระดองโน รงควัตถุ และสารอื่นๆ มาใช้ประโยชน์ทาง อุตสาหกรรม เกษตรกรรม และด้านการแพทย์ เนื่องจากคุณสมบัติของการคงความสามารถในการ ทำงานที่อุณหภูมิสูง ได้ ดังนี้ การศึกษาถึงความหลากหลาย และการจัดจำแนกโดยใช้อุปกรณ์วิเคราะห์ แบบโพลีฟasisic (polyphasic taxonomy) โดยพิจารณาจากลักษณะทางสัณฐานวิทยาและลักษณะทาง พันธุกรรม จึงมีความจำเป็นเพื่อความถูกต้องในการจัดจำแนกชนิดของไซยาโนแบคทีเรีย

ในปัจจุบันการจัดจำแนกไซยาโนแบคทีเรีย จะใช้ข้อมูลพื้นฐานจากลักษณะทางสัณฐาน วิทยาเป็นหลัก อย่างไรก็ตาม ในสภาพแวดล้อมทางธรรมชาติและสภาพแวดล้อมทางเพาะเลี้ยง จะมีผลทำ ให้ลักษณะทางสัณฐานวิทยาของไซยาโนแบคทีเรียเปลี่ยนแปลงไป และเนื่องมาจากไซยาโนแบคทีเรีย มีวิวัฒนาการมานาน ทำให้จุลินทรีย์กลุ่มนี้มีความหลากหลายสูง คือมีทั้งที่ใช้ชีวิตเป็นเซลล์เดียว อยู่ รวมกันเป็นกลุ่ม หรืออยู่เป็นเด็นสาย มีการเปลี่ยนแปลงเซลล์บางเซลล์เพื่อทำหน้าที่เฉพาะอย่าง การพิจารณาจัดจำแนกจากลักษณะทางสัณฐานวิทยาแต่เพียงอย่างเดียว นั้นอาจมีความคลาดเคลื่อน เกิดขึ้นได้ ซึ่งทำให้จำนวนชนิดของไซยาโนแบคทีเรียอาจจะมากกว่าความเป็นจริง จึงได้มีความ พยายามที่จะใช้ข้อมูลลักษณะทางพันธุกรรมเข้ามาร่วมในการจัดจำแนก และจากความก้าวหน้า ทางด้านอุปชีววิทยาทำให้มีเทคนิค และวิธีการที่สามารถศึกษาได้ถึงความแตกต่างในระดับ พันธุกรรมของสิ่งมีชีวิต โดยพิจารณาจากความเหมาะสมและระดับของการจัดจำแนก ข้อมูลทาง พันธุกรรมที่นำมาใช้ในการศึกษานี้ คือลำดับเบสของยีน 16S ribosomal RNA (16S rDNA) ลำดับ เบสของดีเอ็นเอบริเวณ 16S-23S internal transcribed spacer (16S-23S ITS) และ intergenic spacer (PC-IGS) ของไฟโคลไซยานิน ไอโอเปอรอน วิเคราะห์ข้อมูลเหล่านี้เพื่อใช้ศึกษาความสัมพันธ์ทาง ไฟโโลเจนิติกของไซยาโนแบคทีเรียน้ำพุร้อน ซึ่งการนำเอาลำดับเบสของดีเอ็นเอจากในไซยาโน แบคทีเรียที่มีลักษณะทางสัณฐานวิทยาที่มีความแตกต่างกัน หรือมีความใกล้เคียงกันมาเปรียบเทียบ จะสามารถบ่งบอกความสัมพันธ์เชิงวิวัฒนาการระหว่างกลุ่มนี้ ได้มากกว่าการเปรียบเทียบจาก ลักษณะทางสัณฐานวิทยาแต่เพียงอย่างเดียว

สิ่งมีชีวิตที่มีลำดับเบสของดีเอ็นเอต่างกัน ย้อมมีแบบแผนลายพิมพ์ดีเอ็นเอแตกต่างกัน และ สิ่งมีชีวิตที่มีความใกล้ชิดกันจะมีแบบแผนลายพิมพ์ดีเอ็นเอที่คล้ายคลึงกันด้วย การศึกษาลาย

พิมพ์ดีอีนเอมีอยู่ด้วยกันหลายวิธีขึ้นอยู่กับความเหมาะสมและระดับของการจัดจำแนก โดยปกติในจีโนมของโปรดักต์จะพบว่ามีลำดับเบสซ้ำกัน (repeated repetitive sequences) ประมาณ 1% และสามารถพบได้ทั่วไปในสิ่งมีชีวิตทุกชนิด มีทั้งรูปแบบซ้ำที่มีความเหมือนหรือแตกต่างกันในแต่ละนิวคลีโอไทด์ ซึ่งมีความจำเพาะในแต่ละจีโนมการใช้ลำดับเบสซ้ำต่อเนื่องช่วงสั้นและยาว จึงเป็นอีกวิธีการหนึ่งที่นำมาใช้ในการพิจารณาความแตกต่างในระดับของจีนัส และสปีชีส์ จึงมีความจำเป็นที่จะต้องประเมินความเหมาะสมของเทคนิคที่ใช้ในการทำลายพิมพ์ดีอีนเอ ซึ่งมีความสำคัญต่อการบ่งชี้ไซยาโนแบคทีเรียจากแหล่งธรรมชาติได้อย่างรวดเร็ว และถูกต้องแม่นยำยิ่งขึ้น

การจัดจำแนกไซยาโนแบคทีเรีย มีด้วยกัน 2 ระบบ ได้แก่ ระบบดั้งเดิมทางพฤกษศาสตร์ (traditional botanical taxonomy) และระบบทางแบคทีเรีย (bacteriological taxonomy) โดยในระบบดั้งเดิมทางพฤกษศาสตร์นั้นได้จัดอยู่ในวงศ์ Cyanophyceae ทำการจัดจำแนกโดยการสังเกตจากลักษณะทางสัณฐานวิทยาของตัวอย่างที่เก็บจากธรรมชาติ การเรียกชื่อก็ใช้ระบบเดียวกับระบบพฤกษศาสตร์ ขณะที่ Bold and Wynne (1985) ได้จัดไซยาโนแบคทีเรียอยู่ใน Division Cyanophyta แต่ปัจจุบันมีการกีดขึ้นคือความผันแปรทางลักษณะสัณฐานวิทยาที่เกิดจากอิทธิพลของสิ่งแวดล้อม ถึงแม้ว่าจะมีลักษณะทางพันธุกรรมที่คล้ายคลึงกันก็ตาม อิทธิพลหนึ่งคือการจัดจำแนกโดยใช้ระบบทางแบคทีเรีย ซึ่งเสนอโดย Rippka *et al.* (1979) ทำการศึกษาไซยาโนแบคทีเรียจากสายพันธุ์บริสุทธิ์ (axenic culture) โดยใช้ลักษณะทางสัณฐานวิทยาและลักษณะทางสรีรวิทยา ซึ่งเป็นเพียงส่วนน้อยในจำนวนชนิดที่มีการจัดจำแนกโดยใช้ระบบดั้งเดิมทางแบคทีเรีย มีการรวบรวมการจัดจำแนกไซยาโนแบคทีเรียไว้ใน Bergey's Manual of Systematic Bacteriology ซึ่งเรียบเรียงขึ้นโดย Castenholz (2001) ซึ่งในปัจจุบันนี้การจัดจำแนกชนิดของไซยาโนแบคทีเรียได้ก้าวหน้าไปสู่ระบบที่มีความซับซ้อนสูงมากขึ้น โดยมีการนำเอาข้อมูลอื่นๆ ทั้งลักษณะชนิดขององค์ประกอบของไขมันในเซลล์ และการจัดเรียงตัวของเซลล์ ข้อมูลทางด้านพันธุกรรมเข้ามาใช้ร่วมกับข้อมูลทางด้านสัณฐานวิทยาเพื่อความถูกต้องในการจัดจำแนก

ถึงแม้ว่าจะมีการนำเสนอวิธีการหรือเทคนิคใหม่ๆ ที่ใช้ในการศึกษาทางด้านอนุกรมวิธานของไซยาโนแบคทีเรีย และจากความก้าวหน้าของเทคนิคทางด้านอนุชีววิทยา ทำให้เทคนิคนี้มีส่วนสำคัญในการเข้ามาช่วยศึกษาตัวอย่างไซยาโนแบคทีเรียได้คร่าวลงมาๆ และรวดเร็วจนนำไปสู่การพัฒนาโปรแกรมหรือชิพ ที่มีความจำเพาะและช่วยในการจัดจำแนกได้อย่างรวดเร็วและแม่นยำ แต่ยังคงคล่องแคล้นค่อนข้างมากขึ้น ก็นำมาซึ่งความขัดแย้งกันระหว่างข้อมูลการจัดจำแนกทางด้านสัณฐานวิทยา และข้อมูลทางด้านพันธุกรรมที่ไม่สอดคล้องกัน แต่เมื่อใดก็ตามที่พบความขัดแย้งจะนำมาสู่การเปิดประเด็นใหม่ในการศึกษาและวิจัย ซึ่งจะมีประโยชน์ในการศึกษาทางด้านอนุกรมวิธานของไซยาโนแบคทีเรียต่อไปในอนาคต

วัตถุประสงค์ของการศึกษา

1. เพื่อหาลำดับเบสของ 16S-23S ITS และ PC-IGS ของไซยาโนแบคทีเรียจากน้ำพุร้อน
2. ใช้ข้อมูลจากลำดับเบสของยีนที่ได้ศึกษา จัดทำเป็นแผนภูมิต้น ไม้แสดงความสัมพันธ์ทางไฟโลเจนติกของไซยาโนแบคทีเรียจากน้ำพุร้อน
3. เปรียบเทียบการจัดจำแนกไซยาโนแบคทีเรีย โดยการใช้ลักษณะทางสัณฐานวิทยาและการใช้ข้อมูลจากลำดับเบสของยีนที่ศึกษา
4. ศึกษาลายพิมพ์ดีเอ็นเอจากลำดับเบสช้าต่อเนื่องช่วงสั้นและยาว ประเมินความเหมาะสมสมของเทคนิคที่ใช้ในการทำลายพิมพ์ดีเอ็นเอเพื่อบ่งชี้ชนิดของ ของไซยาโนแบคทีเรียจากน้ำพุร้อน

บทที่ 2

ทบทวนเอกสาร

1. ไซยาโนแบคทีเรีย

ไซยาโนแบคทีเรีย หรือสาหร่ายสีเขียวแกมน้ำเงิน เป็นแบคทีเรียที่สามารถสังเคราะห์แสง และได้ออกซิเจน (oxygenic photosynthetic bacteria) จากการพับชาดึกดำบรรพ์ (fossil) ในยุค Archaeozoic ซึ่งเป็นเวลา漫ากรกว่า 2 พันล้านปีมาแล้วทำให้เข้าใจว่า ไซยาโนแบคทีเรียเป็นจุลินทรีย์กลุ่มที่มีชีวิตที่โบราณที่สุดในบรรดาสิ่งมีชีวิตทั้งหลายที่มีคลอโรฟิลล์อยู่ในเซลล์ (ขวតี, 2549) โดย ไซยาโนแบคทีเรียเป็นจุลินทรีย์ที่มีบทบาทสำคัญในระบบนิเวศต่างๆ ที่หลากหลาย ด้วยคุณสมบัติที่สำคัญในการสังเคราะห์แสงและผลิตกําชออกซิเจนสู่บรรยากาศ จึงนับได้ว่าเป็นผู้ผลิตเบื้องต้น (primary producer) ในระบบนิเวศทั้งในมหาสมุทร (Paerl, 2000) และน้ำจืด (Oliver and Ganf, 2000; Stockner *et al.*, 2000) หรือในคืน (Whitton, 2000) ไซยาโนแบคทีเรียนับเป็นกลุ่มของสาหร่ายที่มีจำนวนชนิดมากที่สุด คือมีถึง 7,500 สปีชีส์ หรืออาจจะพบว่ามีมากกว่านี้ (Chapman and Chapman, 1975) ส่วนใหญ่เป็นพวงกลู่ในน้ำจืด ด้วยความสามารถในการปรับตัวให้เข้ากับสภาวะแวดล้อมที่อาศัยอยู่ได้ดี และจากการมีวิวัฒนาการมานานทำให้สามารถพับไซยาโนแบคทีเรียได้ในสภาวะแวดล้อมหลายรูปแบบ ไม่ว่าจะเป็นรูปแบบการดำรงชีวิตอยู่ร่วมกับสิ่งมีชีวิตชนิดอื่น (Adams, 2000) หรือแม้แต่พับในสภาวะแวดล้อมสุดขั้ว (extreme environment) เช่น ขั้วโลก (Vincent, 2000) ในทะเลตราระ (Wyn-Williams, 2000) ในน้ำพุร้อน (Ward and Castenholz, 2000) หรือแหล่งที่มีความเค็มสูง (Oren, 2000)

2. อนุกรมวิธานของไซยาโนแบคทีเรีย

ไซยาโนแบคทีเรียจัดอยู่ในดิวิชัน Cyanophyta หรืออาจจะมีชื่อเรียกเป็นดิวิชันอื่น เช่น Myxophyta, Myxophycophyta, Cyanochloronta และ Cyanophycophyta (Bold and Wynne, 1985) แต่ผู้เชี่ยวชาญทางแบคทีเรียจะเรียกว่า ไซยาโนแบคทีเรีย และจัดไว้ใน Class Schizophyceae อยู่ใน Division Schizomycophyta ซึ่งเป็นกลุ่มเดียวกับแบคทีเรียทั่วๆไป ทั้งนี้เพราะสาหร่ายชนิดนี้มีโครงสร้างของนิวเคลียสคล้ายคลึงกับนิวเคลียสของแบคทีเรีย และบางชนิดยังมีคุณสมบัติในการตรึงไนโตรเจนจากอากาศได้เช่นเดียวกับแบคทีเรียที่สามารถตรึงไนโตรเจนได้ นอกจากนั้นยังมีคุณสมบัติทางชีวเคมีคล้ายคลึงกับแบคทีเรียด้วย อย่างไรก็ตามนักวิชาการทางด้านสาหร่ายก็ยังจัดกลุ่มของสาหร่ายพวงนี้แยกออกจากแบคทีเรีย เนื่องจากไซยาโนแบคทีเรียมีคลอโรฟิลล์เอ

(chlorophyll a) และมีการปล่อยออกซิเจนสู่สิ่งแวดล้อมจากกระบวนการสังเคราะห์แสง ซึ่งไม่พบในแบคทีเรียทั่วไป (ยุวดี, 2549)

การจัดจำแนกไชยาโนแบคทีเรีย ในระดับของจินส์และสปีชีส์นั้นจะอาศัยจากลักษณะทางสัณฐานวิทยา (Rippka, 1988) โดยพิจารณาจากลักษณะการเจริญเติบโต เป็นเซลล์เดี่ยว รวมกันเป็นกลุ่ม หรือเรียงตัวกันอยู่เป็นเส้นสาย ลักษณะของโคลโนนี้เมื่อนำมาเพาะเลี้ยงบนอาหารแข็ง การมีลักษณะโครงสร้างที่เป็นเส้นสาย เส้นสายอย่างง่าย (simple filament) เช่น *Oscillatoria* sp. และ *Lyngbya* sp. เป็นต้น เส้นสายที่เป็นกิ่งก้าน (branching filament) ยังสามารถแบ่งออกเป็น กิ่งก้านแท้ (true branching) เช่น *Fischerella* sp. และ *Stigonema* sp. และ กิ่งก้านเทียม (false branching) เช่น *Plectonema* sp. และ *Scytonema* sp. เป็นต้น นอกจากนี้ยังพิจารณาจากความแตกต่างกันของเซลล์ที่เรียงกันอยู่บนเส้นสาย เช่นใน *Anabaena* sp. โดยส่วนใหญ่พบว่ามี อะคินีท (akinetes) เรียงตัวอยู่ใกล้ๆ กับ เชทเทอโรซิสต์ (heterocyst) *Gloeotrichia* sp. จะมีเชทเทอโรซิสต์อยู่บริเวณปลายของเส้นสาย การสร้างชีททัม (sheath) เช่นใน *Lyngbya* sp. และ *Phormidium* sp. เป็นต้น

ไชยาโนแบคทีเรียมีรูปร่างเป็น 2 แบบ คือ แบบที่ 1 เป็นเซลล์เดี่ยวหรือโคลโนนีที่ไม่เป็นเส้นสาย (single cell, unicellular or non filamentous form) อาจจะอยู่เป็นเซลล์เดี่ยวๆ เช่น *Chroococcus* หรืออาจจะอยู่รวมกันเป็นโคลโนนแบบพาล์เมลต้า เช่น *Merismopedia*, *Eucapsis* และ *Anacystis* เป็นต้น เซลล์ของพวทนีมีรูปร่างต่างๆ กัน เช่น กลม รูปไข่ ทรงกระบอก หรือรูปไป๋แบบเหลมหัวแหลม ห้วย พวกที่อยู่เป็นโคลโนนแบบพาล์เมลต้าอาจมีลักษณะของโคลโนนกลม แบบ สีเหลี่ยม หรือมีรูปร่างที่แน่นอนก็ได้ ส่วนในแบบที่ 2 มีรูปร่างเป็นเส้นสาย (filamentous form) เซลล์จะเรียงต่อกันเป็นเส้นสายเรียกว่า ตรัยโคน (trichome) เส้นสายนี้อาจจะตรงและเรียบ ไม่มีการแตกแขนง มีเซลล์ชนิดเดียวกันมาเรียงต่อกันเรียกว่า homocystous forms เช่น *Oscillatoria* และ *Lyngbya* เป็นต้น และอีกกลุ่มเส้นสายที่มีเซลล์ปกติและมีเชทเทอโรซิสต์มาเรียงสลับหรืออยู่ที่ปลายสุดของตรัยโคน เรียกว่า heterocystous forms เช่น *Nostoc* และ *Anabaena* เป็นต้น บางชนิดเส้นสายนี้อาจจะมีปลายโค้งขอหรือบิดเป็นเกลียว เช่น *Arthospira* และ *Spirulina* (ยุวดี, 2549) อย่างไรก็ตามการจัดจำแนกชนิดของไชยาโนแบคทีเรียโดยอาศัยลักษณะทางสัณฐานวิทยาในหลายๆ จินส์ที่มีความคล้ายคลึงกันมาก เช่น *Phormidium*, *Oscillatoria* และ *Lyngbya* ยังมีปัญหาอย่างมาก และจากความก้าวหน้าทางด้านเทคนิคทางอัญชีวิทยาในปัจจุบัน จึงทำให้สามารถศึกษาได้ถึงลักษณะทางพันธุกรรมซึ่งจะใช้เป็นข้อมูลในการจัดจำแนกร่วมกับการใช้ลักษณะทางสัณฐานวิทยา

การจัดจำแนกไชยาโนแบคทีเรีย ที่ใช้ข้อมูลพื้นฐานจากลักษณะทางสัณฐานวิทยาเป็นหลัก โดยมีหลายระบบ เช่น Geitler (1932) อ้างโดยอักษร (2527) แบ่งออกเป็น 4 Order Fremy (1934) อ้างโดยอักษร (2527) แบ่งออกเป็น 3 Order Fritsch (1945) แบ่งออกเป็น 5 Order Smith (1950)

แบ่งเป็น 2 Order Bold and Wynne (1985) แบ่งออกเป็น 3 Order Desikachary (1959) อ้างโดยกาลุจันภานน์ (2527) แบ่งออกเป็น 5 Order

Rippka *et al.* (1979) ได้จัดจำแนกไซยาโนแบคทีเรียจากลักษณะทางสัณฐานวิทยา โดยแบ่งออกเป็น 5 กลุ่ม คือ

กลุ่มที่ 1 Chroococcales เป็นเซลล์เดียว เพิ่มจำนวนโดย binary fission หรือ budding

กลุ่มที่ 2 Pleurocapsales เป็นเซลล์เดียว เพิ่มจำนวนโดย multiple fission ทำให้ได้ baeocytes

กลุ่มที่ 3 Oscillatoriales เป็นเส้นสาย เพิ่มจำนวนโดย binary fission ในระบบเดียว ไม่มีการเปลี่ยนแปลงเซลล์ไปเป็นเชทเทอ โรซิสต์ หรือ อะคินีท

กลุ่มที่ 4 Nostocales เป็นเส้นสาย เพิ่มจำนวนโดย binary fission ในระบบเดียว มีการเปลี่ยนแปลงเซลล์ไปเป็นเชทเทอ โรซิสต์ หรือ อะคินีท

กลุ่มที่ 5 Stigonematales เป็นเส้นสาย เพิ่มจำนวนโดย fission ในหลายระบบ ทำให้ได้เส้นสายที่แตกกิ่งก้านอย่างแท้จริง และมีการเปลี่ยนแปลงเซลล์ไปทำหน้าที่เฉพาะอย่าง

ระบบของ Anagnostidis and Komarek (1988); Komarek and Anagnostidis (1989); Anagnostidis and Komarek (1990); Komarek and Anagnostidis (1999); และ Komarek (2003) ได้จัดจำแนกไซยาโนแบคทีเรียใหม่ โดยแบ่งออกเป็น 4 Order คือ

1. Order Chroococcales เป็นพวกเซลล์เดียว โดยเซลล์อาจจะอยู่เดียวๆ หรือเป็นโคลoni สีบันธุ์โดยวิธีการแบ่งเซลล์

2. Order Oscillatoriales มีลักษณะเป็นเส้นสาย อาจจะเป็นเส้นสายที่ไม่แตกแขนงหรือแตกแขนงแบบไม่แท้จริง บางชนิดมีเมือกหุ้ม เซลล์มีรูปร่างแบบทรงกระบอก ไม่มีการสร้างเชทเทอ โรซิสต์ (ทำหน้าที่ตรึงในโตรเจน) หรืออะคินีท (เป็นเซลล์ในระยะฟักตัว) สีบันธุ์โดยการใช้วิชาดี เป็นท่อนๆ

3. Order Nostocales มีลักษณะเป็นเส้นสายไม่แตกแขนง มีชีทหุ้มหนาหรือบางแล้วแต่ชนิด เซลล์มีรูปร่างกลม หรือเหลี่ยมเล็กน้อยแล้วป่องตรงกลาง บางชนิดเป็นแบบทรงกระบอก สร้างอะคินีท มีเชทเทอ โรซิสต์ ที่สามารถอกออกเป็นเส้นสายใหม่ได้อีกด้วย

4. Order Stigonematales มีลักษณะเป็นเส้นสายที่แตกแขนง ได้หลายแบบ มีทั้งแตกแขนงแท้จริงและไม่แท้จริง และแต่ละแบบจะมีการแตกแขนงหลายทิศทาง เซลล์ที่ประกอบด้วยเส้นสาย นั้นอาจประกอบด้วยเซลล์แควดี雅 2 แกล หรือมากกว่า แต่แขนงที่แตกออกไปมักเป็นเซลล์แควดี雅 แต่อาจจะมีมากกว่าหนึ่งแกลว์ได้ ชีทที่หุ้มมักมีสีเหลือง หรือน้ำตาล มีการสร้างเชทเทอ โรซิสต์ ไม่พบว่ามีการสร้างอะคินีท สีบันธุ์โดยการขาดออกเป็นท่อนๆ

การจัดจำแนกไชยาโนแบคทีเรียจากลักษณะทางสัณฐานวิทยาตามระบบของ Rippka เดิน
ถูกแบ่งออกเป็น 5 Order เมื่อมีการจัดจำแนกใหม่โดยระบบของ Anagnostidis และ Komarek เหลือ
เพียง 4 Order โดยในกลุ่มของ Order Pleurocapsales ได้ถูกจัดเข้าไปอยู่ใน Order Chroococcales ซึ่ง
เป็นพวกเซลล์เดียวเนื่องจากมีลักษณะทางสัณฐานวิทยาที่คล้ายคลึงกัน

ไชยาโนแบคทีเรียมีความพิเศษแตกต่างจากสาหร่ายนิดเดียว คือสามารถเปลี่ยนสีได้ การ
เปลี่ยนสีขึ้นอยู่กับความยาวคลื่นแสง (wavelength) และความเข้มแสง (intensity) โดยในปี 1902
Gaidukov ได้ตั้งสมมติฐานที่เรียกว่า Gaidukov phenomenon อธิบายว่าไชยาโนแบคทีเรียสามารถ
เปลี่ยนสีได้เมื่อเลี้ยงในที่ที่มีแสงสีต่างๆ กัน ทำให้สร้างรังควัตถุที่แตกต่างกันและมีปริมาณมากน้อย
แตกต่างกันด้วย (Tandeau de Marsac, 1977) โดย Gaidukov ได้ใช้ *Oscillatoria* ทดลองให้แสงสี
เขียว ซึ่งไชยาโนแบคทีเรียนนิจจะมีสีแดง เพราะแสงสีเขียวไปกระตุ้นให้สร้างรังควัตถุสีแดงพวก
ไฟโคเออริธrin แต่ถ้าเลี้ยงในแสงสีแดงจะทำให้สาหร่ายมีสีน้ำเงินมากขึ้น เพราะแสงสีแดงกระตุ้น
ให้สร้างไฟโคไชyanin ซึ่งเป็นรังควัตถุสีน้ำเงิน เป็นต้น ส่วนอีกการทดลองหนึ่งให้ความเข้มข้น
ของแสงต่างกัน พบร่องรอยที่ทำให้ความเข้มของแสงสูงสาหร่ายจะมีสีน้ำเงิน ถ้าความเข้มข้นของแสงต่างๆ
เป็นสีแดง ซึ่งตรงกับความจริงตามธรรมชาติที่ว่าไชยาโนแบคทีเรียที่ขึ้นในระดับน้ำลึกๆ จะมีสีแดง
หรือสีม่วง ส่วนที่ขึ้นอยู่ผิวน้ำน้ำหนึ่งหรือผิวดินจะมีสีน้ำเงินเข้ม การเปลี่ยนสีอีกประการหนึ่งของไช
ยาโนแบคทีเรียคาดว่าจะเกี่ยวกับการขาดในโครงเจนพับถ้าขาดสารอาหารชนิดนี้จะทำให้มีสีซีด
ลง หรือเป็นสีเหลือง แต่สำหรับไชยาโนแบคทีเรียที่สามารถตรึงในโครงเจนจากสิ่งแวดล้อมก็จะไม่
พบกรณีดังกล่าว (ยุวศี, 2549)

อย่างไรก็ตาม ลักษณะทางสัณฐานวิทยาของไชยาโนแบคทีเรียมักขึ้นอยู่กับสภาพแวดล้อม
ตามธรรมชาติ และสภาวะในการเพาะเลี้ยง (Doers and Parker, 1988) ลักษณะทางสัณฐานวิทยาของ
ไชยาโนแบคทีเรียสายพันธุ์หนึ่งในสภาวะแวดล้อมที่แตกต่างกัน อาจทำให้ถูกจัดจำแนกเป็นอีกสาย
พันธุ์ที่แตกต่างกันได้ จึงทำให้จำนวนจีโนทิปและสปีชีส์ของไชยาโนแบคทีเรียนน่าจะมีมากกว่าความ
เป็นจริงตามธรรมชาติซึ่งในปัจจุบันนี้ การจัดจำแนกไชยาโนแบคทีเรียได้มีการพัฒนาถ้าหน้าไปสู่
ระบบที่มีความซับซ้อนสูงมากขึ้น โดยมีการนำเอาข้อมูลต่างๆ ทั้งจากลักษณะทางสัณฐานวิทยาและ
ลักษณะทางด้านพันธุกรรมมาใช้ร่วมกันเพื่อความถูกต้องแม่นยำในการจัดจำแนก (Wilmotte 1994,
Palinska et al., 1996, Otsuka et al., 1999a, Otsuka et al., 2001) โดยได้มีการนำเอาเทคนิคชีวิตร
และทฤษฎีต่างๆ ที่จะสามารถจัดจำแนกชนิดของไชยาโนแบคทีเรียได้ โดยอาศัยจากความคล้ายคลึง
กันของลักษณะทางสัณฐานวิทยาที่พบรเห็น และอาศัยวิัฒนาการซึ่งเป็นการเปลี่ยนแปลงของยีนใน
สิ่งมีชีวิตเมื่อเวลาผ่านไประยะหนึ่ง (Theriot, 1989)

3. การศึกษาด้านความหลากหลายทางอณูชีววิทยา (molecular diversity)

การศึกษาความหลากหลายของจุลินทรีย์จากสิ่งแวดล้อมนั้นมีข้อจำกัดอยู่ที่ จุลินทรีย์บางชนิดไม่สามารถเพาะเลี้ยงให้เจริญได้ในอาหารสังเคราะห์ที่เตรียมได้จากห้องปฏิบัติการ การคัดแยกและศึกษาความหลากหลายจากจุลินทรีย์ที่รวมรวมจากแหล่งธรรมชาติจึงมีไม่ถึง 1% ของจำนวนชนิดที่มีอยู่จริง (Embry and Stackebrandt, 1997; Ward *et al.*, 1990) เพื่อหลีกเลี่ยงปัญหาดังกล่าว การศึกษาความหลากหลายของชนิดจุลินทรีย์ที่ไม่สามารถเพาะเลี้ยงได้ในห้องปฏิบัติการ การใช้เทคนิคทางด้านอณูชีววิทยาด้วยการวิเคราะห์หาลำดับเบสของยีน 16S rRNA (16S rDNA) จึงเป็นอีกทางเดือกหนึ่งที่สามารถศึกษาได้โดยไม่จำเป็นต้องทำการเพาะเลี้ยง (Amman *et al.*, 1995) ทำให้การศึกษาอนุกรมวิธานของจุลินทรีย์มีประสิทธิภาพ และครอบคลุมชนิดของจุลินทรีย์ในธรรมชาติที่มีอยู่จริงได้มากที่สุด

การศึกษาข้อมูลความแตกต่างของพันธุกรรมโดยใช้เทคนิคทางอณูชีววิทยา เพื่อที่จะนำมาใช้ในการศึกษาด้านอนุกรมวิธานของไซยาโนแบคทีเรียมด้วยกันหลายวิธี ขึ้นอยู่กับความเหมาะสมและระดับของการจัดจำแนกความแตกต่าง ได้ในระดับจีนัส หรือสปีชีส์ โดยข้อมูลทางพันธุกรรมต่างๆ ที่นำมาใช้ เช่น การอ่านลำดับเบสของยีน 16S rRNA ยีน *nifH* ซึ่งเป็นยีนที่ควบคุมรหัสในการสังเคราะห์เอนไซม์ dinitrogenase reductase ยีน *rpoC1* (DNA-dependent RNA polymerase) ยีน *nifD* (nitrogen-fixation) ลำดับเบสของดีเอ็นเอบริเวณ intergenic spacer (IGS) ระหว่างไฟโคบิลิโซม (phycobilisome) ของสันยูนิต *cpcB* และ *cpcA* ในไฟโคไซยานินโอลเปอรอน ความแตกต่างของลำดับเบสในช่วง 16S-23S ITS นอกจากนี้ยังมีการศึกษาลายพิมพ์ดีเอ็นเอ (DNA fingerprinting) จากเทคนิค Denaturing Gradient Gel Electrophoresis (DGGE), Restriction Fragment Length Polymorphism (RFLP), Amplified Fragment Length Polymorphism (AFLP), Random Amplified Polymorphic DNA (RAPD) และการศึกษาลายพิมพ์ดีเอ็นเอจากลำดับเบสซ้ำต่อเนื่องช่วงสั้นและยาว (short and long tandem repeat repetitive sequences; STRR and LTRR) เทคนิคที่สำคัญที่ใช้เพิ่มประมาณดีเอ็นเอในตำแหน่งที่ต้องการ เพื่อวิเคราะห์หาลำดับเบสหรือใช้ศึกษาเป็นลายพิมพ์ดีเอ็นเอ คือเทคนิคพีซีอาร์ (Polymerase Chain Reaction, PCR) ซึ่งใช้เพิ่มปริมาณดีเอ็นเอในหลอดทดลองโดยเครื่อง Thermal cycler ในตำแหน่งของยีน หรือดีเอ็นเอช่วงที่ต้องการศึกษาในจีโนมของไซยาโนแบคทีเรีย

นอกจากนี้ การศึกษาความหลากหลายทางด้านอณูชีววิทยาของไซยาโนแบคทีเรียยังรวมถึงการศึกษาอนุกรมวิธานด้วยองค์ประกอบทางเคมี (chemotaxonomic) เช่นการศึกษาองค์ประกอบของกรดไขมัน (fatty acid composition) โพลี咿ามายด์ (polyamines) แคโรทีนอยด์ (carotenoids) รูปแบบของไอโซไซเมล (isozyme patterns) ไฟโคบิลิโพรตีน (phycobiliprotein patterns) การศึกษา

ลักษณะทางชีวเคมี การควบคุมการทำงานของเอนไซม์ เช่น รูปแบบของ aromatic amino acid pathway และการศึกษาด้านภูมิคุ้มกันเปรียบเทียบลักษณะของ โปรตีนเพื่อวัดอัตราส่วนในการจับตัวตกลงระห่ำแองติบอดี้ (antibody) กับแอนติเจน (antigen) อย่างไรก็ตามการศึกษาข้อมูลเหล่านี้เพื่อใช้ในการจัดจำแนกไข้ยาโนเบคทีเรียนนั้นยังมีไม่นานนัก เนื่องจากลักษณะเหล่านี้จะมีความผันแปรไม่สม่ำเสมอขึ้นกับสภาวะในการพัฒนา (Wilmotte, 1994)

เทคนิค Denaturing Gradient Gel Electrophoresis (DGGE) เป็นเทคนิคที่มีการพัฒนามาเพื่อทำการศึกษาการเปลี่ยนแปลงของลำดับเบสระห่ำแองติบอดี้เอ็นเอปีเอชที่สนใจ ซึ่งสามารถตรวจวัดการเปลี่ยนไปของลำดับเบสได้แม้เพียงเบสด้วย โดยการใช้ไพรเมอร์ที่มีการเดินปลายทางด้านใดด้านหนึ่งด้วย GC-clamp (Muyzer *et al.*, 1993) การตรวจวัดด้วยวิธีนี้มักใช้ควบคู่ไปกับการเพิ่มปริมาณดีเอ็นเอปีเอชที่สนใจโดยใช้เทคนิคพีซีอาร์ (polymerase chain reaction; PCR) ปกติมักใช้กับ marker genes โดยเฉพาะอย่างยิ่งในยีนของ 16S rRNA หรือ tDNA ซึ่งเป็นโมเลกุลที่นิยมใช้ในการศึกษาในเรื่องของความหลากหลายของกลุ่มประชากรจุลินทรีย์จากแหล่งที่อยู่ๆ ได้ๆ ก็ตามในธรรมชาติ เทคนิค DGGE มีข้อดีที่ไม่ต้องทำการแยกเชื้อจุลินทรีย์ให้บริสุทธิ์ก่อน เพียงแต่อายุความแตกต่างของลำดับเบสของดีเอ็นเอจากจุลินทรีย์ชนิดต่างๆ และตรวจสอบความแตกต่างดังกล่าวโดยการทำ gel electrophoresis ในสภาพที่มีสารเคมีชีวทำให้ดีเอ็นเอเสียสภาพ ดีเอ็นเอที่มีลำดับเบสต่างกันจะเสียสภาพที่ความเข้มข้นของสารเคมีแตกต่างกัน ด้วยความแตกต่างนี้เอง จึงทำให้สามารถใช้เทคนิคนี้ เพื่อทำการติดตามตรวจสอบจำนวนชนิดของจุลินทรีย์ที่มีอยู่ในตัวอย่างจากธรรมชาติได้ (Ward and Bora, 2004) การตรวจสอบชนิดของจุลินทรีย์สามารถทำได้โดยการแยกชิ้นดีเอ็นเอจาก gel electrophoresis ไปวิเคราะห์หาลำดับเบส จากนั้นตรวจสอบลำดับเบสและหาความคล้ายคลึงกันของลำดับเบสที่ได้กับลำดับเบสของดีเอ็นเอที่มีอยู่ในฐานข้อมูลสำคัญ

การเลือกลำดับสายดีเอ็นเอเพื่อนำมาศึกษาถึงความสัมพันธ์ทางไฟโลเจนติก มักจะมุ่งเน้นไปที่ยีนที่อนุรักษ์ไว้ (conserved gene) ในระดับที่เหมาะสม (Page and Holmes, 1998) กล่าวคืออาจจะเป็นยีนที่สามารถถอดรหัสเป็นโปรตีนได้ หรือโปรตีนที่ทำงานเฉพาะอย่าง โดยมีอัตราการสะสมการเปลี่ยนแปลงของลำดับสายดีเอ็นเอในระดับที่ไม่น่า หรือไม่น้อยเกินไป การศึกษาความหลากหลายทางด้านอนุชีววิทยาส่วนใหญ่ นิยมใช้วิธีการเปรียบเทียบด้วยการอ่านลำดับเบสของดีเอ็นเอมากที่สุด เนื่องจากเป็นวิธีที่ให้ข้อมูลความสัมพันธ์เชิงวิวัฒนาการได้โดยตรง ในการวัดการสืบทอดทางพันธุกรรมร่วมกันจากบรรพบุรุษร่วมของสิ่งมีชีวิตชนิดนั้นๆ ข้อสำคัญในการศึกษาโดยใช้ลักษณะระดับอนุชีววิทยาคือ ต้องเลือกยีนหรือโมเลกุลเครื่องหมาย (molecular marker) ที่จะใช้ให้มีอัตราการวิวัฒนาการเหมาะสมสมกับกลุ่มของสิ่งมีชีวิตที่จะศึกษา โดยใช้ยีนที่มีวิวัฒนาการช้า กลับกันที่มีวิวัฒนาการแยกจากกันตั้งแต่ครั้งโบราณ (ancient groups) ตัวอย่างเช่น ribosomal

subunit DNA คือ ยีนที่ถอดรหัสเพื่อให้อาร์เอ็นเอชนิดที่เป็นองค์ประกอบของไรโบโซม (ribosomal RNA gene; rRNA gene; rDNA) ซึ่งมีอยู่ในสิ่งมีชีวิตทุกชนิดและมีวิวัฒนาการซ้ำมาก (ภาพ 1) ทำให้สามารถศึกษาได้ถึงความสัมพันธ์ทางไฟโลเจนติกของสิ่งมีชีวิตทุกชนิดได้ ขณะที่เลือกใช้ยีนที่มีวิวัฒนาการเร็วกับกลุ่มสิ่งมีชีวิตที่พึงแยกออกจากกันไม่นานมาแล้ว (recent groups) ตัวอย่างเช่น mitochondrial genes ซึ่งมีอัตราการแทนที่ของลำดับเบสต่อเนื่อง (base substitution rate) เร็วกว่าใน nuclear genes ถึง 10 เท่า และถูกใช้อย่างแพร่หลายในระบบวิทยาของสัตว์ (เจณูฯ, 2547)

human	...GTGCCAGCAGCCCGGGTAATTCCAGCTCCAATAGCGTATATTAAAGTTGCTGCAGTTAAAAAG...
yeast	...GTGCCAGCAGCCCGGGTAATTCCAGCTCCAATAGCGTATATTAAAGTTGCTGCAGTTAAAAAG...
corn	...GTGCCAGCAGCCCGGGTAATTCCAGCTCCAATAGCGTATATTAAAGTTGCTGCAGTTAAAAAG...
<i>Escherichia coli</i>	...GTGCCAGCAGCCCGGGTAATAACGGAGGGTCAAGCGTTAACGGAAATTACTGGCGTAAAGCG...
<i>Anacystis nidulans</i>	...GTGCCAGCAGCCCGGGTAATAACGGGAGAGGCAAGCGTTACCGGAAATTACTGGCGTAAAGCG...
<i>Thermotoga maritima</i>	...GTGCCAGCAGCCCGGGTAATAACGTAGGGGCAAGCGTTACCGGATTTACTGGCGTAAAGGG...
<i>Methanococcus vannielii</i>	...GTGCCAGCAGCCCGGGTAATAACGACGGCCCCAGTGGTAGCCACTCTTATTGGGCCTAAAGCG...
<i>Thermococcus celere</i>	...GTGGCAGCCGCCGGGTAAATACCGCGGCCCGAGTGGTGCCGCTATTATTGGGCCTAAAGCG...
<i>Sulfolobus sulfataricus</i>	...GTGTCAGCCGCCGGGTAAATACCAGCTCCGCCAGTGGTCGGGTGATTACTGGGCCTAAAGCG...

ภาพ 1 บริเวณที่มีการอนุรักษ์ไว้ (conserved region) ของยีน 16S rRNA ซึ่งมีอยู่ในสิ่งมีชีวิตทุกชนิด (Olsen, 2000)

4. แผนภูมิต้นไม้ทางไฟโลเจนติก (phylogenetic tree)

การจัดจำแนกกลุ่มของสิ่งมีชีวิตจะอาศัยลักษณะทางสัณฐานวิทยา (morphology) ปัจจุบันนี้ ข้อมูลจากลักษณะทางสรีริวิทยา การวิเคราะห์ทางเคมี และความรู้ทางอนุชีวิทยา ได้ถูกนำเข้ามาช่วยปรับปรุงการจัดจำแนกแบบดั้งเดิม จากการใช้ข้อมูลของ ดีเอ็นเอ อาร์เอ็นเอ และโปรตีน มาใช้ศึกษาความสัมพันธ์ทางไฟโลเจนติกที่ออกแบบในรูปแผนภูมิ (topology) มีลักษณะแตกเป็นกิ่งก้านแผนภูมิดังกล่าวนี้ กำลังเป็นที่นิยมในการศึกษาด้านชีวิทยาหลายสาขาด้วยกัน การศึกษาแผนภูมิต้นไม้เพื่อแสดงให้เห็นถึงแนวทางวิวัฒนาการของสิ่งมีชีวิตต่างๆ ซึ่งการใช้แนวความคิดนี้ส่วนสอดคล้องกับการจัดจำแนกสิ่งมีชีวิตตามหลักอนุกรมวิธานแบบดั้งเดิม โดยพิจารณาว่า การจัดกลุ่มของสิ่งมีชีวิตที่มีลักษณะคล้ายกัน ໄວ่เป็นกลุ่มเดียวกัน ก็เนื่องมาจากว่าสิ่งมีชีวิตนั้น ได้มีวิวัฒนาการสืบทอดมาจากบรรพบุรุษร่วมเดียวกันนั่นเอง (Page and Holmes, 1998; เจณูฯ, 2547)

แผนภูมิต้นไม้ทางไฟโโลเจนติกทำให้ทราบถึงวิวัฒนาการของยีนหรือโปรตีน ที่เราใช้ในการศึกษา ความรู้ที่ได้นี้จะบอกรถึงความสัมพันธ์ทางไฟโโลเจนติกในอนุกรมวิธานที่แสดงตำแหน่งของสิ่งมีชีวิตที่มีความซัดเจนมากขึ้นในแผนภูมิ และยังนับเป็นส่วนหนึ่งของการศึกษาอนุกรมวิธานแบบโพลิฟัสิก (polyphasic) ที่อาจทำให้ได้รายละเอียดใหม่ๆ ของไชยาโนแบคทีเรีย ซึ่งอาจจะเป็นระดับสปีชีส์หรือระดับอื่นที่สูงกว่า (Ludwig *et al.*, 1998)

4.1 ขั้นตอนการสร้างแผนภูมิต้นไม้ทางไฟโโลเจนติก

การจัดเรียงลำดับสายดีเอ็นเอ (alignment of DNA sequences) โดยทำการจัดเรียงลำดับนิวคลีโอไทด์จากสายดีเอ็นเอหลายสาย และทำการเพิ่มลำดับของดีเอ็นเอที่เป็น out group มาใส่เพิ่มเข้าไปในชุดข้อมูล เพื่อให้เป็นสิ่งมีชีวิตที่อยู่นอกกลุ่มที่จะบอกให้โปรแกรมคอมพิวเตอร์ทราบถึงตำแหน่งที่เหมาะสมในการสร้าง rooted ในการเลือกสิ่งมีชีวิตนอกกลุ่มนั้นก็จะใช้ลำดับเบสของ 16S rDNA ของ *Escherichia coli* สำหรับการศึกษา 16S rRNA ยืนในกลุ่มโปรดาริโอต ทำการจัดเรียงข้อมูลจนกระทั่งมีระดับของความเหมือนกันสูงสุด โดยการแทรกช่องว่าง (gap) เพื่อให้ช่องว่างและจำนวนที่ทำให้เกิดสายดีเอ็นเอที่เข้าคู่ผิด (mismatch) น้อยที่สุด วิธีการสร้างแผนภูมิต้นไม้มีหลายวิธี ได้แก่

4.1.1 Distance matrix เป็นการใช้ตารางความแตกต่างโดยรวมระหว่างสายดีเอ็นเอต่างๆ ที่ศึกษาซึ่งจะมีการจัดข้อมูลแบบ UPGMA (Unweighted pair-Group Method with Arithmetic Mean) และวิธี neighbour-joining (NJ)

4.1.2 Maximum likelihood วิธีนี้จะอาศัยการคำนวณหาความน่าจะเป็นที่ข้อมูลลำดับดีเอ็นเอที่จะเกิดขึ้นจากแผนภูมิที่เป็นไปได้ประกอบกับแบบจำลองต่างๆ ของการเปลี่ยนแปลงทางวิวัฒนาการ แผนภูมิที่ได้จึงเป็นแผนภูมิที่มีความเป็นไปได้สูงสุด

4.1.3 Maximum parsimony เป็นแผนภูมิที่อาศัยจำนวนของการเปลี่ยนแปลงน้อยที่สุด ในการอธิบายความแตกต่างที่พบที่ได้จากข้อมูลลำดับดีเอ็นเอที่มี ความยาวของแผนภูมิต้นไม้ จากโครงสร้างที่เป็นไปได้ในแต่ละแบบจะถูกประมาณขึ้นจากดีเอ็นเอตำแหน่งที่ให้ข้อมูลนั้นตารางแมตทริกซ์ จากนั้นความยาวของกิ่งแต่ละกิ่งบนแผนภูมินั้นจะถูกประมาณขึ้น ตามจำนวนของการเปลี่ยนแปลงในแต่ละตำแหน่งของดีเอ็นเอ

เมื่อได้แผนภูมิแล้วจะมีค่าสนับสนุนทางสถิติ (statistic supporting value) คือค่า bootstrap บนแผนภูมิที่เกิดขึ้นออกมากในรูปของร้อยละ ถ้ามีค่าใกล้ 100 จะนับว่า กิ่ง (branch) หรือเคลด (clade) ที่เกิดขึ้นบนแผนภูมนั้นจะเกิดขึ้นได้จริงและเป็นแผนภูมิที่มีความถูกต้อง

4.2 โปรแกรมคอมพิวเตอร์

โปรแกรมคอมพิวเตอร์ที่ใช้ในการศึกษาแผนภูมิต้นไม้ทางไฟโลเจนติก ในปัจจุบันมีอยู่หลายโปรแกรมทั้งที่สามารถดาวโหลดมาใช้งานได้ และโปรแกรมที่ต้องเสียค่าใช้จ่าย โปรแกรมที่เป็นที่นิยมซึ่งได้แก่ PAUP (Phylogenetic Analysis Using Parsimony method) เวียนโดย Swofford โปรแกรม Hennig86 เวียนโดย Farris และโปรแกรม PHYLIP ที่เวียนโดย Felsenstein เป็นชุด packages ที่รวมเอาโปรแกรมย่อๆ เอาไว้ (Theriot, 1989; เจรด្ឋា, 2547) นอกจากนี้ยังมีโปรแกรมอื่นๆ ที่พัฒนาขึ้นมาอย่างต่อเนื่อง ได้แก่ MEGA (Molecular Evolutionary Genetics Analysis) package version 3.1 (Kumar *et al.*, 2004) และ MEGA software version 4.0 (Tamura *et al.*, 2007) เป็นต้น

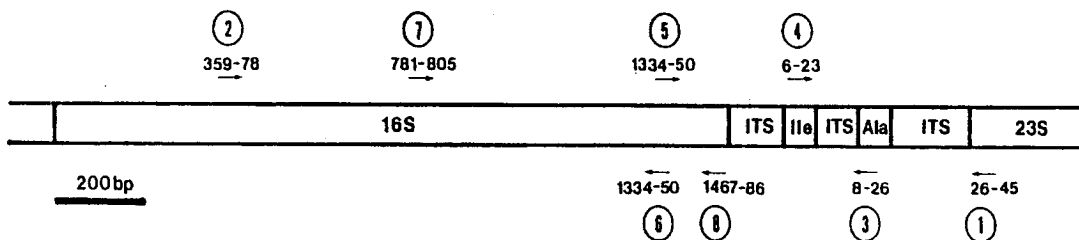
5. อนุกรรมวิชานโดยใช้อณูชีววิทยา (molecular taxonomy)

5.1 16S-23S internal transcribed spacer (16S-23S ITS)

ในโปカリโอต ยีนที่เป็นรหัสของไร โบ โชนของอาร์เอ็นเอ จะอยู่เรียงต่อกันเป็นโอบอ่อนซึ่งมีลำดับการเรียงตัวของยีนที่จำเพาะคือ 16S, 23S และ 5S rRNA เรียกว่า rrn operon โดยปกติแล้วในจีโนมของแบคทีเรียจะมีชุดด้วยกัน เช่นใน *E. coli* และ *Salmonella* มี 7 ชุด ใน *Bacillus subtilis* มี 10 ชุด ดีเอ็นเอที่อยู่ระหว่างยีนเรียกว่า internal transcribed spacer (ITS) 16S-23S ITS เป็นบริเวณที่อาจมียีนที่เป็นรหัสของ tRNA ซึ่งสามารถนำไปศึกษาทางไฟโลเจนติกได้ (Boyer *et al.*, 2001) ก่อนหน้านี้ได้มีการศึกษาเพียง RFLP ของ 16S-23S ITS ในไซยาโนแบคทีเรีย ต่อมากับ Otsuka *et al.* (1999b) ได้ศึกษาลำดับเบสของ ITS โดยตรงเป็นครั้งแรกในไซยาโนแบคทีเรียจินส์ *Microcystis* จำนวน 47 สายพันธุ์ และพบว่าความสัมพันธ์ทางไฟโลเจนติกแบ่งออกเป็น 3 clusters ใน cluster แรก จะประกอบไปด้วยสายพันธุ์ที่สร้างสารพิษ และไม่สร้างสารพิษ ใน cluster ที่สอง มีเพียงสายพันธุ์ที่สร้างสารพิษเท่านั้น และกลุ่มสุดท้ายใน cluster ที่สามเป็นกลุ่มของสายพันธุ์ที่ไม่สร้างสารพิษเท่านั้น และเมื่อพิจารณาจากแผนภูมิความสัมพันธ์ที่ได้จะไม่สัมพันธ์กับลักษณะทาง morphotype จากการวิเคราะห์แผนภูมิไฟโลเจนติกยังแสดงให้เห็นถึงความสัมพันธ์ระหว่างจินส์ และสปีชีส์ที่มีความใกล้ชิดกัน

จากการศึกษาของ Boyer *et al.* (2002) ทำการศึกษาลำดับเบสของยีน 16S rRNA และ 16S-23S ITS โดยใช้ไพรเมอร์ 4 ชนิด (ภาพ 4) ในไซยาโนแบคทีเรีย *Microcoleus* จำนวน 31 สายพันธุ์ จากการเปรียบเทียบลำดับเบสของยีน 16S rRNA มีความคล้ายคลึงกันกับลักษณะทางสัณฐานวิทยา

ของ *Microcoleus* อุยส่องสายพันธุ์ โดยพบว่ามีความเหมือนกับ *Microcoleus steenstrupii* ระหว่าง 91.5-99.4% และมีความเหมือนกับ *M. vaginatus* อุยร率为 97.1-99.9% ซึ่งกลุ่มผู้วิจัยคาดว่าใช้ยาโนเบคที่เรียสายพันธุ์นี้ เมื่อคุณภาพลักษณะทางสัมฐานวิทยาอาจมีลักษณะทางฟีโนไทป์ที่แตกต่างกันแต่มีลักษณะทางฟีโนไทป์คล้ายคลึงกัน (cryptic species) ส่วนการศึกษาลำดับเบสของ 16S-23S ITS พบว่ามีความแตกต่างกันของ *Microcoleus* ทั้งส่องสายพันธุ์ และแนะนำว่าการศึกษา 16S-23S ITS ควรศึกษาควบคู่ไปกับการศึกษาลำดับเบสของยีน 16S rRNA



ภาพ 2 แผนภาพของยีน 16S rRNA แสดงบริเวณ 16S-23S rRNA ITS (Boyer *et al.*, 2002)

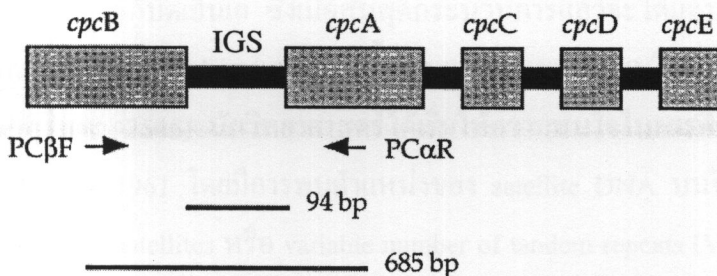
Ferris *et al.* (2003) ได้ทำการศึกษาใช้ยาโนเบคที่เรียสายพันธุ์ *Synechococcus* ในน้ำพุร้อนเพื่อศึกษาความแตกต่างในลำดับเบสของ 16S-23S ITS จากบริเวณที่มีการเจริญเป็นผืน (mat community) พบว่า *Synechococcus* ที่เจริญอยู่บริเวณชั้นบนจะมีความแตกต่างกับพวกที่เจริญอยู่ในชั้นล่าง ซึ่งลักษณะเหล่านี้จะมีความผันแปรและตอบสนองต่อสภาวะแวดล้อมที่ใช้ยาโนเบคที่เรียอาศัยอยู่ และในกรณีต้องศึกษาลักษณะพันธุ์ทางไฟโลเจนิติกเพื่อใช้ในการจัดจำแนก ควรศึกษาควบคู่ไปกับการวิเคราะห์ลำดับเบสของ 16S rDNA

ถึงแม้ว่า rRNA โอบีรอนจะพบได้ทั่วไปในใช้ยาโนเบคที่เรีย (Iteman *et al.*, 2000; Boyer *et al.*, 2001) และ 16S-23S ITS อาจจะพบว่ามีหลายชุดในลำดับเบส แต่สิ่งที่ต้องพิจารณาคือขนาด ความยาว โครงสร้างทุติยภูมิ การมี หรือไม่มี tRNA ยังระหว่างโอบีรอนในแต่ละสายพันธุ์ ลำดับเบสของ ITS นี้จึงไม่สามารถใช้เปรียบเทียบได้ระหว่างสายพันธุ์ที่เป็น orthology จึงมักพบปัญหาเวลาใช้ศึกษา population genetic และ molecular systematic และควรระมัดระวังในการใช้ศึกษา กับใช้ยาโนเบคที่เรียในกลุ่มใหญ่ๆ

5.2 ไฟโคไซยานินโอบีรอน (phycocyanin intergenic sequence, PC-IGS)

ไฟโคไซยานินโอบีรอน (phycocyanin intergenic sequence, PC-IGS) ไฟโคไซยานิน เป็นร่องวัดคุณภาพหนึ่งที่เสริมการทำงานของคลอโรฟิลล์ในการสังเคราะห์แสงในใช้ยาโนเบคที่เรีย

(accessory pigment) โดยไฟโโคไซยานินมีโครงสร้างหลักเป็นโพลีเปปไทด์ส่องสีฟ้าคือ หน่วยย่อยแอลฟ่า และเบตา ซึ่งควบคุมรหัสโดยยีน *cpcA* และ *cpcB* (ภาพ 5) ซึ่งอยู่เรียงกันเป็น โอบีโอบอน ส่วนของดีเอ็นเอระหว่างยีนทั้งสองนี้ ถูกนำมาใช้ในการศึกษาถึงความหลากหลายทางพันธุกรรมของไซยาโนแบคทีเรีย



ภาพ 3 แสดงตำแหน่งของ IGS ของไฟโโคไซยานิน โอบีโอบอนระหว่างสับยูนิตเบتا *cpcB* และ สับยูนิตแอลฟ่า *cpcA* (Neilan *et al.*, 1995)

โดย Neilan *et al.* (1995) ได้ศึกษาความหลากหลายของไซยาโนแบคทีเรีย โดยดูจากความแตกต่างของตำแหน่ง PC-IGS ของไซยาโนแบคทีเรียที่สร้างสารพิษ บริเวณที่ทำการศึกษาจะอยู่ระหว่างสับยูนิตแอลฟ่า และเบตา โดยสองสับยูนิตนี้จะมีความผันแปรสูง และมีความเหมาะสมที่จะใช้ในการจัดจำแนกได้ถึงระดับสายพันธุ์ได้ จากนั้น Robertson *et al.* (2001) ศึกษาความสัมพันธ์ทางไฟโลเจนเดติกของ *Synechococcus* โดยวิเคราะห์จากลำดับเบสของ 16S rDNA และ ไฟโโคไซยานิน โอบีโอบอน (PC-IGS) พบว่า *Synechococcus* สายพันธุ์ที่มีลักษณะทางสัณฐานวิทยาเหมือนกัน แต่มีอุดมคุณทางความสัมพันธ์ทางไฟโลเจนเดติกจะแยกกันอยู่คนละกลุ่ม การวิเคราะห์ลำดับเบสของไฟโโคไซยานิน พบว่าสายพันธุ์ที่มีความใกล้ชิดกันจะจดอยู่ในกลุ่มเดียวกัน

5.3 ลายพิมพ์ดีเอ็นเอ (DNA fingerprint)

หากจะกล่าวถึงลายพิมพ์นี้ว่ามีของคนเราแล้ว เป็นที่ทราบกันดีว่าสามารถบ่งบอกถึงตัวบุคคลนั้นได้เป็นอย่างดี เนื่องมาจากการที่แต่ละตัวบุคคลย่อมที่จะมีลักษณะของลายพิมพ์นี้มือที่เป็นเอกลักษณ์เฉพาะตัว การตรวจลายพิมพ์ดีเอ็นเอนั้น ได้รับการพัฒนาและใช้เป็นครั้งแรกโดย Alec Jeffreys ในปี ก.ศ. 1985 เป็นวิธีการที่ใช้เพื่อบ่งบอกลักษณะเฉพาะของแต่ละบุคคลหรือสิ่งมีชีวิตด้วยดีเอ็นเอ เอกเข่นเดียวกับสิ่งมีชีวิตชนิดอื่นๆ ถึงแม้ว่าจะไม่มีนิวเมอร์ให้เห็นเป็นลายเส้นที่ชัดเจน แต่ด้วยความก้าวหน้าทางด้านวิทยาศาสตร์ในปัจจุบันนี้ เทคนิคทางชีวิทยาโมเลกุลได้เข้ามามี

บทบาทสำคัญในการศึกษาและวิจัย ทำให้ทราบถึงความแตกต่างกันของลำดับเบสในสิ่งมีชีวิตชนิดต่างๆ ซึ่งเป็นเอกลักษณ์เฉพาะของสิ่งมีชีวิตแต่ละชนิด จึงเรียกว่าลายพิมพ์ของดีเอ็นเอนั้นเอง โดยทั่วไปแล้ว ลายพิมพ์ดีเอ็นเอ หมายถึงการตรวจดีเอ็นเอโดยใช้เทคนิค Denaturing Gradient Gel Electrophoresis (DGGE), Restriction Fragment Length Polymorphism (RFLP), Amplified Fragment Length Polymorphism (AFLP) หรือ Random Amplified Polymorphic DNA (RAPD) หรือวิธีการใดๆ ก็ตามที่ใช้กับดีเอ็นเอ ซึ่งมีอัตราสัดครรภวนการแล้วจะได้แคนดีเอ็นเอจำนวนมาก มีลักษณะเหมือนແຄบ bar code และใช้บ่งชี้ความแตกต่างของจีโนมในสิ่งมีชีวิตแต่ละชนิดได้ (ฐานนทร์, 2538; สุรินทร์, 2545) นักวิทยาศาสตร์ได้เริ่มให้ความสนใจในการศึกษาลำดับเบสช้าในสิ่งมีชีวิตมาตั้งแต่ปี ก.ศ. 1961 โดยมีการพบคำແแห่งของ satellite DNA บนจีโนม แบ่งออกเป็น microsatellites และ minisatellites หรือ variable number of tandem repeats (VNTRs) ซึ่งต่อมาในปัจจุบันลำดับเบสกลุ่มนี้ มีความสำคัญในแง่ของการใช้เป็นเครื่องมือในการศึกษาเป็นลายพิมพ์ดีเอ็นเอ (Gelfand *et al.*, 2007)

การตรวจลายพิมพ์ดีเอ็นเอ ส่วนใหญ่มุ่งศึกษาตรงส่วนของ ดีเอ็นเอที่มีลักษณะเป็นชุดที่มีจำนวนช้าสูงมาก และแต่ละชุดช้ามีการเรียงต่อกันในทิศทางเดียวกันตลอด (tandemly repeated DNA sequence) เช่น minisatellite DNA เป็นดีเอ็นเอที่มีหลายชุดช้า ขนาดของแต่ละชุดยาวประมาณ 15 - 100 คู่เบส จำนวนชุดช้าที่พบมีความแตกต่างกันมาก เรียกว่า Variable Number of Tandem Repeat (VNTR) ซึ่งความแตกต่างนี้เองที่นำมาใช้ในการตรวจลายพิมพ์ดีเอ็นเอในสิ่งมีชีวิต microsatellite DNA เป็นดีเอ็นเอที่มีหลายชุดช้า ขนาดของแต่ละชุดสั้นมากเพียง 1-4 คู่เบส จำนวนชุดช้าพบนากถึง 0.2 - 0.5 เปอร์เซ็นต์ของดีเอ็นเอจีโนม มีชื่อเรียกอีกอย่างว่า Simple Sequence Repeat (SSR) ส่วนใหญ่ใช้ในการศึกษาแผนที่จีโนมและการวิเคราะห์ลายพิมพ์ดีเอ็นเอ (ประภัสสร, 2550)

ในจีโนมของสิ่งมีชีวิตที่เป็นยุคปริโตก หรือ โปรカリโตก มักจะพบลำดับเบสช้าๆ กัน หลายรูปแบบ และจะมีชื่อเรียกเฉพาะที่ต่างกัน ในจีโนมของยุคปริโตกมักนิยมเรียกลำดับเบสช้าเหล่านั้นว่า minisatellite และ microsatellite ในส่วนของลำดับเบสช้าในโปรカリโตก มักจะเรียกลำดับเบสช้าเหล่านั้นว่า short sequence repeats ; SSRs (van Belkum *et al.*, 1998; Jansen *et al.*, 2002) short tandem repeats ; STRs (van Belkum *et al.*, 1998) short and long tandemly repeated repetitive (STRR and LTRR) sequence (Mazel *et al.*, 1990; Masepohl *et al.*, 1996; Vioque, 1997; Rasmussen and Svennning, 1998; Guevara *et al.*, 2002; Katayama *et al.*, 2002) นอกจากนี้ ยังมีชื่อเรียกเฉพาะของลำดับเบสช้าลักษณะอื่นๆ ในบริเวณต่างๆ ของยีนอีกด้วย เช่น repetitive extragenic palindrome (REP) หรือ palindromic unit (PU), intergenic repeat unit (IRU) หรือ enterobacterial

repetitive intergenic consensus (ERIC) sequence (Lupski and Weinstock, 1992) ซึ่งส่วนใหญ่ มักจะศึกษาในจีโนมของ eubacteria

โดยในระบบแรกนั้น Versalovic *et al.* (1991) ศึกษาการกระจายของลำดับเบสซ้ำที่เป็น REP และ ERIC sequence เพื่อที่จะนำมาประยุกต์ใช้เป็นลายพิมพ์ คืออีนเออในจีโนมของแบคทีเรีย ตาม Sharples and Lloyd (1990) ทำการศึกษาลำดับเบสซ้ำนี้เพื่อใช้ในการปั่งชีส์ *Escherichai coli*, *Salmonella typhimurium* และแบคทีเรียใน Family *Enterobacteriaceae* พบว่า REP หรือ PU sequence จะอยู่ในบริเวณของยีนที่ควบคุมเกี่ยวกับการ translation ของ polycistronic operons ใน mRNA ส่วน ERIC หรือ IRU sequence มีขนาดประมาณ 126 bp ซึ่งใกล้เคียงกับ REP sequence ซึ่งอยู่บริเวณที่เป็น noncoding transcribed บนโครโนโซม และมีความแตกต่างกันในแต่ละสปีชีส์ ลำดับเบสซ้ำส่วนใหญ่ที่ได้จะมาจากการข้อมูลของลำดับเบสในจีโนมทั้งหมดของเชื้อจุลินทรีย์ ที่ได้ทำการวิเคราะห์ไว้แล้วในฐานข้อมูล ลำดับเบสซ้ำต่อเนื่อง อาจจะมีหลายแบบ และหลาย copy ในแต่ละจีโนม ดังตาราง 1

ตาราง 1 ลักษณะของลำดับเบสซ้ำต่อเนื่องที่พบในจีโนมของ โปรดากิโอต (van Belkum *et al.*, 1998)

Length of repeat unit	Repeat	Annotation
Homogeneous repeat		
1	5'-AAAAA.....AAAAA-3'	5'-(A) ₁₅ -3'
2	5'-ATATATATATATAT-3'	5'-(AT) ₈ -3'
3	5'-GCCGCCGCCGCCGCCGCCGCC-3'	5'-(GCC) ₈ -3'
4	5'-GATCGATCGATCGATCGATC-3'	5'-(GATC) ₆ -3'
5	5'-GCTCCGCTCCGCTCCGCTCCGCTCC-3'	5'-(GCTCC) ₅ -3'
6	5'-AAAATTAAAATTAAAATTAAAATT-3'	5'-(AAAATT) ₄ -3'
Heterogeneous repeat		
5'----AACC AAC AAC GTCTC GTCTC AT AT AT AT AT----3'		
Degenerate repeat		
A	5'- GATCGATCAA GATCGATCAA GATCGATCAA -3'	
B	5'- - A ----- - A ----- G ----- -3'	
C	5'- - G ----- - T ----- -3'	
D	5'- - ----- CTA----- TT -3'	

ในส่วนของลำดับเบสซ้ำต่อเนื่องที่พบในจีโนมของไซยาโนแบคทีเรียนนั้นพบว่าจะมีกระชับกระหายอยู่ทั่วไปทั้งในกลุ่มที่เป็นเส้นสาย และกลุ่มที่สร้างເຫດເຫດໂຣซີສ ลำดับเบสซ้ำเหล่านี้จะพบทั้งที่อยู่ระหว่าง หรือพบร่วมกัน และยังไม่ทราบบทบาทหน้าที่ที่แน่ชัด (Bauer *et al.*, 1993) ต่อมาก็ได้มีการศึกษาและวิจัยใน *Calothrix* sp. PCC7601 (Mazel *et al.*, 1990) มีการพบลำดับเบสซ้ำมากถึง 100 copy ซึ่งในขณะนี้ได้ตั้งชื่อลำดับเบสส่วนนี้ว่า ลำดับเบสซ้ำต่อเนื่องช่วงสั้น (short tandemly repeated repetitive; STRR sequence) ซึ่งลำดับเบสซ้ำกลุ่มนี้มีความจำเพาะในพวกที่มีເຫດເຫດໂຣซີສ

Rouhiainen *et al.* (1995) ได้ทำการศึกษาลำดับเบสซ้ำต่อเนื่องช่วงสั้นที่พบในโครโนโซนของ *Anabaena* sp. PCC 7120 เพื่อที่จะพัฒนาเป็นตัวตรวจวัด (probe) ของไซยาโนแบคทีเรียกลุ่มที่สร้างสารพิษในโครโนโซนที่ทำการเก็บตัวอย่างมาจากแหล่งน้ำตามธรรมชาติ ซึ่งสามารถช่วยจัดจำแนกกลุ่มที่สร้างสารพิษชนิด hepatotoxic และ neurotoxin ออกจากกันได้ จากนั้น Masepohl *et al.* (1996) ได้ทำการศึกษาเกี่ยวกับยีน transposon Tn5-1087b ที่เกี่ยวข้องกับกระบวนการ nitrogen fixation ของ mutant YC16 ใน *Anabaena* sp. PCC 7120 พบร่องรอยของลำดับเบสซ้ำต่อเนื่องช่วงยาว (long tandemly repeated repetitive ; LTRR sequence) มีลักษณะเป็น inverted repeat sequence ซึ่งพบในไซยาโนแบคทีเรียกลุ่มที่เป็นเส้นสาย

ในปัจจุบันนี้ การวิเคราะห์หาลำดับเบสซ้ำต่อเนื่องในไซยาโนแบคทีเรียสามารถศึกษาได้ง่ายและสะดวกมากขึ้น โดยอาศัยข้อมูลจากจีโนมทั้งหมดของไซยาโนแบคทีเรียที่ได้วิเคราะห์ลำดับเบสໄว์ครอนถ้วนแล้วเป็นแหล่งข้อมูลในการศึกษา โดยใช้โปรแกรมสำเร็จรูป TRF (Tandem Repeat Finder) ver. 3.01 (Katayama *et al.*, 2002) ซึ่งพบตำแหน่งของลำดับเบสซ้ำต่อเนื่องตำแหน่งใหม่ที่ยังไม่เคยมีการรายงานมาก่อนในไซยาโนแบคทีเรีย สายพันธุ์ *Anabaena* sp. PCC7120, *Synechocystis* sp. PCC6830, *Thermosynechococcus elongatus* BP-1, *Synechococcus* sp. WH8120 และ *Prochlorococcus marinus* sp. MED4

Mazel *et al.* (1990) ศึกษาลำดับเบสซ้ำต่อเนื่องช่วงสั้น (short tandemly repeated repetitive sequence, STRR) จำนวน 3 ลักษณะที่พบในจีโนมของไซยาโนแบคทีเรียสายพันธุ์ *Calothrix* sp. PCC7601 และใช้เป็นตัวติดตามในการทำ southern hybridization จากไซยาโนแบคทีเรียสายพันธุ์นี้ และยังทดสอบกับเชื้อแบคทีเรีย *Bacillus subtilis* และ *Escherichia coli* ซึ่งพบว่าลำดับเบสซ้ำต่อเนื่องช่วงสั้นทั้งสามแบบนี้จะมีความจำเพาะกับสิ่งมีชีวิตที่มีความแตกต่างกัน และมีความเป็นไปได้ที่จะนำลำดับเบสซ้ำต่อเนื่องนี้มาศึกษาในด้านอนุกรรมวิชานต่อไป Guevara *et al.* (2002) ทำการศึกษาความหลากหลายทางพันธุกรรมของไซยาโนแบคทีเรีย *Nostoc* สายพันธุ์ที่อยู่ร่วมกันต้น *Gunnera* ที่แยกมาได้จากสภาพแวดล้อมที่แตกต่างกัน 3 แหล่ง โดยใช้ข้อมูลจากลำดับเบสซ้ำ

ต่อเนื่องช่วงสั้น (STR) ในจีโนมของไชยาโนแบคทีเรียมศึกษาลายพิมพ์ดีเอ็นเอ โดยใช้เทคนิคพีซีอาร์ พบว่าสามารถใช้จัดกลุ่ม *Nostoc* ในสายพันธุ์ที่มีความสัมพันธ์ใกล้ชิดกันได้

การศึกษาลายพิมพ์ดีเอ็นเอ ของลำดับเบสช้าต่อเนื่องช่วงสั้น ที่พบประเทศไทย คือ การศึกษาของ Chonudomkul *et al.* (2004) ทำการศึกษาลายพิมพ์ดีเอ็นเอโดยใช้เทคนิคพีซีอาร์ กับ ลำดับเบสช้าต่อเนื่องช่วงสั้น (STR) ในจีโนมของไชยาโนแบคทีเรีย *Cylindrospermopsis raciborskii* จำนวน 24 สายพันธุ์ ซึ่งในจำนวนนี้มี 19 สายพันธุ์ที่แยกได้จากประเทศไทย พบว่าจากการจัดกลุ่มของ *C. raciborskii* โดยใช้ข้อมูลจากลายพิมพ์ดีเอ็นเอของลำดับเบสช้าต่อเนื่องช่วงสั้น ไม่สอดคล้องกับการจัดจำแนกโดยใช้ลักษณะทางสัณฐานวิทยา ซึ่งอาจเป็นไปได้ว่าการใช้ลายพิมพ์ดีเอ็นเอลำดับเบสช้าต่อเนื่องช่วงสั้นไม่เหมาะสมกับการแบ่งกลุ่มไชยาโนแบคทีเรียสปีชีส์นี้

Masepohl *et al.* (1996) ได้ทำการศึกษาลำดับเบสช้าต่อเนื่องช่วงยาว (long tandemly repeated repetitive sequence, LTRR) ในไชยาโนแบคทีเรีย *Anabaena* sp. PCC 7120 โดยศึกษาขึ้นที่เกี่ยวกับการตรวจในโตรเจนในระบบทราบสิ่งอนเปรียบเทียบกับสายพันธุ์ที่เป็น wild-type และที่เป็น mutant โดยอาศัยความแตกต่างของลำดับเบสช้าต่อเนื่องเหล่านี้ เพื่อความแตกต่างและตำแหน่งที่เปลี่ยนแปลงไปใน wild-type และ mutant ซึ่งสามารถใช้แยกสองกลุ่มนี้ออกจากกันได้ Rasmussen and Svenning (1998) ใช้ข้อมูลจากลำดับเบสของ STRR และ LTRR บนจีโนมของไชยาโนแบคทีเรียสังเคราะห์ไเมอร์สำหรับการทำลายพิมพ์ดีเอ็นเอ พบว่าลายพิมพ์ดีเอ็นเอที่ได้จาก *Nostoc* สายพันธุ์ที่อยู่ร่วมกับต้น *Gunnera* ชนิดเดียวกันนี้มีความคล้ายคลึงกันมาก ในขณะที่ลายพิมพ์ดีเอ็นเอที่ได้จากไชยาโนแบคทีเรียต่างจินตนาการความแตกต่างกันอย่างชัดเจน และการทำลายพิมพ์ดีเอ็นเอสามารถทำได้โดยตรงจากการใช้เส้นสายหรือเซลล์เดียวโดยไม่ต้องผ่านขั้นตอนการสกัดดีเอ็นเอก่อน

นอกจากนี้ยังมีการใช้วิธีการตรวจหาลำดับเบสช้าที่เรียกว่า Color-coding method ซึ่งอาศัยการจำแนกโดยสังเกตลักษณะสีที่ code ไว้ในแต่ละนิวคลีโอไทด์แล้วตรวจหาสีที่คล้ายคลึงกันที่เรียงไว้ในแต่ละแคว โดยใช้โปรแกรมแสดงผล Java color-coding viewer (Liu *et al.*, 2002) ปัจจุบันนี้ข้อมูลลำดับเบสช้าได้ถูกเก็บรวบรวมไว้ในฐานข้อมูลที่สามารถเข้าไปสืบค้นได้ เช่นในฐานข้อมูลของ TRBD-The Tandem Repeats Database ซึ่งได้รวบรวมข้อมูลลำดับเบสช้าของสิ่งมีชีวิตเอาไว้ เพื่อให้ประโยชน์ในด้าน genomic marker และ DNA fingerprints (Gelfand *et al.*, 2007) และในฐานข้อมูลของ VNTRDB : a bacterial variable number tandem repeat locus database ซึ่งเป็นฐานข้อมูลที่เกี่ยวข้องกับลำดับเบสช้าในจุลินทรีย์ (Chang *et al.*, 2007)

6. การศึกษาด้านความหลากหลายของไขยาโนแบคทีเรียน้ำพุร้อนในประเทศไทย

น้ำพุร้อนเป็นแหล่งน้ำธรรมชาติ ส่วนใหญ่เกิดในบริเวณที่หินเกิดรอยเลื่อนและรอยแตกซึ่งมีขนาดใหญ่และมีการเคลื่อนที่ ทำให้เกิดการแพร่ความร้อนระหว่างรอยเลื่อนและรอยแตกของหินจากการพิจารณาคุณสมบัติทางเคมี พบว่า น้ำพุร้อนมีต้นกำเนิดมาจากน้ำฝนที่คงเหลือสู่ผิวโลก ฝน และน้ำจะเกิดในบริเวณที่น้ำจะต้องไหลออกตามธรรมชาติ ปริมาณน้ำพุร้อนที่ไหลขึ้นมาหรือถูกปล่อยออกตามธรรมชาติจะมากหรือน้อยต่างกันในแต่ละบริเวณ ปกติแล้วปริมาณของน้ำที่ไหลออกจะไม่สูงมาก ไม่ขึ้นกับฤดูกาล (กรมทรัพยากรธรรมชาติ, 2529) บริเวณน้ำพุร้อนจะมีการไหลของน้ำพุร้อนไปยังลำธาร คลอง ทำให้มีระดับความร้อนแตกต่างกัน สิ่งมีชีวิตที่อาศัยอยู่ในน้ำพุร้อน มีการปรับตัว (adaptation) ให้สามารถอยู่ในที่มีอุณหภูมิสูงๆ ได้ สาหร่ายเป็นสิ่งมีชีวิตชนิดหนึ่งที่สามารถเจริญได้ในน้ำพุร้อน โดยสาหร่ายแต่ละชนิดจะเจริญได้ในแต่ละระดับของอุณหภูมิที่ต่างกัน และการที่สิ่งมีชีวิตเหล่านี้สามารถเจริญได้นั้นขึ้นอยู่กับปัจจัยต่างๆ ได้แก่ ปัจจัยทางกายภาพ (physical factor) ปัจจัยทางเคมี (chemical factor) และปัจจัยทางชีวภาพ (biological factor) (สารบุรี, 2523)

ในน้ำพุร้อนมีสิ่งมีชีวิตเพียงไม่กี่กลุ่มที่สามารถเจริญอยู่ได้ หนึ่งในนั้นคือไขยาโนแบคทีเรีย ซึ่งเป็นกลุ่มสิ่งมีชีวิตหลักที่พบมากที่สุดกลุ่มนี้ในระบบนิเวศน้ำพุร้อน และเป็นกลุ่มจุลินทรีย์ที่น่าสนใจในการนำมาใช้ประโยชน์ในเชิงอุตสาหกรรม เพราะจุลินทรีย์ประเภทนี้สังเคราะห์แสงเพื่อให้ได้พลังงานในการเจริญและการแพร่พันธุ์ ดังนั้นการเพาะเลี้ยงไขยาโนแบคทีเรียในระดับอุตสาหกรรมจะลดต้นทุนในการผลิตในส่วนของอาหารเลี้ยงเชื้อ เพราะสาหร่ายประเภทนี้ใช้การบอนไดออกไซด์เป็นแหล่งคาร์บอนในการสังเคราะห์แสง (Round, 1973) ชุมชนฟ้าไขยาโนแบคทีเรียน้ำพุร้อนมีความหลากหลายสูงและจัดเป็นทรัพยากรธรรมชาติที่มีคุณค่ามหาศาล มีการศึกษาการใช้ประโยชน์ของเอนไซม์ สารปฏิชีวนะ กรดอะมิโน รงค์ตุตุ และอื่นๆ จากไขยาโนแบคทีเรียน้ำพุร้อน ในทางเกษตรกรรม การแพทย์ และในระดับอุตสาหกรรมเนื่องจากคุณสมบัติของการคงความสามารถในการทำงานที่อุณหภูมิสูง

บริเวณน้ำพุร้อนจะมีการไหลของน้ำพุร้อนไปยังลำธารตามธรรมชาติ ทำให้น้ำมีระดับความร้อนที่แตกต่างกัน สิ่งมีชีวิตที่อาศัยอยู่ในน้ำพุร้อนจึงมีการปรับตัว (adaptation) ให้สามารถอยู่ในที่ที่มีอุณหภูมิสูงๆ ได้ เมื่อทำการวัดการเจริญของไขยาโนแบคทีเรียน้ำพุร้อนที่อุณหภูมิต่างๆ โดยใช้ปริมาณคลอโรฟิลล์ โปรตีน และ RNA เป็นเครื่องบ่งชี้โดยกำหนดให้สิ่งแวดล้อมอื่นๆ คงที่ พนว่า อุณหภูมิเป็นตัวควบคุมการเจริญของสาหร่ายในน้ำพุร้อน (Brock, 1966) และเป็นปัจจัยสำคัญทางสิ่งแวดล้อมที่มีความสำคัญต่อการดำรงชีวิตของจุลินทรีย์ในน้ำพุร้อน (Brock, 1978) ระดับอุณหภูมิสูงสุดสำหรับการเจริญของสิ่งมีชีวิตชนิดต่างๆ มีค่าไม่เท่ากัน โดยพบว่า สิ่งมีชีวิตประเภท

ขุการิโอดทอนอุณหภูมิสูงได้ต่ำกว่าสิ่งมีชีวิตจำพวกปีกการโอดทอนค่ออุณหภูมิสูงสุดประมาณ 115 องศาเซลเซียส รองลงมาเป็นกอุ่มของไซยาโนแบคทีเรีย หรือสาหร่ายสีเขียวแกมน้ำเงิน และแบคทีเรียสังเคราะห์แสง จะอยู่ในช่วงอุณหภูมิ 70-73 องศาเซลเซียส นอกจากอุณหภูมิแล้วยังมีปัจจัยอื่นๆ ที่เกี่ยวข้องต่อการเจริญของไซยาโนแบคทีเรียในน้ำพุร้อนได้แก่ แสงสว่าง เป็นปัจจัยทางกายภาพที่ควบคุมการผลิต (Odum, 1971) ความเข้มของแสงสว่างจะส่งผลต่อผู้ผลิตขั้นปฐมภูมิ (primary producer) ความเป็นกรด-ด่าง (pH) ยังมีผลต่อการเจริญของจุลินทรี ความเป็นกรด-ด่าง ในน้ำพุร้อนจะถูกจำกัดด้วยค่าความเป็นกรดแก่ หรือด่างแก่ ซึ่งในน้ำพุร้อนที่มีสภาพเป็นกรดแก่จะมีการออกซิไดซ์ไฮโดรเจนชัลไฟล์เป็นกรดกำมะถัน น้ำพุร้อนที่มีสภาพเป็นกรดแก่จะจำกัดการกระจายของสิ่งมีชีวิต สาหร่ายที่สามารถมีชีวิตอยู่ในน้ำพุร้อนที่มีสภาพเป็นกรดแก่ ได้แก่ *Cyanidium caldarium* และน้ำพุร้อนที่มีสภาพเป็นด่างซึ่งมีอุณหภูมิระหว่าง 51-56 องศาเซลเซียส จะพบไซยาโนแบคทีเรีย *Mastigocladus laminosus*, *Phormidium laminosum* และ *Synechococcus* sp. เป็นจำนวนมาก (Fogg, 1973; Lynch and Poole, 1979)

การละลายของออกซิเจนในน้ำ เป็นปัจจัยทางเคมีที่มีผลต่อการเจริญของสิ่งมีชีวิตในน้ำพุร้อน ซึ่งปริมาณการละลายของออกซิเจนในน้ำจะแปรผันตามอุณหภูมิ เมื่ออุณหภูมิสูงขึ้นปริมาณการละลายของออกซิเจนในน้ำจะลดลง (Lynch and Poole, 1979) ซึ่งมีผลต่อชนิดและจำนวนของสิ่งมีชีวิตในน้ำพุร้อน นอกจากนี้ความเข้มข้นของสารอินทรีย์ยังมีผลต่อการกระจายตัวของจุลินทรี ในน้ำพุร้อนส่วนใหญ่จะมีความเข้มข้นของสารอินทรีย์ต่ำ จึงเป็นปัจจัยจำกัดที่กำหนดชนิดของจุลินทรีแต่เมื่อผลต่อไซยาโนแบคทีเรียน้อย เนื่องจากไซยาโนแบคทีเรียหลายชนิดสามารถตรึงไนโตรเจนได้

ปัจจัยทางชีวภาพที่มีผลต่อการเจริญของสิ่งมีชีวิตในน้ำพุร้อน เป็นอีกปัจจัยหนึ่งที่สำคัญซึ่ง Odum (1971) กล่าวว่า ในน้ำพุร้อนขนาดใหญ่จะมีความสมดุลของมวลทางชีวภาพเนื่องจากมีการเปลี่ยนแปลงแทนที่ของสิ่งมีชีวิตอยู่เสมอ จึงทำให้สิ่งมีชีวิตอยู่ในสภาพวงคงตัว นอกจากนี้การถ่ายทอดพลังงานในน้ำพุร้อนก็เช่นเดียวกับระบบนิเวศทั่วไป โดยผู้ผลิตส่วนใหญ่จะเป็นไซยาโนแบคทีเรีย

การสำรวจความหลากหลายของไซยาโนแบคทีเรียในน้ำพุร้อนของประเทศไทย โดยสารบุรี (2523) ทำการศึกษาสาหร่ายและจุลินทรีชนิดอื่นๆ ที่พบในน้ำพุร้อนไปอีกช่อง คำนวณโดยราย อำเภอสันกำแพง จังหวัดเชียงใหม่ พบรากษาร่าวยทั้งหมด 10 สปีชีส์ โดยชนิดเด่นที่พบเป็นไซยาโนแบคทีเรีย กาลุจนา และคณะ (2532) ศึกษาและสำรวจความหลากหลายของไซยาโนแบคทีเรียในน้ำพุร้อนบริเวณภาคเหนือ 3 แหล่ง ในจังหวัดเชียงใหม่ และกำแพงเพชร พบรากษาร่าวยที่เป็นสปีชีส์เด่น คือ *Calothrix* sp., *Oscillatoria terebriformis* และ *Synechococcus* sp.

ต่อมมา ประวิทัย (2533) ได้ศึกษานิเวศวิทยาของสาหร่ายบริเวณน้ำพุร้อนบ้านโป่งช่อง อำเภอสันกำแพง จังหวัดเชียงใหม่ พบสาหร่ายทั้งหมด 98 สปีชีส์ สปีชีส์เด่นได้แก่ *Myxosarcina amethystina*, *Navicula* sp., *Oscillatoria* spp. และ *Synechococcus aeruginosus* ต่อมมา วิรัชนีย์ (2534) ศึกษาสปีชีส์และชีวิทยาของสาหร่ายในน้ำพุร้อน อำเภอเทาซัยสัน จังหวัดพะกง ที่ช่วงอุณหภูมิ 53-59 องศาเซลเซียส พบสาหร่ายทั้งหมด 14 สปีชีส์ ได้แก่ *Myxosarcina amethystina*, *Oscillatoria* spp., *Phormidium* spp. และ *Synechococcus elongatus* ตามจานา และ สุทธิรักษ์ (2535) สำรวจสปีชีส์ของไชยานโนแบคทีเรียนในบ่อน้ำร้อนหินคาด อำเภอทองผาภูมิ จังหวัดกาญจนบุรี และบ่อน้ำร้อนท่าไม้แดง จังหวัดกำแพงเพชร มีอุณหภูมิอยู่ระหว่าง 40-49 องศาเซลเซียส พบไชยานโนแบคทีเรีย *Calothrix* sp., *Mastigocladus* sp., *Oscillatoria* spp. และ *Synechococcus* sp. อุดมลักษณ์ (2544) ได้สำรวจความหลากหลายของสาหร่ายในน้ำพุร้อน 9 แหล่ง ใน 4 จังหวัดบริเวณภาคเหนือตอนบนของประเทศไทย คือ เชียงใหม่ เชียงราย แม่ฮ่องสอน และลำปาง พบสาหร่ายทั้งหมด 78 สปีชีส์ ส่วนใหญ่เป็นไชยานโนแบคทีเรีย พบมากถึง 39 สปีชีส์ ชนิดเด่นที่พบได้แก่ *Phormidium boryanum*, *Synechococcus lividus* และ *Synechococcus* sp. ช่วงอุณหภูมิที่พบไชยานโนแบคทีเรียมากที่สุดคือ 30-39 องศาเซลเซียส และพบน้อยที่สุดที่อุณหภูมิ 70-80 องศาเซลเซียส และ วรารถ (2545) ทำการแยกและหาลักษณะเฉพาะของการทนอุณหภูมิสูงของไชยานโนแบคทีเรียจากน้ำพุร้อน บางแหล่งบริเวณภาคเหนือตอนบนของประเทศไทย โดยทำการเก็บตัวอย่างไชยานโนแบคทีเรียจากช่วงอุณหภูมิ 40-80 องศาเซลเซียส pH 7-10 เพาะเลี้ยงด้วยอาหารสูตร BG-11 ที่อุณหภูมิ 30, 50 และ 70 องศาเซลเซียส และศึกษาอุณหภูมิและความเป็นกรด-ด่าง (pH) ที่เหมาะสมต่อการเจริญพบว่า *Leptolyngbya* sp., *Mastigocladus laminosus*, *Phormidium* sp. และ *Pseudanabaena galeata* เจริญได้ดีที่อุณหภูมิ 30 องศาเซลเซียส ส่วน *Chroococcidiopsis thermalis*, *Synechococcus bigranulatus*, *Synechococcus lividus* สายพันธุ์ SKP50 และ DSK74 เจริญได้ดีที่อุณหภูมิ 50 องศาเซลเซียส และ pH ที่เหมาะสมต่อการเจริญพบว่า *Mastigocladus laminosus* และ *Phormidium* sp. เจริญได้ดีที่ pH 7 *Chroococcidiopsis thermalis*, *Leptolyngbya* sp., *Pseudanabaena galeata* และ *Synechococcus lividus* สายพันธุ์ SKP50 เจริญได้ดีที่ pH 9 ส่วน *Synechococcus bigranulatus* และ *Synechococcus lividus* สายพันธุ์ DSK74 เจริญได้ดีที่ pH 10

Sompong (2006) เก็บตัวอย่างไชยานโนแบคทีเรียจากน้ำพุร้อน 6 แหล่ง ในประเทศไทย ที่อยู่ในช่วงอุณหภูมิ 40-75 องศาเซลเซียส นำตัวอย่างที่เก็บรวบรวมได้ไปเพาะเลี้ยงเพื่อจัดจำแนกโดยใช้ลักษณะทางสัณฐานวิทยา และการวิเคราะห์ทางอณูชีวโมเลกุลโดยใช้ลำดับเบส 16S rDNA เพื่อศึกษาความหลากหลายทางชีวภาพ พบไชยานโนแบคทีเรียทั้งหมด 14 ชนิด จากการศึกษาลักษณะสัณฐานวิทยาโดยกล้องจุลทรรศน์ไชยานโนแบคทีเรียชนิดเด่นที่พบคือ *Synechococcus* cf. *lividus*

Copeland, *Cyanothece* sp., *Phormidium* cf. *boryanum* (Bory ex Gomont) Anagnostidis and Komarek และ *Leptolyngbya* sp. การศึกษาลักษณะทางพันธุกรรมของไซยาโนแบคทีเรียที่สามารถเพาะเลี้ยงได้ในอาหารเลี้ยงเชื้อทึ่งหมนมี 55 ตัวอย่าง และวิเคราะห์โดยใช้วิธี denaturing gradient gel electrophoresis (DGGE) จำนวน 80 ตัวอย่าง ซึ่งเป็นตัวอย่างที่ใช้การจัดจำแนกโดยใช้ลักษณะทางสัณฐานวิทยาตัดสินได้ยาก พบว่าความหลากหลายของไซยาโนแบคทีเรียจะลดลงเมื่ออุณหภูมิสูงขึ้น แต่การวิเคราะห์โดยใช้วิธี DGGE สามารถแสดงความหลากหลายของไซยาโนแบคทีเรียในกลุ่มที่ไม่สามารถแยกความแตกต่างได้โดยใช้ลักษณะทางสัณฐานวิทยา จากผลการศึกษาความหลากหลายทางอุณหภูมิและลักษณะทางสัณฐานวิทยา ที่มีความสัมพันธ์กับอุณหภูมิและลักษณะทางภูมิประเทศ เมื่อวิเคราะห์จากตัวอย่างไซยาโนแบคทีเรียจากน้ำพุร้อนทั้งทางภาคเหนือและภาคใต้ โดยใช้โปรแกรมทางสถิติวิเคราะห์ความสัมพันธ์ของลักษณะทางสัณฐานวิทยา และปัจจัยทางสิ่งแวดล้อมต่างๆ ภายในช่วงอุณหภูมิและคุณภาพ พบว่า *Synechococcus* cf. *lividus*, *Cyanothece* sp. และ *Phormidium* cf. *boryanum* มีความสัมพันธ์เชิงบวกกับน้ำพุร้อนทางภาคเหนือ ในช่วงอุณหภูมิสูงตั้งแต่ 50-75 องศาเซลเซียส เนื่องจากเป็นไซยาโนแบคทีเรียชนิดเด่น ไซยาโนแบคทีเรียบางชนิดมีความสัมพันธ์กับปัจจัยทางกายภาพ และปัจจัยทางเคมีบางประการ เช่น ค่าการนำไฟฟ้า soluble reactive phosphorus ในเกรด แอนโนเนียม ปริมาณซัลไฟด์ที่ละลายน้ำ และซัลเฟต ส่วนรูปแบบการกระจายตัวของไซยาโนแบคทีเรียมีดูจาก 16S rDNA gene DGGE banding พบว่าในน้ำพุร้อนหลายแหล่งมีความหลากหลายของไซยาโนแบคทีเรียแตกต่างกันในระหว่างช่วงอุณหภูมิ แต่ไม่มีความแตกต่างกันในแต่ละคุณภาพ

บทที่ 3 วิธีการทดลอง

1. สายพันธุ์ไชยาโนแบคทีเรีย

การวิจัยในครั้งนี้จะทำการศึกษาลำดับเบสของ 16S-23S ITS และ PC-IGS และลายพิมพ์ตีอินของลำดับเบสช้าต่อเนื่องช่วงสั้นและยาว (STRR and LTRR) ของไชยาโนแบคทีเรียที่แยกได้จากน้ำพื้นของประเทศไทย (ตาราง 2) ที่มีอยู่ใน culture collection ของห้องวิจัยสาหร่ายประยุกต์ ภาควิชาชีววิทยา คณะวิทยาศาสตร์ มหาวิทยาลัยเชียงใหม่ ที่ทำการวินิจฉัยนิคด้วยลักษณะทางสัณฐานวิทยา โดยการจัดจำแนกเป็นหมวดหมู่ในระดับจินส์ หรือ สปีชีส์ และโดย อุดมลักษณ์ (2544) และ Sompong (2006) โดยคัดเลือกไชยาโนแบคทีเรียสายพันธุ์ที่แยกได้บริสุทธิ์ ปราศจากแบคทีเรียอื่นๆ เข้ามา混杂ร่วม และเป็นตัวแทนของจินส์ หรือ สปีชีส์ ที่มีความแตกต่างกันทางด้านสัณฐานวิทยามาเป็นตัวแทนในการศึกษาจากน้ำพื้นของแหล่งของประเทศไทย

ตาราง 2 ไชยาโนแบคทีเรียที่ทำการคัดเลือกมาใช้เป็นตัวแทนในการศึกษา

ไชยาโนแบคทีเรีย	Order	อุณหภูมิในการเพาะเลี้ยง
<i>Chroococcidiopsis</i> sp. PR 45	Chroococcales	40 °C
<i>Phormidium</i> sp. SK 45	Oscillatoriales	40 °C
<i>Leptolyngbya</i> sp. PR 40	Oscillatoriales	40 °C
<i>Oscillatoria</i> sp. KC 45	Oscillatoriales	40 °C
<i>Phormidium</i> sp. PD 40	Oscillatoriales	40 °C
<i>Phormidium</i> sp. PR 40	Oscillatoriales	40 °C
<i>Scytonema</i> sp. TP 40	Nostocales	40 °C
<i>Scytonema</i> sp. TP 40-1	Nostocales	40 °C
<i>Synechococcus</i> sp. PD 55	Chroococcales	50 °C
<i>Synechococcus</i> sp. SK 50	Chroococcales	50 °C
<i>Synechococcus</i> sp. SK 70	Chroococcales	50 °C

ที่มา : Sompong (2006)

1.1 การแยกไขยาโนแบคทีเรียน้ำพุร้อนให้บริสุทธิ์

ทำการแยกเชื้อไขยาโนแบคทีเรียน้ำพุร้อนให้บริสุทธิ์ปราศจากแบคทีเรียอื่นๆ เข้ามาเจริญร่วมด้วยเทคนิคต่างๆ ที่เหมาะสมขึ้นอยู่กับลักษณะของไขยาโนแบคทีเรียที่คัดเลือกมาทำการศึกษา

1.1.1 วิธี streak plate หรือ spread plate (ยุวดี และจามากรณ์, 2546) บนอาหารแข็ง สังเกตการเจริญและเลือกโคลoniที่อยู่เดี่ยวๆ ไปปลูกช้อนอาหารใหม่ จนกว่าจะได้ไขยาโนแบคทีเรียที่เป็นชนิดเดี่ยวๆ (axenic culture)

1.1.2 การแยกจากเส้นสายเดี่ยวๆ ใช้เข็มเขียดลากไขยาโนแบคทีเรียที่เป็นเส้นสายบนอาหารแข็ง จากนั้นนำไปเพาะเลี้ยงในสภาวะที่เหมาะสม จนไขยาโนแบคทีเรียเจริญแผ่เส้นสายออกไป สังเกตการเจริญภายในกลุ่มเส้นสาย นำมาเพาะเลี้ยงในอาหารเหลวต่อไป (Castenholz, 1981)

1.1.3 ทำการทดสอบการปนเปื้อนของเชื้อแบคทีเรีย ที่เจริญอยู่ร่วมกับตัวอย่างไขยาโนแบคทีเรีย โดยนำอาหารที่เพาะเลี้ยงมา streak หรือ spread บนอาหารแข็ง LB plate บ่มที่อุณหภูมิ 40 หรือ 50 องศาเซลเซียส แล้วแต่สภาวะในการเพาะเลี้ยงสาหร่ายสายพันธุ์ที่นำมาทดสอบจากนั้นสังเกตการเจริญของโคลoniแบคทีเรีย ถ้าพบว่ามีการเจริญของแบคทีเรียเข้ามาร่วมด้วย ต้องกลับไปทำการแยกและเพาะเลี้ยงใหม่อีกครั้ง

1.2 การเพาะเลี้ยงไขยาโนแบคทีเรีย

ทำการเพาะเลี้ยงไขยาโนแบคทีเรียในอาหารสูตร D medium (Castenholz, 1981) ปริมาตร 125 มิลลิลิตร ที่บรรจุใน flask ขนาด 250 มิลลิลิตร โดยใช้อุณหภูมิที่เหมาะสมของแต่ละสายพันธุ์ซึ่งอยู่ที่ 40 และ 50 องศาเซลเซียส (ตาราง 1) ให้แสงสว่างจากหลอดฟลูออเรสเซนต์ ตลอดเวลา ที่ความเข้มแสงประมาณ 250 ลักซ์ (lux) ทำการเพาะเลี้ยงเป็นเวลา 30 วัน

2. การสกัดจีโนมิกดีเอ็นเอ (genomic DNA)

การสกัดดีเอ็นเอของไขยาโนแบคทีเรียแต่ละสายพันธุ์ ดัดแปลงจากวิธีการของ Doyle and Doyle (1990) ดังนี้

2.1 ปั่นเก็บเซลล์ที่ 6,000 rpm อุณหภูมิ 4 องศาเซลเซียส 10 นาที

2.2 ล้างเซลล์ด้วย TE buffer 500 ไมโครลิตร ปั่นเก็บเซลล์ที่ 6,000 rpm อุณหภูมิ 4 องศาเซลเซียส 5 นาที

2.3 ละลายตะกอนเซลล์ใน TE buffer

2.4 เติม CTAB extraction buffer ในปริมาตร 1.5 เท่า ของตัวอย่าง ผสมให้เข้ากัน โดยใช้ vortex mixer บ่มที่ 65 องศาเซลเซียส 1-2 ชั่วโมง กลับหลอดไปมาทุก 30 นาที

2.5 ปั่นเหวี่ยงที่ 13,000 rpm อุณหภูมิ 4 องศาเซลเซียส 10 นาที ดูด supernatant ใส่หลอด microcentrifuge tube หลอดใหม่

2.6 สกัดด้วย phenol : chloroform : isoamyl alcohol (25:24:1) ที่แช่เย็น ปริมาตร 1 เท่าของตัวอย่าง กลับหลอดไปมาเบาๆ ปั่นเหวี่ยงที่ 13,000 rpm อุณหภูมิ 4 องศาเซลเซียส 10 นาที ดูด supernatant ใส่หลอด microcentrifuge tube หลอดใหม่

2.7 สกัดด้วย chloroform : isoamyl alcohol (24:1) ที่แช่เย็น ปริมาตร 1.5 เท่า ของตัวอย่าง กลับหลอดไปมาเบาๆ ปั่นเหวี่ยงที่ 13,000 rpm อุณหภูมิ 4 องศาเซลเซียส 10 นาที ดูด supernatant ใส่หลอด microcentrifuge tube หลอดใหม่

2.8 เติม sodium acetate ปริมาตร 0.1 เท่าของตัวอย่าง ผสมให้เข้ากัน เติม absolute ethanol ที่แช่เย็น ปริมาตร 1.5 เท่าของตัวอย่าง เก็บที่ -20 องศาเซลเซียส เป็นเวลา 16-24 ชั่วโมง

2.9 ปั่นเก็บตะกอนดีอีนเอ ที่ 13,000 rpm อุณหภูมิ 4 องศาเซลเซียส 10 นาที ล้างตะกอนดีอีนเอด้วย 70% ethanol ที่แช่เย็น ทิ้งไว้ให้แห้งที่อุณหภูมิห้องเป็นเวลา 1-3 ชั่วโมง

2.10 ละลายตะกอนดีอีนเอด้วย sterile deionize water หรือ TE buffer ปริมาตร 30-50 ไมโครลิตร ถ้ามีความจำเป็นต้องใช้สม์ประสานอีนไวน์ที่ 4 องศาเซลเซียส สำหรับเก็บตัวอย่าง ดีอีนเอระยะยาวเก็บที่ -20 องศาเซลเซียส

2.11 ตรวจสอบคุณภาพดีอีนเอที่สกัดได้ด้วยวิธี agarose gel electrophoresis ใช้ agarose เช่นขั้น 0.8% ตามวิธีการของSambrook and Russel (2001)

3. การเพิ่มจำนวนดีอีนเอ

3.1 องค์ประกอบที่ใช้ในการพีซีอาร์ ในปริมาตรสุดท้าย 50 ไมโครลิตร ได้แก่ PCR buffer (1X), dNTPs (200 μ M), primer (1 μ M), Taq polymerase (1units), template DNA (1-3 ng)

3.2 กระบวนการที่ใช้ในการทำพีซีอาร์ คือ Initial denaturation 94 องศาเซลเซียส 4 นาที Denature 94 องศาเซลเซียส 1 นาที Annealing 1 นาที Extension 72 องศาเซลเซียส 1 นาที 30 รอบ และ Final extension 72 องศาเซลเซียส 10 นาที โดยที่อุณหภูมิในขั้น annealing จะมีความแตกต่างกันขึ้นอยู่กับไฟรเมอร์ที่ใช้ในแต่ละปฏิกริยา

3.3 ทำการเพิ่มจำนวนดีอีนเอของ 16S-23S rRNA Internal Transcribed Spacer โดยเทคนิคโพลีเมอเรส เชน รีแอคชั่นโดยใช้ไฟรเมอร์ 16S-1247f และ 23S-1608r (ตาราง 3) (Rocap et al., 2002)

3.4 ทำการเพิ่มจำนวนดีเอ็นเอของ Phycocyanin Intergenic Spacer (PC-IGS) โดยเทคนิคโพลีเมอร์เซน รีแอคชันโดยใช้ไฟรเมอร์ PCBF และ PCAR (ตาราง 3) (Neilan *et al.*, 1995)

3.6 ทำการเพิ่มจำนวนดีเอ็นเอของลำดับเบสช้าต่อเนื่องช่วงสั้นและยาว (STRR and LTRR) โดยเทคนิคโพลีเมอร์เซน รีแอคชันโดยใช้ไฟรเมอร์ STRR 1A, STRR 1B และ LTRR 1, LTRR 2 (ตาราง 3) (Rasmussen and Svenning, 1998)

3.7 ตรวจผลิตภัณฑ์จากพีซีอาร์ด้วยวิธี agarose gel electrophoresis ใช้ agarose เจลขั้น 1% ตามวิธีการของ Sambrook and Russel (2001)

ตาราง 3 ไฟรเมอร์ที่ใช้ในการทดลอง

Primer	ลำดับนิวคลีโอไทด์ 5' → 3'	การใช้งาน	แหล่งอ้างอิง
F1114	GCAACGAGCGCAACCC (59.24)	sequencing	Neilan <i>et al.</i> , 1997
16S-1247f	CGTACTACAATGCTACGG (42.90)	PCR และ sequencing	Rocap <i>et al.</i> , 2002
23S-1608r	CYACCTGTGTCGGTT (35.40)	PCR	Rocap <i>et al.</i> , 2002
23S-xxr	CTCTGTGTGCCTAGGTATCC (59.85)	sequencing	Boyer <i>et al.</i> , 2002
PCBF	GGCTGCTTGTACGCGACA (48.70)	PCR และ sequencing	Neilan <i>et al.</i> , 1995
PCAR	CCAGTACCACCAGCAACTAA(46.65)	PCR และ sequencing	Neilan <i>et al.</i> , 1995
STRR 1A	CCARTCCCCARTCCCC (37.31)	PCR	Rasmussen and Svenning (1998)
STRR 1B	GGGGAYTGGGGAYTGG (37.31)	PCR	Rasmussen and Svenning (1998)
LTRR 1	GGATTGGTTAGTTAAAAC (25.00)	PCR	Rasmussen and Svenning (1998)
LTRR 2	CTATCAGGGATTGAAAG (41.18)	PCR	Rasmussen and Svenning (1998)

4. การโคลนผลิตภัณฑ์จากพีซีอาร์ก่อนวิเคราะห์หาลำดับเบส

4.1 ในกรณีที่จำเป็นต้องโคลนชิ้นดีเอ็นเอที่เพิ่มจำนวนขึ้นมาได้ จะทำการเชื่อมต่อเข้ากับ pGEM-T Easy Vector ของบริษัท Promega ก่อนการหาลำดับเบส (ภาคผนวก ค)

4.2 ถ่ายโอนยีน โดยวิธี Transformation โดยใช้ *E.coli* JM109 เป็น competent cell (ภาคผนวก ค)

4.3 คัดเลือกหาโคโนนที่มีชิ้นส่วนของดีเอ็นเอที่แทรกอยู่ คัดเลือก colony สีขาวจากอาหาร LB plate ที่มี ampicillin/IPTG/X-Gal ตรวจหาชิ้นส่วนของดีเอ็นเอที่โคลนได้ โดยใช้วิธี colony PCR (ภาคผนวก ค)

4.4 ทำการสกัดพลาสมิดดีเอ็นเอที่โคลนได้โดยใช้ Plasmid Miniprep Kit ของบริษัท Fermentas (ภาคผนวก ค)

4.5 การวิเคราะห์หาชิ้นส่วน insert ในพลาสมิด โดยใช้ออนไซน์ตัดจำเพาะ EcoRI (ภาคผนวก ค)

5. การทำผลิตภัณฑ์พีซีอาร์ที่ได้ให้บริสุทธิ์

ก่อนส่งตัวอย่างไปวิเคราะห์หาลำดับเบส นำผลิตภัณฑ์พีซีอาร์ที่ได้ มาทำให้บริสุทธิ์โดยใช้ DNA and Gel Band Purification Kit ของบริษัท GE Healthcare (ภาคผนวก ค)

6. การวิเคราะห์หาลำดับเบสของดีเอ็นเอ

ส่งตัวอย่างวิเคราะห์หาลำดับเบสที่ ภาควิชาชีวเคมี คณะแพทยศาสตร์ มหาวิทยาลัยขอนแก่น และ บริษัท Macrogen ประเทศไทย ลำดับเบสแสดงไว้ (ภาคผนวก ง) โดยใช้ไพรเมอร์ในตาราง 3 ซึ่งสังเคราะห์โดยบริษัท Bio Basic Inc.

7. การวิเคราะห์ความสัมพันธ์เชิงวิژนากาражองไซยาโนแบคทีเรีย

นำลำดับเบสที่ได้ทำการ BLAST search ในฐานข้อมูลของ NCBI GenBank เพื่อเปรียบเทียบลำดับเบสที่ได้กับลำดับเบสของไซยาโนแบคทีเรียที่มีอยู่ในฐานข้อมูล เพื่อถูกความเหมือนกับไซยาโนแบคทีเรีย จีนัส หรือสปีชีส์ ที่จะเป็นไปได้มากที่สุด

การทำ multiple alignment โดยโปรแกรมสำเร็จรูป BioEdit version 7.0.0 (Hall, 1999) เพื่อเปรียบเทียบลำดับเบสที่ได้ กับลำดับเบสของไซยาโนแบคทีเรียที่ทำการ down load มาจากฐานข้อมูลของ NCBI ให้ตรงกันในแต่ละตำแหน่งของลำดับนิวคลีโอไทด์

การสร้างแผนภูมิต้นไม้แสดงความสัมพันธ์ทางไฟโลเจนेटิก (Phylogenetic tree) โดยโปรแกรม Molecular Evolutionary Genetics Analysis (MEGA) software version 4.0 (Tamura *et al.*, 2007) โดยสร้างแผนภูมิความสัมพันธ์ทางไฟโลเจนेटิกด้วยวิธี Neighbor-Joining (NJ),

Unweighted Pair-Group Method with Arithmetic Mean (UPGMA) , Maximum Parsimony (MP) เพื่อคุณความหมายสมของแผนภูมิที่ได้จากแต่ละวิธี

8. การวิเคราะห์ลายพิมพ์ดีเอ็นเอของลำดับเบสซ้ำต่อเนื่อง

นำข้อมูลการวิเคราะห์แบบดีเอ็นเอโดยใช้โปรแกรม Gel Analysis Software บริษัท SYNGENE มาศึกษาเป็น dendrogram หากความสัมพันธ์ระหว่างกลุ่ม โดยโปรแกรมทางสถิติ SPSS Ver.6 โดยใช้ Cluster analysis แสดงการปราฏ (1) และไม่ปราฏแบบดีเอ็นเอ (0) ในแต่ละตำแหน่งจากลายพิมพ์ดีเอ็นเอ และประเมินความหมายสมของการใช้เทคนิคการทำลายพิมพ์ดีเอ็นเอของลำดับเบสซ้ำต่อเนื่องช่วงสั้นและยาว ที่ใช้ในการบ่งชี้ความแตกต่างในระดับจีโนสต์ หรือ สปีชีส์ของไซยาโนแบคทีเรียน้ำพุร้อน

บทที่ 4
ผลการศึกษา

1. ไชยาโนแบคทีเรียที่ใช้ในการศึกษา

ลักษณะทางสัณฐานวิทยาของไชยาโนแบคทีเรียที่ใช้ศึกษา จำนวน 11 สายพันธุ์ (ภาค 6) มีรายละเอียดตามตารางที่ 4

ตาราง 4 ลักษณะทางสัณฐานวิทยาของไชยาโนแบคทีเรียที่ใช้ในการศึกษาแยกตาม Order

ไชยาโนแบคทีเรีย	Order	ลักษณะทางสัณฐานวิทยา
<i>Chroococcidiopsis</i> sp. PR45	Chroococcales	เซลล์มีรูปร่างกลม อยู่ร่วมกันเป็นโคลoniสีเขียว มี sheath หุ้มที่บาง แต่สามารถมองเห็นได้ชัดเจน มีขนาด $1.5\text{--}2.0 \mu\text{m}$ เซลล์มีการแบ่งตัวที่ไม่แน่นอน มีการฟอร์มเป็น baeocyte หรือ endospore ซึ่งมีตัวต่อ 4 8 16 จนถึง 32 baeocyte
<i>Synechococcus</i> sp. PD55	Chroococcales	เซลล์มีรูปร่างเป็นแท่ง ทรงหรือโค้งเล็กน้อย ปลายเซลล์มน อยู่เป็นเซลล์เดี่ยวๆ หรืออยู่ร่วมกันเป็นกลุ่ม เซลล์มีความกว้างประมาณ $1.4\text{--}1.5 \mu\text{m}$ ยาว $3\text{--}8 \mu\text{m}$ ปลายเซลล์ทั้งสองด้านจะมีเม็ด granule เห็นเป็นจุดเด็กๆ สีเข้ม เซลล์มีการแบ่งตัวแบบ binary fission บางครั้งเซลล์ที่แบ่งแล้วจะอยู่ติดกัน เห็นเป็นเซลล์ที่มีลักษณะการ結合ไว้บริเวณกลาง หรือปลายเซลล์
<i>Synechococcus</i> sp. SK50	Chroococcales	เซลล์มีรูปร่างเป็นแท่งสั้นๆ ทรงหรือโค้งเล็กน้อย อยู่เป็นเซลล์เดี่ยวๆ หรืออยู่ร่วมกันเป็นกลุ่ม เซลล์มีขนาดกว้างประมาณ $1.2\text{--}1.5 \mu\text{m}$ ยาว $4\text{--}17 \mu\text{m}$ ปลายเซลล์มนเซลล์มีการแบ่งตัวแบบ binary fission บางครั้งเซลล์ที่แบ่งแล้วจะอยู่ติดกัน เห็นเป็นเซลล์ที่มีลักษณะการ結合ไว้บริเวณกลาง

ตาราง 4 (ต่อ)

ไชยanoแบคทีเรีย	Order	ลักษณะทางสัณฐานวิทยา
<i>Synechococcus</i> sp. SK70	Chroococcales	เซลล์มีรูปร่างเป็นแท่งสันๆ ตรงหรือโค้งเล็กน้อย อยู่เป็นเซลล์เดี่ยวๆ หรืออยู่รวมกันเป็นกลุ่ม เซลล์มีขนาดกว้างประมาณ 1.1-1.2 μm ยาว 4-10 μm ปลายเซลล์มน้ำนมเซลล์มีการแบ่งตัวแบบ binary fission บางครั้งเซลล์ที่แบ่งแล้วจะอยู่ติดกัน เห็นเป็นเซลล์ที่มีลักษณะการคอดเวลา บริเวณกลาง
<i>Scytonema</i> sp. TP40	Nostocales	เซลล์มีลักษณะเป็นเส้นสายสีเขียว มีเยื่อเทอโรซิสต์ และ/หรือ อะคินีต มีการแตกแขนงไม่แท้จริง แขนงที่แตกออกจะเป็นแขนงคู่ (false branch in pair) ระหว่างเยื่อโรซิสต์ เซลล์มีรูปร่างทรงกระบอก มีขนาด 2.2x2.5 μm ชิทที่หุ้มอาจไม่มีสี หรือสีน้ำตาลอมเหลือง เส้นสายมีความยาวประมาณ 16-24 μm
<i>Scytonema</i> sp. TP40	Nostocales	เซลล์มีลักษณะเป็นเส้นสายสีเขียว มีเยื่อเทอโรซิสต์ และ/หรือ อะคินีต มีการแตกแขนงไม่แท้จริง แขนงที่แตกออกจะเป็นแขนงคู่ ระหว่างเยื่อโรซิสต์เซลล์มีรูปร่างทรงกระบอก มีขนาด 2.2x2.5 μm ชิทที่หุ้มอาจไม่มีสี หรือสีน้ำตาลอมเหลืองมีความยาวประมาณ 16-24 μm
<i>Leptolyngbya</i> sp. PR40	Oscillatoriales	เซลล์มีลักษณะเป็นเส้นสาย ตรงหรือโค้งงอ อยู่รวมกันเป็นจำนวนมาก ผนังเซลล์ไม่คอดเวลา เซลล์มีความกว้างประมาณ 3.5 μm ยาว 2-4 μm ปลายเซลล์มน้ำนม มี sheath หุ้มใส ไม่มีสี ยื่นออกมานំหนึ้งชัดเจน

ตาราง 4 (ต่อ)

ไซยาโนแบคทีเรีย	Order	ลักษณะทางสัณฐานวิทยา
<i>Oscillatoria</i> sp. KC45	Oscillatoriales	เซลล์มีลักษณะเป็นเส้นสาย ตรรย์โภนเป็นทรงกระบอก เหี้ยดตรงหรือเป็นเกลียวเล็กน้อย ไม่มีซีพัหุ้น เซลล์มีรูป่างคล้ายเหมือนกัน เส้นสาย มีการแบ่งเซลล์อย่างรวดเร็ว เซลล์มีสี น้ำตาล เซลล์มีความกว้างประมาณ 3-4 μm ยาว 4-5 μm
<i>Phormidium</i> sp. SK45	Oscillatoriales	เซลล์มีลักษณะเป็นเส้นสาย ตรงหรือโค้งเล็กน้อย สีน้ำตาล อยู่รวมกันเป็นกลุ่ม เซลล์มีความกว้างประมาณ 1.5 μm ยาว 1.6-1.7 μm ปลายเซลล์แหลม มีลักษณะตรง หรือโค้งงอ พนังเซลล์มีการคอดเว้าเล็กน้อย
<i>Phormidium</i> sp. PD40	Oscillatoriales	เซลล์มีลักษณะเป็นเส้นสาย ตรงหรือโค้งเล็กน้อย เซลล์มีสีน้ำตาล อยู่รวมกันเป็นกลุ่ม เซลล์มีความกว้างประมาณ 2 μm ยาว 2 μm ปลายเซลล์แหลม มีลักษณะตรง หรือโค้งงอ พนังเซลล์มีการคอดเว้าเล็กน้อย
<i>Phormidium</i> sp. PR40	Oscillatoriales	เซลล์มีลักษณะเป็นเส้นสาย ตรงหรือโค้งเล็กน้อย เซลล์มีสีน้ำตาล อยู่รวมกันเป็นกลุ่ม เซลล์มีความกว้างประมาณ 1.2-1.3 μm ยาว 2 μm ปลายเซลล์แหลม มีลักษณะตรง หรือโค้งงอ พนังเซลล์มีการคอดเว้าเล็กน้อย

* อักษรย่อแทนสถานที่เก็บตัวอย่างไซยาโนแบคทีเรียในน้ำพุร้อน

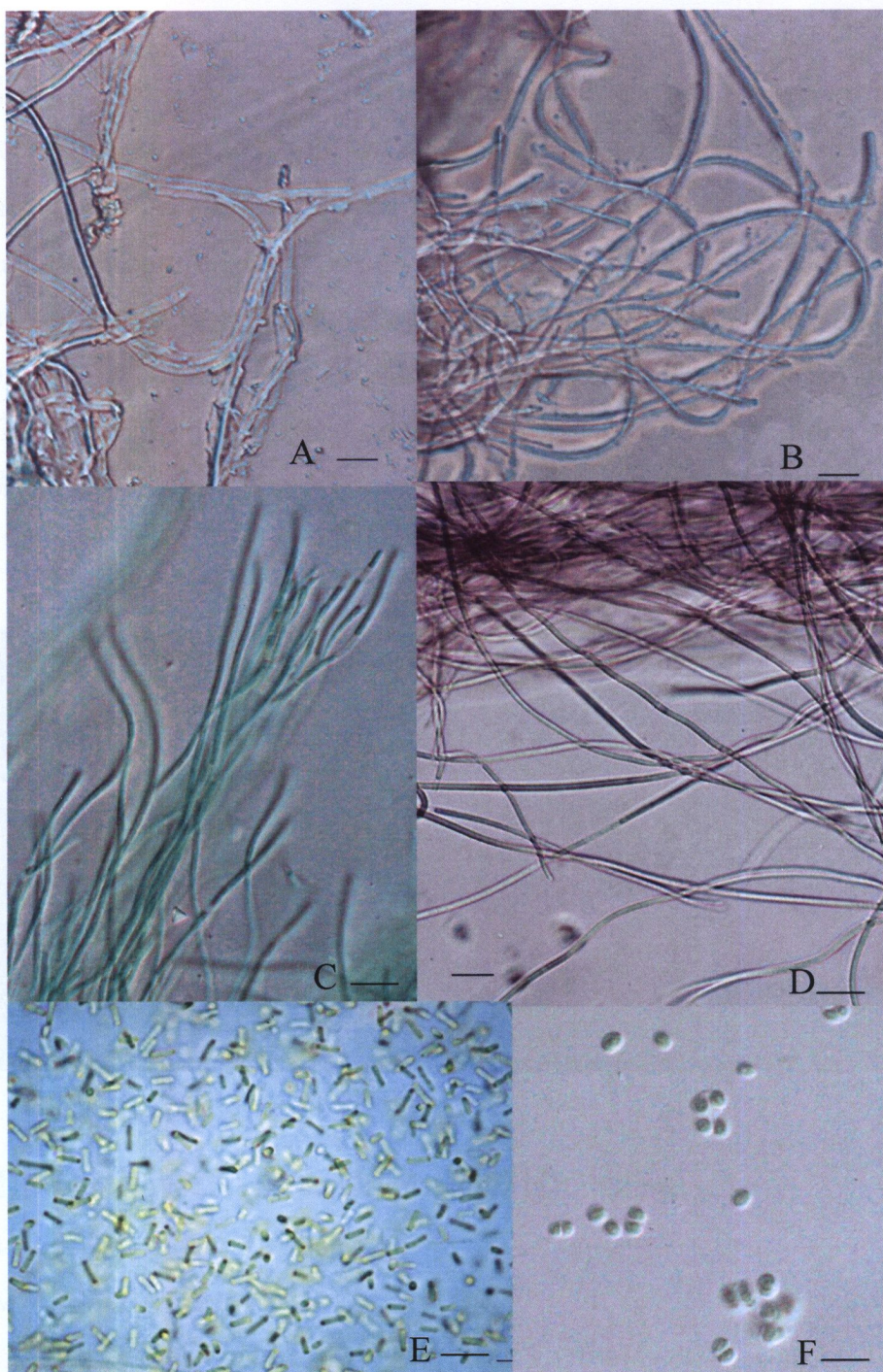
SK : San Kamphaeng, Chiang Mai

PD : Pong Dued, Chiang Mai

TP : Theppanom, Chiang Mai

PR : Pra Rueang, Kamphaeng

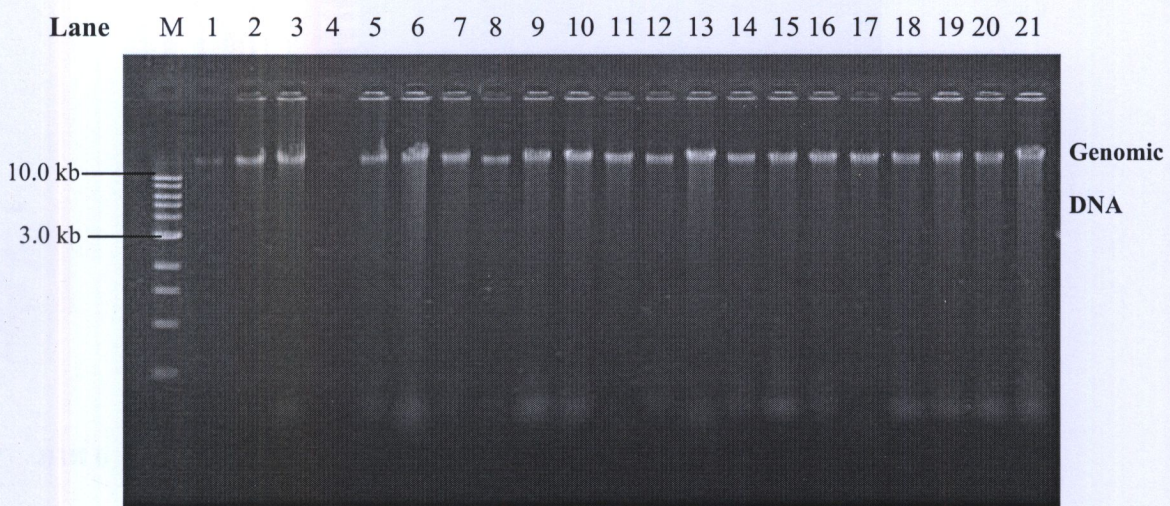
KC : Khaochaison, Phatthalung

(scale bar : 10 μm)

ภาพ 4 ลักษณะทางสัณฐานวิทยาของ ไซยาโนแบคทีเรียน้ำพุร้อนจีนสหที่ใช้ในการศึกษา
 (A) *Scytonema* sp., (B) *Phormidium* sp. (brown filament), (C) *Phormidium* sp. (green filament), (D) *Oscillatoria* sp., (E) *Synechococcus* sp. และ (F) *Chroococcidiopsis* sp.

2. การสกัดดีเอ็นเอจากไซยาโนแบคทีเรียน้ำพุร้อน

ไซยาโนแบคทีเรียน้ำพุร้อนนั้น เป็นหุ่มเซลล์จะคงตัวเมื่อความร้อนสูงและเยื่อหุ่มเซลล์จะมีลิปิดที่ละลายในกรดไขมันจำนวนมาก บางชนิดภาวะเป็นกลุ่มมีเมือกหนาหุ่มเพื่อการทนต่ออุณหภูมิที่สูง ในขั้นตอนการหาสภาวะและวิธีการที่เหมาะสมในการสกัดดีเอ็นเอ พบว่าการใช้ extraction buffer ที่มีส่วนผสมของ CTAB 4% และ PVPP 1% ร่วมในการบ่มที่อุณหภูมิ 65 องศาเซลเซียส มีคุณสมบัติในการกำจัดสารในกลุ่มโพลีแซคคาไรด์ออกจากตัวอย่าง ได้ดี โดยไม่จำเป็นต้องใช้ออนไซزم์ lysozyme หรือ proteinase K ซึ่งมีค่าใช้จ่ายสูง และทำให้คุณภาพดีเอ็นเออยู่ในระดับที่สามารถใช้เป็นต้นแบบ (template) ในการเพิ่มปริมาณชิ้นส่วนของดีเอ็นเอ โดยเทคนิคพีซีอาร์ได้ ดังภาพ 5



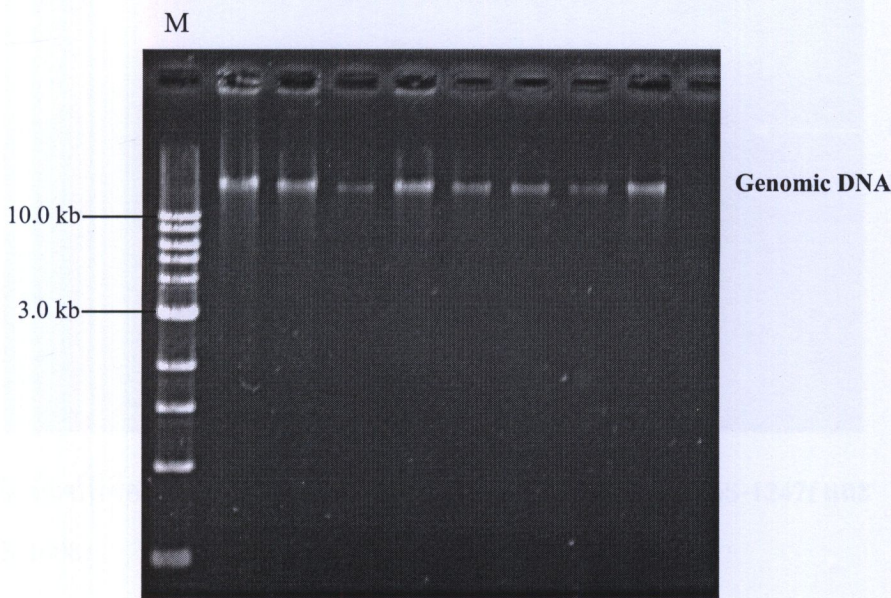
ภาพ 5 จีโนมิกดีเอ็นเอของไซยาโนแบคทีเรียน้ำพุร้อนที่ใช้ในการศึกษา

1 %agarose gel ใน 1x TAE buffer

M = 1 kb DNA Ladder

Lane 1,2: *Choococcidiopsis* sp. PR45; **Lane 3,4:** *Phormidium* sp. SK45; **Lane 5,6:** *Leptolyngbya* sp. PR40; **Lane 7,8:** *Oscillatoria* sp. KC45; **Lane 9,10:** *Phormidium* sp. PD40; **Lane 11,12:** *Phormidium* sp. PR40; **Lane 13,14:** *Scytonema* sp. TP40; **Lane 15,16:** *Scytonema* sp. TP40-1; **Lane 17,18:** *Synechococcus* sp. PD55; **Lane 19,20:** *Synechococcus* sp. SK50 และ **Lane 21:** *Synechococcus* sp. SK70

ในส่วนของไซยาโนแบคทีเรียน้ำพร้อมที่มีลักษณะเป็นเซลล์เดียวๆ เซลล์มีขนาดเล็ก เช่น ในจีนัส *Synechococcus* sp. ในขั้นตอนการสกัดดีเอ็นเอ ในบางครั้งจำเป็นต้องใช้ glass bead ร่วมด้วยเพื่อให้เยื่อหุ้มเซลล์แตก ก่อนใช้ extract buffer ที่มีส่วนผสมของ CTAB 4 % และ PVPP 1% ร่วมกับการบ่มที่อุณหภูมิ 65 องศาเซลเซียส มีคุณสมบัติช่วยในการกำจัดสารในกลุ่มโพลีแซคคาไรด์ออกจากตัวอย่างได้ดี จะทำให้ได้ปริมาณดีเอ็นเอเพิ่มมากขึ้น ดังภาพ 6



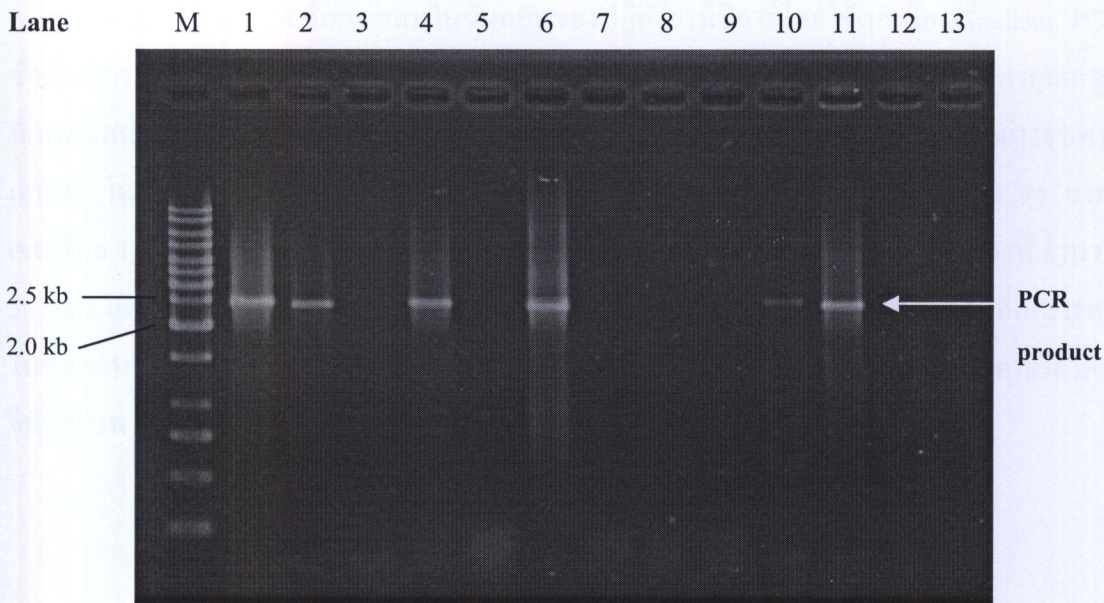
ภาพ 6 จีโนมิกดีเอ็นเอที่สกัดได้จาก *Synechococcus* sp. SK50 โดยใช้ glass bead ร่วมกับ extraction buffer

1% agarose gel ใน 1x TAE buffer M = 1 kb DNA ladder

3. สภาวะที่เหมาะสมในการเพิ่มจำนวนดีเอ็นเอบริเวณ 16S-23S ITS

ทำการเพิ่มจำนวนดีเอ็นเอ บริเวณ 16S-23S ITS โดยใช้ไพรเมอร์ 16S-1247f และ 23S-1608r ซึ่งเป็นไพรเมอร์ที่มีจำพวกต่อไซยาโนแบคทีเรีย (Rocap *et al.*, 2002) โดยใช้เทคนิคพีซีอาร์ซี มีองค์ประกอบคือ PCR buffer (1X), dNTPs (200 μM), Primer (1 μM), *Taq* polymerase (1 unit), Template DNA (1-3ng) โดยตัวเลขในวงเล็บที่ใช้จะเป็นความเข้มข้นสุดท้ายของสารในปฏิกิริยา และทำการทดลองหาอุณหภูมิที่เหมาะสมของปฏิกิริยาพีซีอาร์ในขั้น annealing โดยใช้อุณหภูมิระหว่าง 45-60 องศาเซลเซียส จากการทดลองพบว่าสภาวะที่เหมาะสมคือ initial denaturation 94 องศาเซลเซียส 4 นาที denature 94 องศาเซลเซียส 1 นาที annealing 50 องศาเซลเซียส 1 นาที extention 72 องศาเซลเซียส 1 นาที จำนวน 30 รอบ และ final extension 72 องศา

ເໜລເຊີຍສ 10 ນາທີ ພລິຕກັນທີ່ໄດ້ມີຂະດປະມາມ 2500 bp ກັບໄຊຍາໂນແບກທີ່ເຮີຍຈຳນວນ 5 ສາຍພັນຖື໌ (ກາພ 7)



ກາພ 7 ພລິຕກັນທີ່ພຶ້ງອົບອໍອົບຢືນ 16S-23S ITS ທີ່ໄດ້ຈາກການໃໝ່ໄພຣເມອ່ຣ 16S-1247f ແລະ 23S-1608r

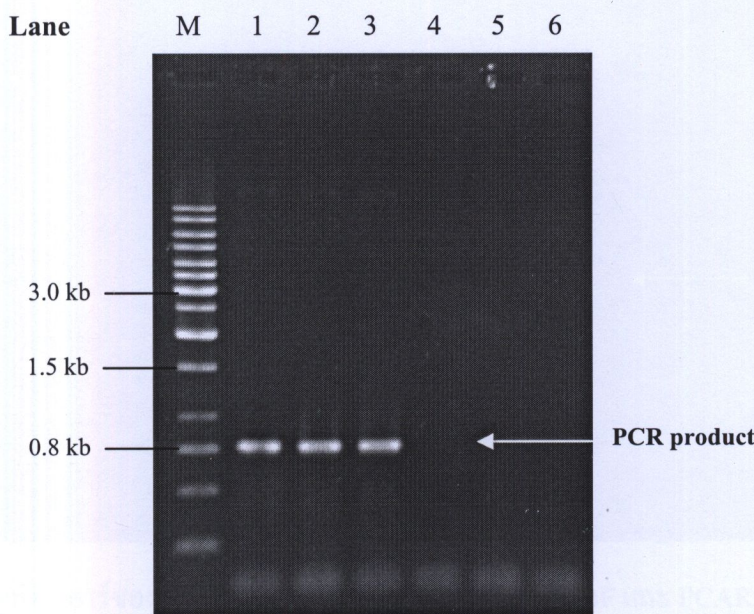
1% agarose gel ໃນ 1X TAE buffer M = 1 kb DNA Ladder

Lane 1: *Scytonema* sp. TP40; **Lane 2:** *Leptolyngbya* sp. PR40; **Lane 3:** *Chroococcidiopsis* sp. PR45; **Lane 4:** *Scytonema* sp. TP40-1; **Lane 5:** *Oscillatoria* sp. KC45; **Lane 6:** *Phormidium* sp. PR40; **Lane 7:** *Phormidium* sp. PD40; **Lane 8:** *Synechococcus* sp. PD55; **Lane 9:** *Synechococcus* sp. SK50; **Lane 10:** *Synechococcus* sp. SK70; **Lane 11:** *Phormidium* sp. SK45; **Lane 12:** *Escherichia coli*; **Lane 13:** Negative control

ເນື່ອງຈາກບຣິເວລ ຢືນ 16S rRNA ແລະ 23S rRNA ທີ່ມີຄວາມແປປັນສູງ ຈຶ່ງມີຄວາມຈຳເປັນຕົ້ນໃໝ່ໄພຣເມອ່ຣທີ່ອູ່ໃນບຣິເວລຂອງຢືນທີ່ມີກາຮອນນຸ່ຽກຍ້ໄວ ຄື່ງແມ່ວ່າໄພຣເມອ່ຣທີ່ໃໝ່ຈະກຣອບຄຸນ ITS ຕຳແໜ່ງທີ່ອູ່ຮ່ວ່າງຢືນ 16S rRNA ແລະ 23S rRNA ປື້ນເປັນຫ່ວງທີ່ກ່ຽວຂ້ອງມີຄວາມຍາວລົງ 2500 bp ແຕ່ມີບາງຈິນສີ່ໄໝ່ສາມາດເພີ່ມປຣິມານດີເອີ້ນເອົ້າທີ່ຕ້ອງການສຶກຍາໄດ້ ຈຶ່ງໄດ້ທຄລອງໃໝ່ໄພຣເມອ່ຣກູ່ອື່ນ ທີ່ສາມາດເພີ່ມປຣິມານດີເອີ້ນເອົ້າທີ່ໄຊຍາໂນແບກທີ່ເຮີຍຈິນສີ່ຍັງໄໝ່ສາມາດເພີ່ມປຣິມານດີເອີ້ນເອົ້າໄດ້ ໂດຍເລືອກໄພຣເມອ່ຣ F1114 (Neilan et al., 1997) ປື້ນເປັນໄພຣເມອ່ຣທີ່ໃໝ່ sequencing ຂອງຢືນ 16S rRNA

และไพรเมอร์ 23S-xxr (Boyer *et al.*, 2002) เป็นไพรเมอร์ที่อยู่ในตำแหน่งเบสที่ 26-45 ในยีน 23S rRNA ซึ่งผลิตภัณฑ์พีซีอาร์ที่ได้มีขนาดประมาณ 800-900 bp จะทำให้สะดวกและง่ายต่อการหาลำดับเบส

ทดลองหาสภาวะที่เหมาะสมในขั้นตอนของปฏิกริยาพีซีอาร์โดยใช้เทคนิค Gradient PCR ซึ่งเป็นเทคนิคพีซีอาร์โดยดัดแปลงมาจากวิธีการของ Sambrook and Russel (2001) เพื่อหาอุณหภูมิที่เหมาะสมในปฏิกริยาขั้น annealing ที่จะทำให้ไพรเมอร์จับกับสายดีเอ็นเอต้นแบบได้อย่างจำเพาะเจาะจง โดยใช้สภาวะดังนี้ initial denaturation 94 องศาเซลเซียส 4 นาที denature 94 องศาเซลเซียส 1 นาที annealing 60-70 องศาเซลเซียส 1 นาที extension 72 องศาเซลเซียส 1 นาที จำนวน 30 รอบ และ final extension 72 องศาเซลเซียส 10 นาที จากการทดลองพบว่าอุณหภูมิที่เหมาะสมในขั้นตอน annealing คือ 70 องศาเซลเซียส สามารถเพิ่มจำนวนดีเอ็นเอของไซโนแบคทีเรียได้ 3 เท่า (ภาพ 8)



ภาพ 8 ผลิตภัณฑ์พีซีอาร์ของยีน 16S-23S ITS ที่ได้จากการใช้ไพรเมอร์ 1114F และ 23S-xxr

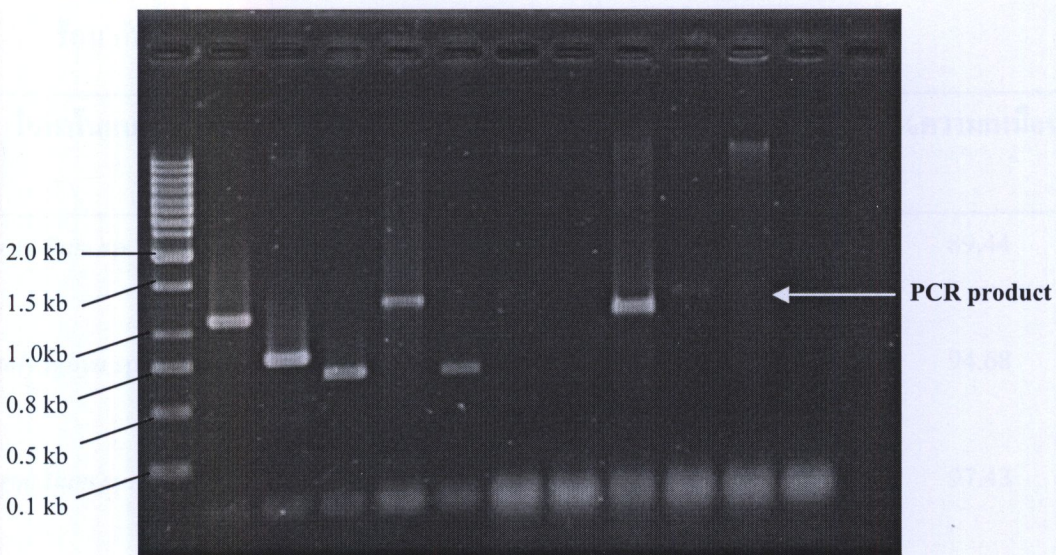
1% agarose gel ใน 1X TAE buffer M = 1 kb DNA Ladder

Lane 1: *Oscillatoria* sp. KC45; **Lane 2:** *Chroococcidiopsis* sp. PR45; **Lane 3:** *Phormidium* sp. PD40; **Lane 4:** *Synechococcus* sp. SK50; **Lane 5:** *Synechococcus* sp. PD55; **Lane 6:** *Synechococcus* sp. SK70

4. ສភາວະທີ່ເໝາະສົມໃນການເພີ່ມຈຳນວນຂອງ PC-IGS ໃນໄຟໂຄໄຊຍານິໂອເປົອຮອນ

ທຳການເພີ່ມຈຳນວນດີເລື່ອນເອບຣິວເລມ PC-IGS ໂດຍໃຊ້ໄພຣມອ້ຣ PCB-F ແລະ PCAR ຜຶ່ງເປັນໄພຣມອ້ຣທີ່ມີຄວາມຈຳພະເຈາະຈະຈຳຕ່ອໄຫຍາໂນແບນກທີ່ເຮີຍ (Neilan *et al.*, 1995) ໂດຍເທັນນິກີີພີ້ອົາ໌ ຜຶ່ງມີສ່ວນປະກອບຄື່ອ PCR buffer (1X), dNTPs (200 μ M), Primer (1 μ M), *Taq* polymerase (1 unit), Template DNA (1-3 ng) ໂດຍຕັ້ງເລີກໃນວົງເລັບທີ່ໃຊ້ເປັນຄວາມເຂັ້ມຂັ້ນສຸດທ້າຍຂອງສາຮັກໃນປົງກິໂຮງແລະ ທົດລອງຫາສភາວະທີ່ເໝາະສົມໂດຍໃຊ້ເທັນນິກີີ Gradient PCR ດັດແປລ່ງມາຈາກວິທີກາຮົງຂອງ Sambrook and Russel (2001) ເພື່ອຫາອຸນຫກຸນທີ່ເໝາະສົມໃນປົງກິໂຮງຂັ້ນ annealing ສភາວະທີ່ໃຊ້ຄື່ອຄື່ອ initial denaturation 94 ອົງຄາເໜີລເໜີສ 4 ນາທີ denature 94 ອົງຄາເໜີລເໜີສ 1 ນາທີ annealing 50-60 ອົງຄາເໜີລເໜີສ 1 ນາທີ extension 72 ອົງຄາເໜີລເໜີສ 1 ນາທີ ຈຳນວນ 30 ຮອນ ແລະ final extension 72 ອົງຄາເໜີລເໜີສ 10 ນາທີ ຈາກການທົດລອງພບວ່າອຸນຫກຸນທີ່ເໝາະສົມໃນປົງກິໂຮງຂັ້ນ annealing ຄື່ອ 50 ອົງຄາເໜີລເໜີສ ພລິດກັນທີ່ພີ້ອົາ໌ທີ່ໄດ້ມີນາດແຕກຕ່າງກັນອູ່ຮະຫວ່າງ 750-1400 bp (ກາພ 9)

Lane M 1 2 3 4 5 6 7 8 9 10 11 12



ກາພ 9 ພລິດກັນທີ່ພີ້ອົາ໌ຂອງ PC-IGS ທີ່ໄດ້ຈາກການໃຊ້ໄພຣມອ້ຣ PCB-F ແລະ PCAR

1% agarose gel ໃນ 1X TAE buffer M = 1 kb DNA Ladder

Lane 1: *Phormidium* sp. PD40 ຊາດ 1100 bp; **Lane 2:** *Phormidium* sp. PR40 ຊາດ 800 bp; **Lane 3:** *Synechococcus* sp. SK50 ຊາດ 750 bp ; **Lane 4:** *Oscillatoria* sp. KC45 ຊາດ 1400bp ; **Lane 5:** *Synechococcus* sp. SK70 ຊາດ 750bp; **Lane 6:** *Leptolyngbya* sp.PR40; **Lane 7:** *Scytonema* sp. TP40; **Lane 8:** *Chroococcidiopsis* sp. PR45 ຊາດ 1400 bp; **Lane 9:** *Scytonema* sp.TP40-1; **Lane 10:** *Synechococcus* sp. PD55; **Lane 11:** *Phormidium* sp. SK45; **Lane 12:** Negative control

5. ผลการวิเคราะห์หาลำดับเบส

5.1 ผลการวิเคราะห์ลำดับเบสของ 16S-23S internal transcribed spacer

ลำดับเบสของ 16S-23S ITS มีขนาดประมาณ 2500 บีบีพี ผลการวิเคราะห์หาลำดับเบส ที่ได้มาจากการ sequence โดยใช้โปรแกรม 16S-1247f และ 23s-xxr ซึ่งจะได้ลำดับเบสที่สั้นกว่า มีขนาดประมาณ 900 bp จากนั้นนำมาจัดเรียง โดยใช้โปรแกรม BioEdit version 7.0 เมื่อได้เป็นสายคิเอ็นเอที่ต่อเนื่องกันแล้ว (ภาคผนวก ง) นำเอาลำดับเบสที่ได้ไปเปรียบเทียบกับลำดับเบสที่มีอยู่ในฐานข้อมูลไซยาโนแบคทีเรียกลุ่มนี้ๆ ที่มีรายงานและถูกเก็บไว้ใน National center for Biotechnology Information (NCBI) (ตาราง 5, ภาคผนวก จ) แล้วนำข้อมูลที่ได้มามาทำ multiple alignment และใช้โปรแกรม MEGA version 4.0 เพื่อสร้างแผนภูมิแสดงความสัมพันธ์ทางไฟโลเจนิติกในแต่ละกลุ่ม

ตาราง 5 ค่าความเหมือนจากการเปรียบเทียบลำดับเบสของ 16S-23S ITS ของไซยาโนแบคทีเรียน้ำพุร้อน กับ ข้อมูลใน NCBI (ข้อมูลเมื่อวันที่ 25 เมษายน 2551)

ไซยาโนแบคทีเรีย	ความยาว (bp)	ความเหมือนสูงสุด	%ความเหมือน
<i>Phormidium</i> sp. PR40	787	<i>Leptolyngbya</i> sp. LLi18 (DQ786166.1)	89.44
<i>Leptolyngbya</i> sp. PR40	870	<i>Leptolyngbya</i> sp. LLi18 (DQ786166.1)	94.68
<i>Phormidium</i> sp. PD40	794	<i>Leptolyngbya appalachiana</i> (EF429286.1)	97.43
<i>Scytonema</i> sp. TP40	840	<i>Leptolyngbya</i> sp. LLi18 (DQ786166.1)	97.55
<i>Scytonema</i> sp. TP40-1	839	<i>Leptolyngbya appalachiana</i> (EF429286)	97.43
<i>Chroococcidiopsis</i> sp. PR45	1280	Uncultured Antarctic cyanobacterium (EU032390.1)	88.41
<i>Phormidium</i> sp. PD40	1126	<i>Leptolyngbya appalachiana</i> (EF429286.1)	100

ไซยาโนแบคทีเรียสายพันธุ์ *Oscillatoria* sp. KC45 ซึ่งใช้ไฟรเมอร์ในการเพิ่มจำนวนดีเอ็นเอโดยปฏิกริยาพีซีอาร์และในการหาลำดับเบสคือ 1114F และ 23S-xxr พบว่าลำดับเบสที่ได้มีขนาดสั้นมากเมื่อนำไปเปรียบเทียบกับลำดับเบสของยีน 16S rRNA พบว่าลำดับเบสที่ได้มานั้นยังอยู่ในส่วนของยีน 16S rRNA ซึ่งไม่ใช่ลำดับเบสในช่วงของ 16S-23S ITS

ไซยาโนแบคทีเรียนิลิน *Synechococcus* ซึ่งประกอบไปด้วย *Synechococcus* sp. SK50, *Synechococcus* sp. SK70 และ *Synechococcus* sp. PD55 ไม่สามารถเพิ่มจำนวนดีเอ็นเอด้วยปฏิกริยาพีซีอาร์ได้โดยการไฟรเมอร์ 16S-1247f กับ 23S-1608r และไฟรเมอร์ 1114F กับ 23S-xxr เมื่อนำลำดับเบสของไฟรเมอร์ที่อยู่ในช่วงของยีน 16S rRNA คือ 16S-1247f กับ 1114F พบว่าไม่มีตำแหน่งที่เป็นคู่สูนที่จะทำให้ไฟรเมอร์จับกับดีเอ็นเอที่ใช้เป็นต้นแบบในส่วนของยีน 16S rRNA

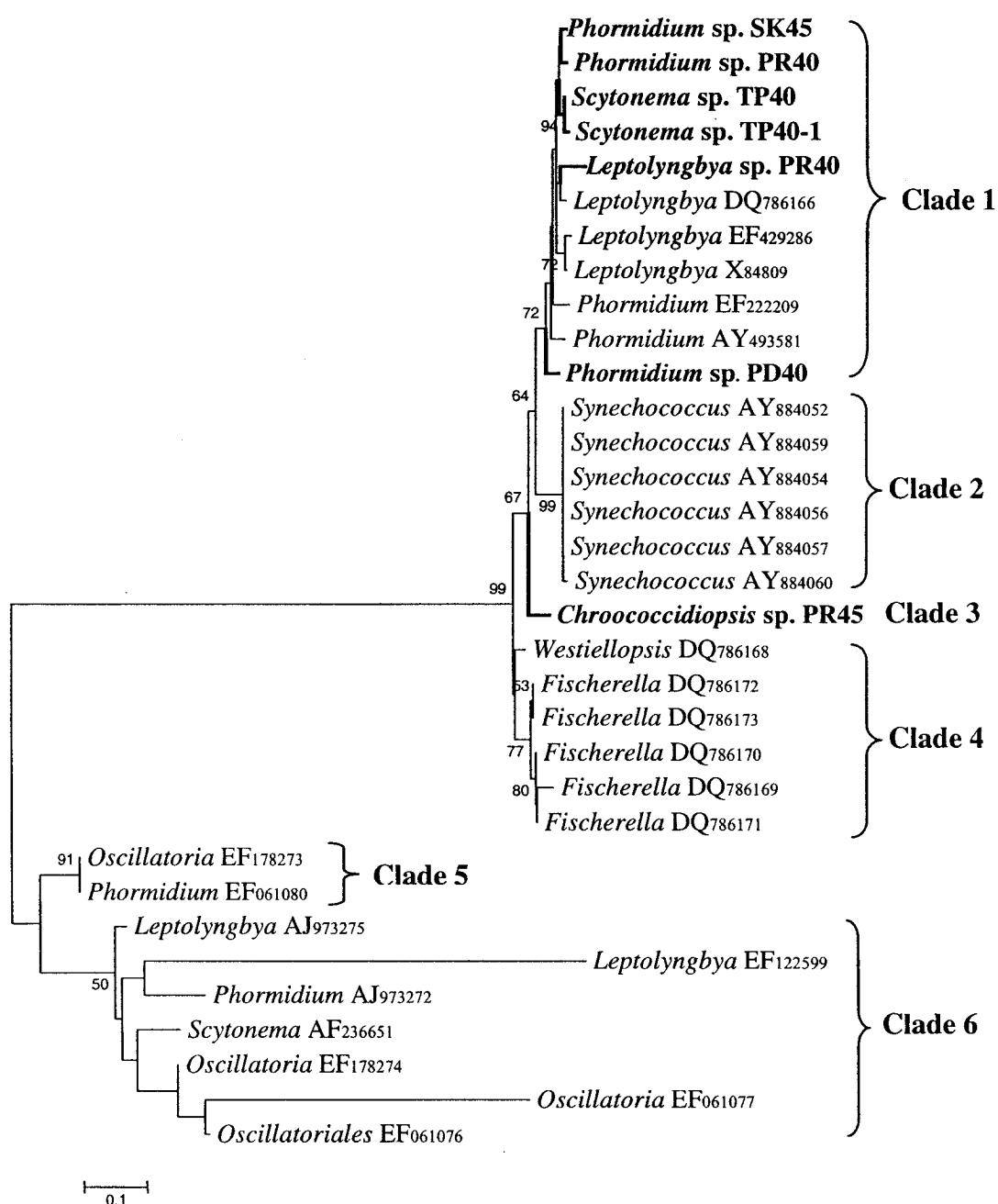
ผลจากการเปรียบเทียบลำดับเบสของดีเอ็นเอบริเวณ 16S-23S ITS กับฐานข้อมูลใน NCBI (ตาราง 5, ภาคผนวก จ) ลำดับเบสส่วนใหญ่มีความเหมือนกับข้อมูลที่มีอยู่ในฐานข้อมูลค่อนข้างต่ำ คือ 88-94 % (ภาคผนวก จ) และพบว่าลำดับเบสนี้มีความเหมือนกับจีนัส *Leptolyngbya* สูงสุดที่ 100%

แผนภูมิความสัมพันธ์ทางไฟโลเจนติกจากลำดับเบสของ 16S-23S ITS ของไซยาโนแบคทีเรียน้ำพุร้อนแสดงใน ภาพ 10 โดยใช้ข้อมูลจากลำดับเบส 16S-23S ITS ของไซยาโนแบคทีเรียน้ำพุร้อนจากฐานข้อมูลใน GenBank (ตาราง 6) จากข้อมูลของลำดับเบสในไซยาโนแบคทีเรียกลุ่มนี้จะเป็นกลุ่มที่เป็นเส้นสายและอยู่ใน Order Oscillariales ได้แก่ *Phormidium* sp. SK45, *Phormidium* sp. PR40, *Phormidium* sp. PD40 และ *Leptolyngbya* sp. PR40 ใน Order Nostocales ซึ่งเป็นกลุ่มที่เป็นเส้นสายและสร้างเซลล์หอโรซิสต์ ได้แก่ *Scytonema* sp. TP40 และ *Scytonema* sp. TP40-1 จากแผนภูมิความสัมพันธ์ทางไฟโลเจนติกของลำดับเบสบริเวณ 16S-23S ITS พบว่าแบ่งออกได้เป็น 6 cladeใหญ่ๆ โดยกลุ่มที่เป็นเส้นสาย และกลุ่มที่เป็นเซลล์เดียวๆ แยกออกจากกันใน clade 1 และ clade 2 โดยใน Order Chroococcales คือ *Chroococcidiopsis* sp. PR45 ได้แยกอยู่และมีความใกล้ชิดกันกับกลุ่มที่เป็นเซลล์เดียว แต่ไม่สามารถแยกกลุ่มเส้นสายที่สร้างและไม่สร้างเซลล์หอโรซิสต์ออกจากกันได้อีกชัดเจน

การจัดกลุ่มความสัมพันธ์ในแผนภูมิ มีความสอดคล้องกับการจัดจำแนกโดยใช้ลักษณะทางสัณฐานวิทยาในระดับของจีนัส ถึงแม้ว่าลำดับเบสในช่วงนี้จะมีความพันแปรสูง แต่ความสัมพันธ์ของไซยาโนแบคทีเรียน้ำพุร้อนก็มีความใกล้ชิดกันเองภายในกลุ่มมากกว่าไซยาโนแบคทีเรียจากแหล่งอื่นๆ ที่มีความแตกต่างจากไซยาโนแบคทีเรียน้ำพุร้อนสายพันธุ์อื่น และจากการทดลองใช้วิธีการสร้างแผนภูมิความสัมพันธ์ทางไฟโลเจนติกด้วยวิธี Neighbour Joining (NJ), Maximum Parsimony และ UPGMA ตำแหน่งของไซยาโนแบคทีเรียน้ำพุร้อนในแต่ละแผนภูมิไม่มีความ

แตกต่างกันมากนัก
Neighbor-Joining

จึงได้นำเสนอเพียงแผนภูมิความสัมพันธ์ทางไฟโลเจนติกที่ได้จากการวิธี



ภาพ 10 แผนภูมิความสัมพันธ์ทางไฟโลเจนติกของไซยาโนแบคทีเรียจากลำดับเบสของ 16S-23S ITS ที่ได้จากการวิเคราะห์โดยวิธี Neighbor-Joining (Bootstrap percentages less than 50% not report)

**ตาราง 6 ข้อมูลของไซยาโนแบคทีเรียที่ใช้ในการสร้างแพนกูมิความสัมพันธ์ทางไฟโลเจนติก
ของ 16S-23S ITS จากฐานข้อมูลใน NCBI**

Cyanobacteria	Accession number	Reference
<i>Fischerella</i> sp. MV9*	DQ786169	Finsinger <i>et al.</i> (2008)
<i>Fischerella</i> sp. MV11*	DQ786170	Finsinger <i>et al.</i> (2008)
<i>Fischerella</i> sp. MV11*	DQ786171	Finsinger <i>et al.</i> (2008)
<i>Fischerella</i> sp. RV14*	DQ786172	Finsinger <i>et al.</i> (2008)
<i>Fischerella</i> sp. RV14*	DQ786173	Finsinger <i>et al.</i> (2008)
<i>Leptolyngbya appalachiana</i>	EF429286	Unpublished
<i>Leptolyngbya nodulosa</i> UTEX 2910	EF122599	Li and Brand (2007)
<i>Leptolyngbya</i> sp. LLi18*	DQ786166	Unpublished
<i>Leptolyngbya valderiana</i> BDU 140441	AJ973275	Premanandh <i>et al.</i> (2006)
<i>Leptolyngbya</i> sp.	X84809	Nelissen <i>et al.</i> (1996)
<i>Oscillatoria</i> sp. PCC 6407	EF178273	Cadel <i>et al.</i> (2007)
<i>Oscillatoria</i> sp. PCC 7112	EF178274	Cadel <i>et al.</i> (2007)
<i>Oscillatoriales cyanobacterium</i>	EF061076	Cadel <i>et al.</i> (2007)
<i>Oscillatoriales cyanobacterium</i>	EF061077	Cadel <i>et al.</i> (2007)
<i>Phormidium favosum</i> PCC 10111	EF061080	Cadel <i>et al.</i> (2007)
<i>Phormidium autumnale</i>	EF222209	Unpublished
<i>Phormidium willei</i> BDU 130511	AJ973272	Premanandh <i>et al.</i> (2006)
<i>Scytonema hyalinum</i>	AF236651	Boyer <i>et al.</i> (2001)
<i>Synechococcus</i> sp. JA-3-3Ab*	AY884052	Allewalt <i>et al.</i> (2006)
<i>Synechococcus</i> sp. TS-15*	AY884054	Allewalt <i>et al.</i> (2006)
<i>Synechococcus</i> sp. JA-2-3B'a(2-13)	AY884057	Allewalt <i>et al.</i> (2006)
<i>Synechococcus</i> sp. TS-97*	AY884056	Allewalt <i>et al.</i> (2006)
<i>Synechococcus</i> sp. TS-104*	AY884059	Allewalt <i>et al.</i> (2006)
<i>Synechococcus</i> sp. TS-91*	AY884060	Allewalt <i>et al.</i> (2006)
<i>Westiellopsis</i> sp. Ar73*	DQ786168	Finsinger <i>et al.</i> (2008)

* thermotolerant cyanobacteria

5.2 ผลการวิเคราะห์ลำดับเบสของไฟโโคไซยานินโอลีปอรอน intergenic spacer (PC-IGS)

ลำดับเบสของไฟโโคไซยานินโอลีปอรอน intergenic spacer (PC-IGS) มีขนาดที่แตกต่างกันจากนั้นนำมาจัดเรียง โดยใช้โปรแกรม BioEdit version 7.0 เมื่อได้เป็นสายดีเอ็นเอที่ต่อเนื่องกันแล้วนำเข้าลำดับสที่ได้ไปเปรียบเทียบกับลำดับเบสที่อยู่ในฐานข้อมูลของไซยาโนแบคทีเรียกลุ่มอื่นๆ ที่มีรายงานและถูกเก็บไว้ใน National center for Biotechnology Information (NCBI) และวิจัยนำข้อมูลที่ได้มาทำ multiple alignment และใช้โปรแกรม MEGA version 4.0 เพื่อสร้างแผนภูมิแสดงความสัมพันธ์ทางไฟโลเจนติกในแต่ละกลุ่ม

ไซยาโนแบคทีเรียสายพันธุ์ *Scytonema* sp. TP40, *Scytonema* sp. TP40-1, *Leptolyngbya* sp. PR40, *Chroococcidiopsis* sp. PR45, *Synechococcus* sp. PD55 และ *Phormidium* sp. SK45 ไม่สามารถเพิ่มจำนวนดีเอ็นเอ ได้จากการใช้ไฟรมอร์ PCBF และ PCAR

ผลจากการเปรียบเทียบลำดับเบสจากดีเอ็นเอบริเวณ PC-IGS ของไฟโโคไซยานินโอลีปอรอน กับฐานข้อมูลของลำดับเบสใน NCBI (ตาราง 7, ภาคผนวก จ) ลำดับเบสส่วนใหญ่เหมือนกับฐานข้อมูลค่อนข้างต่ำ ในจีนัส *Synechococcus* มีความเหมือนสูงสุดอยู่ระหว่าง 94-95 % (ภาคผนวก จ) ส่วนไซยาโนแบคทีเรียที่เป็นเส้นสายใน Order Oscillatoriales ได้แก่ไซยาโนแบคทีเรียนจีนัส *Phormidium* และ *Oscillatoria* พบว่าไม่มีความเหมือนกับลำดับเบสของสิ่งมีชีวิตที่อยู่ในฐานข้อมูล NCBI และแสดงว่าลำดับเบสนี้บริเวณ PC-IGS ของไฟโโคไซยานินโอลีปอรอน ในไซยาโนแบคทีเรียนน้ำพร้อมของประเทศไทย มีความแตกต่างจากไซยาโนแบคทีเรียชนิดอื่นๆ ที่พบในฐานข้อมูล

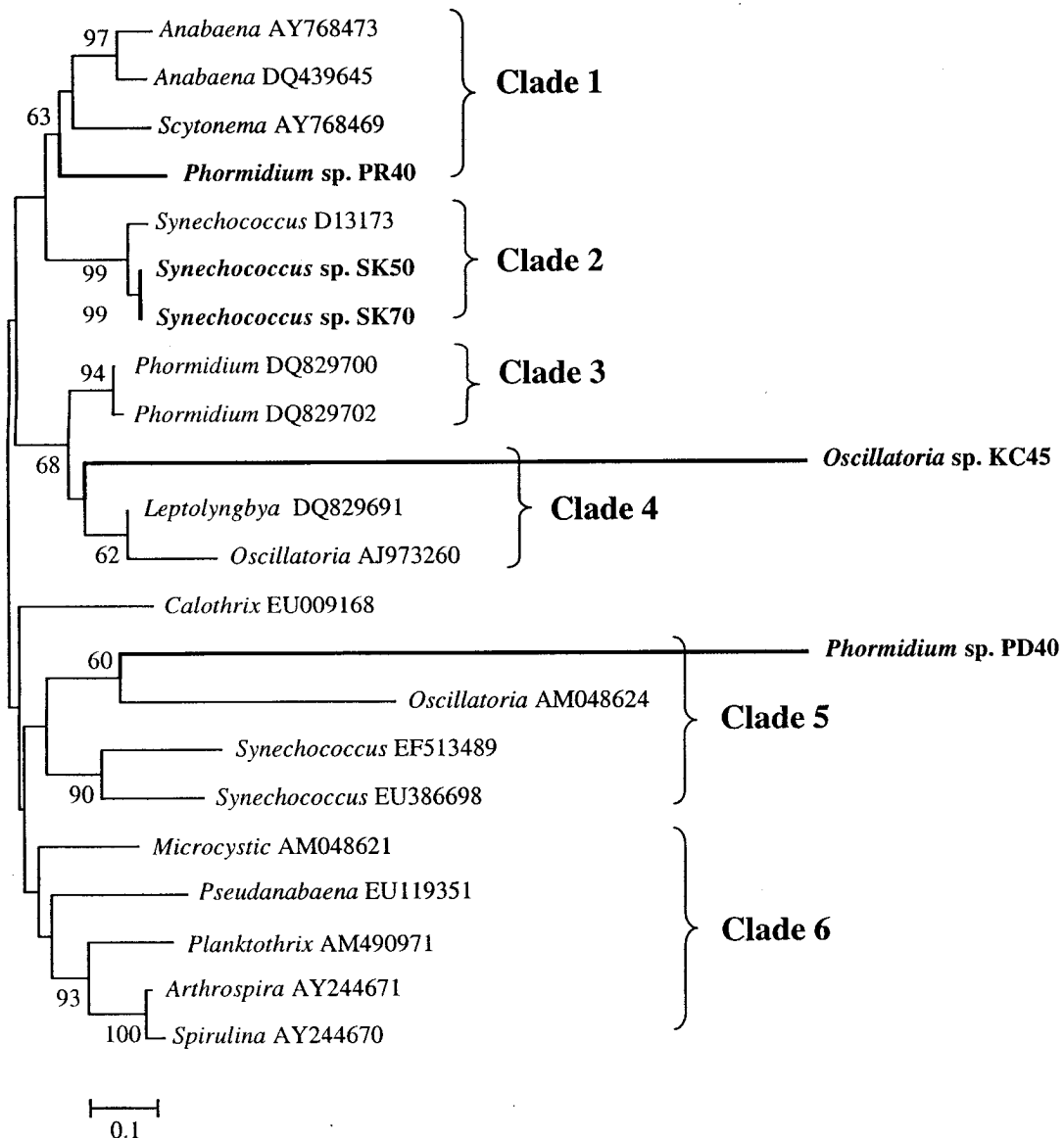
ตาราง 7 ค่าความเหมือนจากการเปรียบเทียบลำดับเบสของไฟโโค โซยาโน ไอเพอรอน intergenic spacer (PC-IGS) ของไซยาโนแบคทีเรียน้ำพุร้อน กับข้อมูลใน NCBI
(ข้อมูลเมื่อวันที่ 25 เมษายน 2551)

ไซยาโนแบคทีเรีย	ความยาว (bp)	ความเหมือนสูงสุด	%ความเหมือน
<i>Synechococcus</i> sp. SK70	669	<i>Thermosynechococcus elongatus</i> (BA000039.2)	95.05
<i>Synechococcus</i> sp. SK50	665	<i>Thermosynechococcus elongatus</i> (BA000039.2)	94.43
<i>Phormidium</i> sp. PR40	725	No significant similarity Found	-
<i>Oscillatoria</i> sp. KC45	1086	No significant similarity Found	-
<i>Phormidium</i> sp. PD40	1027	No significant similarity Found	-

จากแผนภูมิความสัมพันธ์ทางไฟโลเจนิติกจากลำดับเบสของ PC-IGS แสดงในภาพ 11 โดยใช้ข้อมูลลำดับเบส PC-IGS ของไซยาโนแบคทีเรียอื่นจากฐานข้อมูล GenBank (ตาราง 8) เนื่องจากลำดับเบสของ PC-IGS ที่ได้มีความเหมือนเฉพาะในจีนัส *synechococcus* ใน clade 2 แผนภูมิความสัมพันธ์ทางไฟโลเจนิติกที่ได้ จึงมีความสัมพันธ์กับการจัดกลุ่มโดยลักษณะทางสัณฐานวิทยา ในจีนัส *Synechococcus* ส่วนไซยาโนแบคทีเรียจีนัสอื่นๆ จะอยู่นั่นก็ไม่สอดคล้อง การจำแนกโดยใช้ลักษณะทางสัณฐานวิทยา โดย *Phormidium* sp. PR40 ใน Order Oscillatoriales จะอยู่ใน clade 1 โดยอยู่ร่วมกับไซยาโนแบคทีเรียใน Order Nostocales และอยู่ในกึ่งเดียวกับจีนัส *Scytonema* ซึ่งเป็นกลุ่มที่เป็นเส้นสายที่สร้างเซลล์ห่อโรซิสต์ และใน clade 1 การจัดกลุ่มความสัมพันธ์มีความสอดคล้องกับลักษณะทางสัณฐานวิทยา เป็นกลุ่มที่เป็นเส้นสายและสร้างเซลล์ห่อโรซิสต์

ความสัมพันธ์ทางไฟโลเจนิติกใน clade 4 จะเป็นกลุ่มไซยาโนแบคทีเรียที่เป็นเส้นสายใน Order Oscillatoriales ความสัมพันธ์ในกลุ่มนี้จะมีความสอดคล้องกับสัณฐานวิทยา แต่ก็มีความแตกต่างสูง คือมีค่า bootstrap ค่อนข้างต่ำ ทำให้กึ่งบนแผนภูมิของ *Oscillatoria* sp. KC45 อยู่ห่างจากจีนัสอื่นและใน clade 5 พบร้า *Phormidium* sp. PD40 อยู่ในกึ่งเดียวกับไซยาโนแบคทีเรียในจีนัส *Oscillatoria* ซึ่งเป็นกลุ่มที่เป็นเส้นสายแต่ก็มีความแตกต่างกันมากเมื่อจากความยาวของกึ่งบนแผนภูมิ แต่ความสัมพันธ์ในกลุ่มใหญ่กับพบร้าว่าอยู่ร่วมกับไซยาโนแบคทีเรียในจีนัส

Synechococcus ซึ่งจัดอยู่ใน Order Chroococcales ความสัมพันธ์ของแผนภูมิที่ได้ภายในกลุ่มใหญ่เมื่อการจัดกลุ่มสอดคล้องกับการจัดจำแนกทางสัณฐานวิทยา แต่เมื่อพิจารณาจากกลุ่มย่อยแล้วพบว่า ไซยาโนแบคทีเรียกลุ่มนี้มีลักษณะเป็นเซลล์เดี่ยวๆ ไปอยู่รวมกับไซยาโนแบคทีเรียที่เรียกว่าเป็นเส้นสายแต่ความสัมพันธ์ในกิ่งเดียวกันของแผนภูมินี้มีความสอดคล้องกับการจัดจำแนกทางสัณฐานวิทยา



ภาพ 11 แผนภูมิความสัมพันธ์ทางไฟโลเจนติกของไซยาโนแบคทีเรียจากลำดับเบสของ PC-IGS ของไฟโลไซยาโน ไม่ปะรอนที่ได้จากการวิเคราะห์โดยวิธี Neighbor-Joining (bootstrap percentages less than 50% not report)

จากการทดลองใช้วิธีการสร้างแผนภูมิความสัมพันธ์ทางไฟโลเจนิติกค์วิชี Maximum likelihood, Maximum Parsimony และ UPGMA โดยใช้ข้อมูลในฐานข้อมูล NCBI (ตาราง 8) ตำแหน่งของไซยาโนแบคทีเรียในน้ำพร้อมในแต่ละแผนภูมิไม่มีความแตกต่างกันมากนัก จึงได้นำเสนอเพียงแผนภูมิความสัมพันธ์ทางไฟโลเจนิติกที่ได้จากวิธี Neighbor-Joining

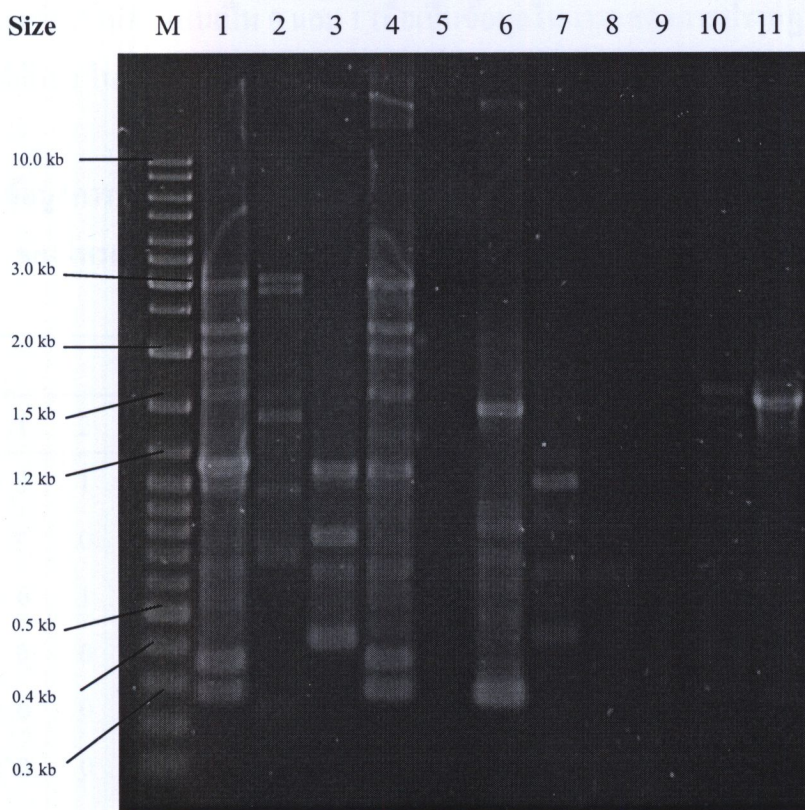
ตาราง 8 ข้อมูลของไซยาโนแบคทีเรียที่ใช้ในการสร้างแผนภูมิความสัมพันธ์ทางไฟโลเจนิติกของ PC-IGS จากฐานข้อมูลใน NCBI

Cyanobacteria	Accession number	Reference
<i>Anabaena</i> sp. PCC 9109	AY768473	Unpublished
<i>Anabaena sphaerica</i> UTEX 'B 1616'	DQ439645	Unpublished
<i>Arthrospira platensis</i>	AY244671	Unpublished
FACHBOUQDS6		
<i>Calothrix</i> sp. UAM 370	EU009168	Berrendero <i>et al.</i> (2008)
<i>Leptolyngbya valderiana</i> BDU 140801	DQ829691	Unpublished
<i>Microcystis aeruginosa</i>	AM048621	Haande <i>et al.</i> (2007)
<i>Oscillatoria salina</i> BDU 30411	AJ973260	Premanandh <i>et al.</i> (2006)
<i>Oscillatoria</i> sp.	AM048624	Unpublished
<i>Phormidium</i> sp. BDU 100962	DQ829700	Unpublished
<i>Phormidium willei</i> BDU 141621	DQ829702	Unpublished
<i>Planktothrix agardhii</i> NIVA-CYA 537	AM490971	Unpublished
<i>Pseudanabaena</i> sp. CCY9714	EU119351	Unpublished
<i>Scytonema hofmanni</i> PCC 7110	AY768469	Unpublished
<i>Spirulina</i> sp. FACHB440	AY244670	Unpublished
<i>Synechococcus elongatus</i>	D13173	Unpublished
<i>Synechococcus</i> sp. CCY9202	EF513489	Haverkamp <i>et al.</i> (2008)
<i>Synechococcus</i> sp. CCY0491	EU386698	Unpublished

7. ผลการศึกษาลายพิมพ์ดีเอ็นเอของลำดับเบสช้าต่อเนื่อง

7.1 ลำดับเบสช้าต่อเนื่องช่วงสั้น (short tandemly repeat repetitive sequence; STRR)

เมื่อทดลองหาสภาวะที่เหมาะสมที่จะใช้ในการศึกษาลายพิมพ์ดีเอ็นเอ ของลำดับเบสช้าต่อเนื่องช่วงสั้น กับดีเอ็นเอของไซยาโนแบคทีเรียทั้งหมดที่ใช้เป็นตัวอย่างในการศึกษาลายพิมพ์ดีเอ็นเอจากลำดับเบสช้าต่อเนื่องช่วงสั้น (STRR 1A และ STRR 1B) คือ Initial denaturation 94°C 4 นาที denature 94 องศาเซลเซียส 1 นาที annealing 55 องศาเซลเซียส 1 นาที extension 72 องศาเซลเซียส 1 นาที จำนวน 30 รอบ และ final extension 72 องศาเซลเซียส 10 นาที ลายพิมพ์ดีเอ็นเอของลำดับเบสช้าต่อเนื่องช่วงสั้น โดยใช้ไพรเมอร์ STRR 1A ดังแสดงในภาพ 12



ภาพ 12 ແບດดีเอ็นเอที่ได้จากการใช้ไพรเมอร์ STRR 1A

1% agarose gel ใน 1X TAE buffer M = GeneRuler DNA Ladder Mix

Lane 1: *Scytonema* sp. TP 40-1; **Lane 2:** *Leptolyngbya* sp. PR 40; **Lane 3 :** *Phormidium* sp. PD 40; **Lane 4:** *Scytonema* sp. TP 40; **Lane 5:** *Chroococcidiopsis* sp. PR 45; **Lane 6:** *Phormidium* sp. PR 40; **Lane 7:** *Synechococcus* sp. PD 55; **Lane 8:** *Synechococcus* sp. SK 50; **Lane 9:** *Synechococcus* sp. SK 70; **Lane 10:** *Oscillatoria* sp. KC 45; **Lane 11:** *Phormidium* sp. SK 45

ลายพิมพ์ดีเอ็นเอที่ได้จากการใช้ไฟรเมอร์ STRR 1A (ภาพ 12) พบว่าปราภูแคนดีเอ็นเอในตัวอย่างดีเอ็นเอของไซยาโนแบคทีเรียที่ใช้ทดสอบได้ทั้งหมด 8 ตัวอย่าง จากทั้งหมด 11 ตัวอย่าง มีขนาดอยู่ระหว่าง 300-3,000 bp โดยในไซยาโนแบคทีเรียนั้น *Scytonema* sp. TP 40-1 และ *Scytonema* sp. TP 40 ได้แคนดีเอ็นเอที่มีความหลากหลายที่สุด ส่วนในจีนัส *Chroococcidiopsis* sp. PR 45, *Synechococcus* sp. SK 50 และใน *Synechococcus* sp. SK 70 ไม่พบแคนดีเอ็นเอหลังจากผ่านปฏิกิริยาพีซีอาร์ หลังจากนั้นนำไปวิเคราะห์หาตำแหน่งของแคนดีเอ็นเอ ที่ได้จากรูปโดยใช้โปรแกรมสำเร็จรูป Gel analysis software version 3.06 (d) เพื่อหาตำแหน่งที่แน่นอนของแคนดีเอ็นเอ และนำข้อมูลที่ได้มามาวิเคราะห์หาความสัมพันธ์ระหว่างกลุ่ม โดยใช้โปรแกรม cluster analysis โดยใช้เกณฑ์การให้คะแนนเป็น 0 และ 1 เพื่อเป็นข้อมูลในการแสดงการปราภู (1) หรือไม่ปราภู (0) แคนดีเอ็นเอ ในแต่ละตำแหน่งจากลายพิมพ์ดีเอ็นเอที่ได้ ดังแสดงในตาราง 9

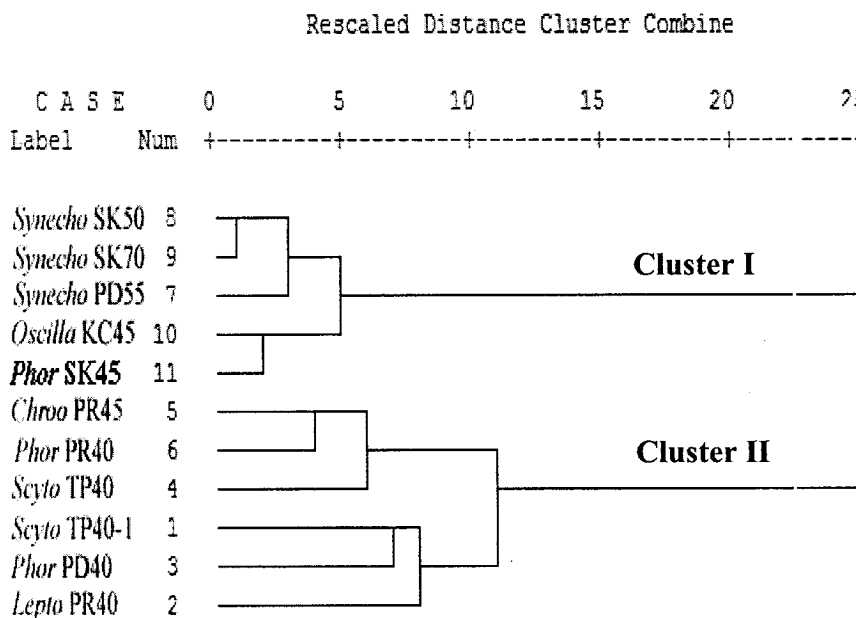
ตาราง 9 ข้อมูลการปราภู (1) ไม่ปราภูแคนดีเอ็นเอ (0) ในแต่ละตำแหน่งจากลายพิมพ์ดีเอ็นเอของไฟรเมอร์ STRR 1A

Lane	Band (primer STRR 1A)														
	1	2	3	4	5	6	7	8	9	10	11	12	13	14	15
<i>Scy</i> TP40-1 0	1	0	1	0	1	0	1	1	0	0	0	1	0	1	1
<i>Lep</i> PR40 1	0	1	0	1	1	1	0	1	0	1	0	0	0	0	0
<i>Phor</i> PD40 0	1	0	0	0	0	0	1	0	1	0	1	1	1	0	0
<i>Scy</i> TP40 0	0	0	0	1	1	1	0	1	0	0	0	0	0	1	1
<i>Chro</i> PR45 0	0	0	0	0	0	0	0	0	0	0	0	0	0	0	0
<i>Phor</i> PR40 0	0	0	0	0	0	0	1	0	0	1	1	1	0	0	1
<i>Syne</i> PD55 0	0	0	0	0	0	0	0	1	0	0	0	0	1	0	0
<i>Syne</i> SK50 0	0	0	0	0	0	0	0	0	0	0	0	0	0	0	0
<i>Syne</i> SK70 0	0	0	0	0	0	0	0	0	0	0	0	0	0	0	0
<i>Osci</i> KC45 0	0	0	0	0	1	0	0	0	0	0	0	0	0	0	0
<i>Phor</i> SK45 0	0	0	0	0	0	1	0	0	0	0	0	0	0	0	0

จากตาราง 9 Lane หมายถึงตัวอย่างไซยาโนแบคทีเรียที่ใช้ในการศึกษาซึ่งมีด้วยกันทั้งหมด 11 ตัวอย่าง (ดูภาพ 17 ประกอบ) ส่วน Band ก็อ ตำแหน่งของแคนดีเอ็นเอที่พบทั้งหมด

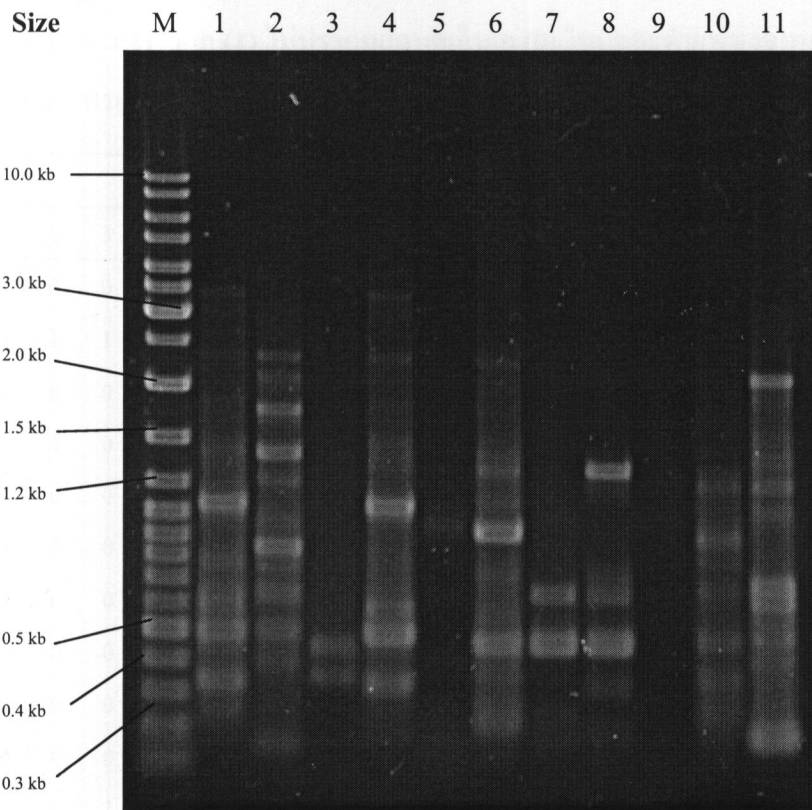
ผลการจัดกลุ่มความสัมพันธ์โดยใช้โปรแกรม cluster analysis ดังแสดงในภาพ 13 พบว่าสามารถแบ่งกลุ่มตัวอย่างที่ศึกษาได้ออกเป็น 2 กลุ่มใหญ่ กลุ่มที่ 1 ประกอบไปด้วยไซยาโนแบคทีเรียในจีนัส *Synechococcus* sp. PD 55, *Synechococcus* sp. SK 50, *Synechococcus* sp. SK 70, *Oscillatoria* sp. KC 45 และ *Phormidium* sp. SK 45 โดย *Synechococcus* ทั้งสามตัวอย่าง มีความสัมพันธ์ระหว่างกลุ่มที่ใกล้ชิดกัน และสอดคล้องกับการจัดจำแนกตามลักษณะทางด้านสัณฐานวิทยา ในกลุ่มที่ 2 ประกอบไปด้วยไซยาโนแบคทีเรียในจีนัส *Chroococcidiopsis* sp. PR 45, *Phormidium* sp. PR40, *Scytonema* sp. TP 40, *Scytonema* sp. TP 40-1, *Phormidium* sp. PD 40 และ *Leptolyngbya* sp. PR 40 มีความสัมพันธ์ระหว่างกลุ่มที่ไม่ชัดเจนมากนัก และในจีนัสเดียวกันคือ *Phormidium* sp. PR40 กับ PD40 และ *Scytonema* sp. TP40 กับ TP40-1 กลับพบว่ามีความสัมพันธ์อ่อน倦และกลุ่มย่อย แต่อย่างไรก็ตามผลการจัดกลุ่มที่ได้พบว่าลายพิมพ์ดีเอ็นเอของลำดับเบสซึ่งต่อเนื่องช่วงสั้นของไฟรเมอร์ STRR 1A สามารถใช้บ่งชี้ความแตกต่างของไซยาโนแบคทีเรียในระดับของจีนัสได้

Dendrogram using Average Linkage (Between Groups)



ภาพ 13 แผนภูมิแสดงความสัมพันธ์ระหว่างกลุ่มของไซยาโนแบคทีเรีย ที่ได้จากลายพิมพ์ดีเอ็นเอ โดยใช้ไฟรเมอร์ STRR 1A

ลายพิมพ์คือเอ็นเอของลำดับเบสซึ่งต่อเนื่องช่วงสั้นของไพรเมอร์ STRR 1B (ภาพ 14) ปรากฏเป็นแถบคือเอ็นเอกับไซยาโนแบคทีเรีย 9 ตัวอย่าง จากทั้งหมด 11 ตัวอย่าง และมีความหลากหลายมากกว่าลายพิมพ์ของลำดับเบสซึ่งต่อเนื่องช่วงสั้นที่ได้จากการใช้ไพรเมอร์ STRR 1A มีขนาดอยู่ระหว่าง 200 – 3,500 bp โดยแถบคือเอ็นเอมีความหลากหลายมากที่สุดพบอยู่ในจีนส *Leptolyngbya* sp. PR 40 ส่วนในจีนส *Chroococcidiopsis* sp. PR 45 และ *Synechococcus* sp. SK 70 ไม่ปรากฏแถบคือเอ็นเอ หลังจากสืบสุดปฏิริยาพีซีอาร์



ภาพ 14 แถบคือเอ็นเอที่ได้จากการใช้ไพรเมอร์ STRR 1B

1% agarose gel ใน 1X TAE buffer M = GeneRuler DNA Ladder Mix

Lane 1: *Scytonema* sp. TP 40-1; **Lane 2:** *Leptolyngbya* sp. PR 40; **Lane 3 :** *Phormidium* sp. PD 40; **Lane 4:** *Scytonema* sp. TP 40; **Lane 5:** *Chroococcidiopsis* sp. PR 45 ; **Lane 6 :** *Phormidium* sp. PR 40; **Lane 7:** *Synechococcus* sp. PD 55; **Lane 8:** *Synechococcus* sp. SK 50; **Lane 9:** *Synechococcus* sp. SK 70; **Lane 10:** *Oscillatoria* sp. KC 45; **Lane 11:** *Phormidium* sp. SK 45

จากการวิเคราะห์หาตำแหน่งของแคนดีอีนเบนเจลในภาพ 14 โดยใช้โปรแกรมสำเร็จรูป Gel analysis software version 3.06 (d) เพื่อหาตำแหน่งที่แผ่นของ การประกฏแคนดีอีนเอ และนำข้อมูลที่ได้มามาวิเคราะห์หาความสัมพันธ์ระหว่างกลุ่ม โดยใช้โปรแกรม cluster analysis โดยใช้เกณฑ์การให้คะแนนเป็น 0 และ 1 เพื่อเป็นข้อมูลในการแสดงการประกฏ (1) หรือไม่ประกฏ (0) ของแคนดีอีนเอ ในแต่ละตำแหน่งจากลายพิมพ์ดีอีนของไพรเมอร์ STRR 1B ดังตาราง 10 ซึ่งพบว่าเกิดแคนดีอีนเฉลี่ย 20 แคนที่มีความแตกต่างกัน จากตัวอย่าง ไซยาโนแบคทีเรีย 11 ตัวอย่าง

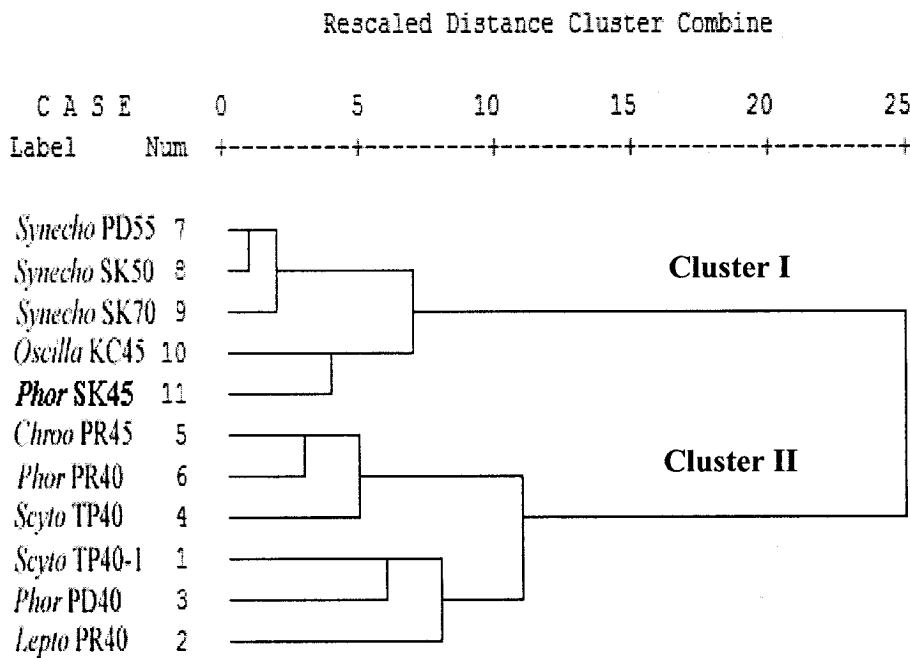
ตาราง 10 ข้อมูลการประกฏ (1) ไม่ประกฏแคนดีอีนเอ (0) ในแต่ละตำแหน่งจากลายพิมพ์ดีอีนเอ ของไพรเมอร์ STRR 1B

Lane	Band (primer STRR 1B)																			
	1	2	3	4	5	6	7	8	9	10	11	12	13	14	15	16	17	18	19	20
1	1	0	0	0	0	0	0	1	0	0	1	0	1	0	0	1	0	1	0	0
2	0	1	1	1	1	1	1	0	0	1	1	0	1	1	0	0	0	0	0	1
3	0	0	0	0	0	0	0	0	0	0	0	0	0	0	1	1	0	0	0	0
4	1	1	0	0	0	0	0	1	0	0	0	1	1	0	0	0	1	0	0	0
5	0	0	0	0	0	0	0	0	0	0	0	0	0	0	0	0	0	0	0	0
6	0	1	0	0	0	1	0	0	1	0	0	0	1	0	0	0	0	0	1	0
7	0	0	0	0	0	0	0	0	0	0	1	0	1	0	0	0	0	0	0	0
8	0	0	0	0	0	1	0	0	0	0	1	0	1	0	0	0	0	0	0	0
9	0	0	0	0	0	0	0	0	0	0	0	0	0	0	0	0	0	0	0	0
10	0	0	0	0	0	0	1	0	1	0	1	0	1	0	0	0	1	0	0	0
11	0	0	1	0	0	0	1	1	0	0	1	1	1	0	0	0	0	0	0	1

จากตาราง 10 Lane หมายถึงตัวอย่าง ไซยาโนแบคทีเรียที่ใช้ในการศึกษาซึ่งมีด้วยกันทั้งหมด 11 ตัวอย่าง (ดูภาพ 20 ประกอบ) ประกอบไปด้วย lane 1: *Scytonema* sp. TP 40-1; lane 2: *Leptolyngbya* sp. PR 40; lane 3 : *Phormidium* sp. PD 40; lane 4: *Scytonema* sp. TP 40; lane 5: *Chroococcidiopsis* sp. PR 45; lane 6 : *Phormidium* sp. PR 40; lane 7: *Synechococcus* sp. PD 55; lane 8: *Synechococcus* sp. SK 50; lane 9: *Synechococcus* sp. SK 70; lane 10: *Oscillatoria* sp. KC 45; lane 11: *Phormidium* sp. SK 45 ส่วน Band คือ ตำแหน่งของแคนดีอีนเอที่พบทั้งหมด

ผลการจัดกลุ่มความสัมพันธ์โดยใช้โปรแกรม cluster analysis ดังแสดงในภาพ 15 พบว่าสามารถแบ่งกลุ่มตัวอย่างที่ศึกษาได้ออกเป็น 2 กลุ่มใหญ่ คล้ายกับแผนภูมิความสัมพันธ์ที่ได้จากการใช้ไฟรเมอร์ STRR 1A (ภาพ 13) ถึงแม้ไฟรเมอร์ STRR 1B จะเกิดແບບเดียวกันแต่มีความหลากหลายมากกว่าก็ตาม โดยตัวอย่างไชยาโนแบคทีเรียที่ใช้ในการศึกษาจะอยู่ตำแหน่งเดียวกันบนแผนภูมิกลุ่มความสัมพันธ์ของ cluster analysis ของไฟรเมอร์ทั้งสองชนิด ยกเว้นในกลุ่มความสัมพันธ์ของเจนัส *Synechococcus* ซึ่งมีความสัมพันธ์ภายในกลุ่มอยู่แตกต่างจากแผนภูมิที่ได้จากการใช้ไฟรเมอร์ STRR 1A โดยพบว่า *Synechococcus* sp. PD55 กับ SK50 มีความสัมพันธ์ใกล้ชิดกันมากกว่า *Synechococcus* sp. SK70 อย่างไรก็ตามจากข้อมูลลายพิมพ์เดียวกันนี้ได้จากการใช้ไฟรเมอร์ทั้งสองชนิด สามารถใช้บ่งชี้ความแตกต่างของแต่ละเจนัสได้

Dendrogram using Average Linkage (Between Groups)



ภาพ 15 แผนภูมิแสดงความสัมพันธ์ระหว่างกลุ่มของไชยาโนแบคทีเรีย ที่ได้จากการใช้ไฟรเมอร์ STRR 1B

บทที่ 5

สรุปและวิจารณ์ผลการศึกษา

การศึกษาความหลากหลายทางพันธุกรรม และความสัมพันธ์ทางไฟโลเจนติกจากลำดับเบสของยีน 16S ribosomal RNA (16S rDNA) ลำดับเบสของดีเอ็นเอบริเวณ 16S-23S internal transcribed spacer (16S-23S ITS) และ intergenic spacer (PC-IGS) ของไฟโตไซยาโนฟอราปะรอนจากไซยาโนแบคทีเรียน้ำพุร้อนจำนวน 11 สายพันธุ์ ได้แก่ *Synechococcus* sp. SK70, *Synechococcus* sp. SK50, *Synechococcus* sp. PD55, *Phormidium* sp. SK45, *Phormidium* sp. PD40, *Phormidium* sp. PR40, *Scytonema* sp. TP40, *Scytonema* sp. TP40-1, *Leptolyngbya* sp. PR40, *Chroococcidiopsis* sp. PR45 และ *Oscillatoria* sp. KC45 พบว่าไซยาโนแบคทีเรียน้ำพุร้อน มีความหลากหลายทางพันธุกรรมแตกต่างจากไซยาโนแบคทีเรียที่พบจากแหล่งอื่นๆ โดยเมื่อเปรียบเทียบลำดับเบสดีเอ็นเอ ของ 16S-23S ITS จำนวน 5 สายพันธุ์ มีความเหมือนกันกับ *Leptolyngbya* อุ่นระหว่าง 88-100% ส่วนลำดับเบสของ PC-IGS มีความเหมือนกันอุ่นระหว่าง 94-95% และไซยาโนแบคทีเรียสายพันธุ์ *Phormidium* sp. PR40, *Phormidium* sp. PD40 และ *Oscillatoria* sp. KC45 ไม่มีความเหมือนกับดีเอ็นในฐานข้อมูลของ NCBI

ในส่วนของการศึกษาความสัมพันธ์ทางไฟโลเจนติก จากลำดับเบสของดีเอ็นเอพบว่า แผนภูมิต้นไม่แสดงความสัมพันธ์ทางไฟโลเจนติก (Phylogenetic tree) โดยใช้วิธี Neighbor Joining, Maximum Parsimony และ UPGMA ตำแหน่งของไซยาโนแบคทีเรียบนแผนภูมิแสดงความสัมพันธ์ทางไฟโลเจนติกไม่มีความแตกต่างกันมากนักในแต่ละวิธี โดยแผนภูมิความสัมพันธ์ทางไฟโลเจนติกของ PC-IGS ของไซยาโนแบคทีเรียส่วนใหญ่มีความสอดคล้องกับการจัดกลุ่มตามลักษณะทางสัณฐานวิทยาในแต่ละ Order และสามารถแสดงความหลากหลายในกลุ่มที่แยกด้วยลักษณะทางสัณฐานวิทยาได้ยาก ส่วนแผนภูมิที่ได้จากลำดับเบสของ 16S-23S ITS แสดงความสัมพันธ์ของกลุ่มยังไม่ชัดเจนเนื่องจากเป็นบริเวณที่มีความผันแปรสูง และมีแนวโน้มที่จะมีความหมายสมกับกลุ่มที่อยู่ในจินสเดียวกัน

การศึกษาลายพิมพ์ดีเอ็นเอของลำดับเบสช้าต่อเนื่องช่วงสั้น โดยใช้ไพรเมอร์ที่จำเพาะกับลำดับเบสช้าที่พบในจีโนมของไซยาโนแบคทีเรีย STRR 1A และ STRR 1B ทำการเพิ่มปริมาณดีเอ็นเอ โดยใช้เทคนิคพีซีอาร์ ในสภาวะดังนี้ initial denaturation 94 องศาเซลเซียส 4 นาที denature 94 องศาเซลเซียส 1 นาที annealing 55 องศาเซลเซียส 1 นาที extension 72 องศาเซลเซียส 1 นาที จำนวน 30 รอบ และ final extension 72 องศาเซลเซียส 10 นาที แทนดีเอ็นเอที่เกิดขึ้นหลังปฏิกริยาพีซีอาร์โดยใช้ไพรเมอร์ STRR 1A จำนวน 15 รอบ และ STRR 1B จำนวน 20 รอบ มี

ขนาดอยู่ระหว่าง 300 - 3,000 bp และ 200 - 3,500 bp ตามลำดับ จากผลวิเคราะห์การจัดกลุ่มหาความสัมพันธ์โดยใช้โปรแกรม cluster analysis พบว่า แบบคีเอ็นเอที่ได้จากไฟรเมอร์ STRR 1A และ STRR 1B สามารถแบ่งออกเป็น 2 กลุ่มใหญ่ แต่ความสัมพันธ์ภายในกลุ่มเดียวกันยังไม่ชัดเจน ระหว่างกลุ่มที่เป็นเซลล์เดียว เป็นเด็นسا แอลกุ่มที่สร้างเชิงเทղอ โรซิสต์ แต่สามารถใช้บ่งชี้ความแตกต่างได้ในระดับของเจนัส ในส่วนของลำดับเบสซ้ำต่อเนื่องช่วงยาวที่ใช้ไฟรเมอร์ LTRR1 และ LTRR2 ในเกิดแบบคีเอ็นเอ อาจเนื่องมาจากคีเอ็นเอของตัวอย่าง ไซยาโนแบคทีเรียที่ใช้ในการศึกษา ไม่มีลำดับเบสซ้ำต่อเนื่องช่วงยาว ที่จะมีความจำเพาะเฉพาะเจาะจงกับลำดับเบสของไฟรเมอร์ที่ใช้ทำการทดลองในครั้งนี้

การสกัดคีเอ็นเอจากตัวอย่าง

การสกัดคีเอ็นเอจากตัวอย่าง ไซยาโนแบคทีเรียในน้ำพุร้อน โดยในระยะแรกใช้เอนไซม์ proteinase K และ lysozyme แต่เนื่องจาก ไซยาโนแบคทีเรียมีเยื่อหุ้มเซลล์คงตัว เมื่อ McDonal ความร้อนสูง จะมีลิปิดที่ละลายในกรดไขมันจำนวนมาก การที่ลิปิดละลายในกรดไขมันทำให้เยื่อหุ้มเซลล์คงตัว อิอกทึ้งมีโพลีแซคคาไรด์ เป็นชั้นหุ้มหนา การสกัดด้วยวิธีการใช้เอนไซม์จึงไม่เหมาะสม และทำการเปลี่ยนมาใช้ extraction buffer ที่มีส่วนผสมของ CTAB และ PVPP ซึ่งคัดแปลงมาจากการของ Doyle and Doyle (1990) สารในกลุ่มนี้จะช่วยในการกำจัดโพลีแซคคาไรด์ออกจากตัวอย่าง ได้ดี ซึ่งเป็นวิธีการสกัดคีเอ็นเอในตัวอย่างที่เป็นเนื้อเยื่อพืช หลังจากสกัดคีเอ็นเอด้วยวิธีนี้แล้ว จะช่วยให้ได้คีเอ็นเอที่บริสุทธิ์ และมีปริมาณสูงอีกด้วย ซึ่งสอดคล้องกับ Phillips *et al.* (2001) ได้ทำการศึกษาวิธีการสกัดคีเอ็นเอจากสาหร่ายสีน้ำตาลที่มีปริมาณโพลีแซคคาไรด์สูง โดยพบว่าการเติม PVPP ร่วมกับการใช้ CTAB จะช่วยให้ได้คีเอ็นเอที่บริสุทธิ์ขึ้น สำหรับตัวอย่าง ไซยาโนแบคทีเรียบางสายพันธุ์ที่เจริญอยู่เป็น mat การสกัดคีเอ็นเอออกจากตัวอย่างทำได้ยากกว่าปกติ การใช้ extraction buffer ที่มีส่วนผสมของ CTAB และ PVPP นี้จะต้องบ่มที่อุณหภูมิสูง ประมาณ 65 องศาเซลเซียส ซึ่งที่อุณหภูมนี้จะทำให้โพลีแซคคาไรด์ออกมากจากตัวอย่างมากกว่าปกติ และได้คีเอ็นเอในปริมาณน้อย สามารถหลีกเลี่ยงโดยการบ่มที่อุณหภูมิ 37 องศาเซลเซียส ซึ่ง Wattier *et al.* (2000) ได้ทำการศึกษาสกัดคีเอ็นเอจากสาหร่ายทะเลสีแดงด้วยการบ่มที่อุณหภูมิต่ำ เนื่องจาก CTAB และ PVPP ทำงานได้ที่อุณหภูมิสูง การบ่มที่อุณหภูมิเพียง 37 องศาเซลเซียส จึงต้องมีการเติมกรดลงไปเพื่อให้ extraction buffer สามารถทำงานที่อุณหภูมิต่ำได้ แต่วิธีนี้จะมีข้อจำกัดที่ต้องใช้ชนิดและความเข้มข้นของกรดที่เติมลงไปให้เหมาะสม

การหาสภาวะที่เหมาะสมในปัจจุบันพิชีอาร์

การหาสภาวะที่เหมาะสมในการเพิ่มปริมาณดีเอ็นเอของยีน 16S-23S ITS และ PC-IGS เพื่อให้ได้ผลิตภัณฑ์ที่มากพอที่จะใช้วิเคราะห์หาดับเบลส เนื่องจากไชยาโนแบคทีเรียเป็นกลุ่มสิ่งมีชีวิตที่เป็นโปรดักติโอด จึงได้ใช้ดีเอ็นเอของแบคทีเรีย *Escherichia coli* ซึ่งใช้เป็นตัวแทนของแบคทีเรียที่อาจจะเป็นปัจจัยจากตัวอย่างไชยาโนแบคทีเรียที่ทำการศึกษา โดยการทดลองหาอุณหภูมิที่เหมาะสมในขั้น annealing ของปัจจุบันพิชีอาร์ ระหว่าง 50-60 องศาเซลเซียส ซึ่งคำนวณจากลำดับเบสของไฟรเมอร์ที่ใช้ในการทดลอง โดยใช้เทคนิค Gradient PCR ซึ่งสามารถใช้ศึกษาปัจจุบันของพิชีอาร์โดยใช้อุณหภูมิในขั้น annealing ได้หลายอุณหภูมิภายในปัจจุบันพิชีอาร์รึ่งเดียวพบว่าอุณหภูมิที่เหมาะสมอยู่ระหว่าง 55-56 องศาเซลเซียส และได้ทดลองหาเวลาที่เหมาะสมในปัจจุบันนี้ การใช้เวลาเพียง 1 นาที ที่เพียงพอที่จะทำให้เกิดແแตบดีเอ็นเอที่มีความคงดั้ง ซึ่งการมีตำแหน่งของดีเอ็นเอต้นแบบให้ไฟรเมอร์เกาะอย่างพอดีเพียง และการมีตำแหน่งที่ไฟรเมอร์เกาะได้อย่างสมบูรณ์ จะสมดุลกับอุณหภูมินี้ซึ่งจะสูงกว่าค่า T_m ของไฟรเมอร์ ที่อุณหภูมิสูงกว่าค่า T_m ไฟรเมอร์จะเกาะกับดีเอ็นเอต้นแบบได้น้อย อุณหภูมิที่ต่ำกว่าค่า T_m ของไฟรเมอร์ลงไปที่ประมาณ 5 องศาเซลเซียส จะเกาะได้อย่างสมบูรณ์ในตำแหน่งที่ถูกต้อง (สุรินทร์, 2545) อย่างไรก็ตาม การมี %GC สูงๆ ของไฟรเมอร์หรือในจีโนมของไชยาโนแบคทีเรียจะมีผลต่ออุณหภูมิในขั้น annealing ด้วยเช่นกัน จึงต้องทำการศึกษาอุณหภูมิในช่วงกว้าง นอกเหนือจากการใช้เทคนิค Hot start PCR เพื่อลดโอกาสการจับกันอย่างไม่จำเพาะของปัจจุบันพิชีอาร์ในระหัวงขั้นตอน denaturation ของปัจจุบัน ระหว่างที่มีการเพิ่มอุณหภูมิ หรือลดอุณหภูมิเพื่อเข้าสู่ขั้นตอนต่อไปของปัจจุบันนี้ มักจะผ่านอุณหภูมิที่สามารถเกิดการเพิ่มจำนวนของดีเอ็นเอในหลอดทดลองได้ และการจับกันอย่างผิดพลาดในปัจจุบันรอบแรกๆ ผลิตภัณฑ์ที่ได้จะถูกนำไปเป็นดีเอ็นเอต้นแบบของปัจจุบันรอบต่อไป

ในบริเวณ 16S-23S ITS ทำการเพิ่มจำนวนดีเอ็นเอได้เพียง 5 สายพันธุ์ ได้แก่ *Scytonema* sp. TP40, *Scytonema* sp. TP40-1, *Leptolyngbya* sp. PR40, *Phormidium* sp. PD40 และ *Phormidium* sp. PR40 ซึ่งส่วนใหญ่เป็นกลุ่มของไชยาโนแบคทีเรียที่เป็นเส้นสาย โดยไฟรเมอร์ที่ใช้ในการเพิ่มจำนวนคือ 16S-247f และ 23S-1608r ซึ่งตำแหน่งดังกล่าวจะอยู่ลึกเข้าไปในส่วนของ 16S และ 23S ทำให้ได้ขึ้นคีเอ็นเอที่มีความยาวประมาณ 2500 bp ซึ่งลำดับเบสของไฟรเมอร์ตำแหน่งดังกล่าวจะมีความจำเพาะต่อดีเอ็นเอไชยาโนแบคทีเรีย (Rocap *et al.*, 2002) ไชยาโนแบคทีเรียสายพันธุ์ *Oscillatoria* sp. KC45, *Chroococcidiopsis* sp. PR45 และ *Phormidium* sp. PD40 ซึ่งใช้ไฟรเมอร์ในการเพิ่มจำนวนดีเอ็นเอโดยปัจจุบันพิชีอาร์และในการหาลำดับเบสคือ 1114F และ 23S-xxr พบว่าลำดับเบสที่ได้มีขนาดสั้นมากเมื่อนำไปเปรียบเทียบกับลำดับเบสของยีน

16S rRNA พบว่าลำดับเบสที่ได้มานั้นยังอยู่ในส่วนของยีน 16S rRNA ซึ่งไม่ใช่ลำดับเบสในช่วงของ 16S-23S ITS

ไซยาโนแบคทีเรียในจินต์ส *Synechococcus* ซึ่งประกอบไปด้วย *Synechococcus* sp. SK50, *Synechococcus* sp. SK70 และ *Synechococcus* sp. PD55 ไม่สามารถเพิ่มจำนวนดีเอ็นเอด้วยปฏิกิริยาพิชีอาร์ได้โดยการไพรเมอร์ 16S-1247f กับ 23S-1608r และไพรเมอร์ 1114F กับ 23S-xxr เมื่อพิจารณาลำดับเบสของยีน 16S rRNA (ประพันธ์, 2551) พบว่าไม่มีตำแหน่งที่เป็นคู่สมที่จะทำให้ไพรเมอร์จับกับดีเอ็นเอในส่วนของยีน 16S rRNA ได้

การเพิ่มจำนวนดีเอ็นเอโดยเทคนิคพิชีอาร์บริเวณ IGS ของไฟโคไซยานินโอดีโอปอรอน ไม่สามารถเพิ่มจำนวนกับดีเอ็นเอของไซยาโนแบคทีเรียสายพันธุ์ *Leptolyngbya* sp. PR40, *Scytonema* sp. TP40, *Chroococcidiopsis* sp. PR45, *Phormidium* sp. SK45, *Synechococcus* sp. PD55 และ *Scytonema* sp. TP40-1 ซึ่งอาจเป็นไปได้ว่าปริมาณดีเอ็นเอที่ใช้มามากเกินไป อีกทั้งวิธีการสกัดดีเอ็นเอนจากตัวอย่างที่มีโพลิแซคคาไรด์อยู่สูงอาจจะมีผลต่อการทำงานของเย็น ไฟซ์ในปฏิกิริยาพิชีอาร์ การศึกษาลายพิมพ์ดีเอ็นเอของลำดับเบสช้าต่อเนื่องช่วงสั้นและยาวนั้น พบว่า ในส่วนของลำดับเบสช้าต่อเนื่องช่วงสั้นประกอบไปด้วย ไพรเมอร์ STRR 1A และ STRR 1B ซึ่งเป็นลำดับเบสช้าที่มีความจำเพาะกับกลุ่มที่เป็นเส้นสาย และกลุ่มที่สร้างເຫດເຫດໂຣຊີສ ทำการเพิ่มปริมาณดีเอ็นเอโดยใช้เทคนิคพิชีอาร์ ถึงแม้ว่าลำดับเบสช้าที่ใช้ในการศึกษารึนี้จะมีความจำเพาะเฉพาะเจาะจงกับดีเอ็นเอของไซยาโนแบคทีเรีย เพื่อทดสอบการปนเปื้อนของดีเอ็นเอจากแบคทีเรียที่เจริญร่วมกับตัวอย่างที่ใช้ในการศึกษา จึงได้ใช้ดีเอ็นเอของแบคทีเรีย *Escherichia coli* และ แบคทีเรียปนเปื้อนที่คัดแยกได้จากตัวอย่างไซยาโนแบคทีเรียที่ทำการศึกษา จำนวน 2 ไอโซเลต พบว่าจากการใช้ไพรเมอร์ของลำดับเบสช้าต่อเนื่องช่วงสั้นทั้ง 2 ชนิด ไม่สามารถเพิ่มปริมาณดีเอ็นเอของแบคทีเรียที่ใช้ทดสอบได้ เนื่องจากลำดับเบสช้าที่ใช้ในการศึกษานี้พบว่าอยู่ในบริเวณที่ใกล้เคียงกับ *cpe operon* และ *apc operon* ซึ่งเป็นกลุ่มยีนที่เกี่ยวข้องกับการสังเคราะห์รังควัตฤกุล *phycobilin* (Mazel et al., 1990)

จากนั้นจึงทำการทดสอบหาสภาวะที่เหมาะสม เพื่อจะได้ลายพิมพ์ดีเอ็นเอที่มีความคงชัดโดยการทดลองหาอุณหภูมิที่เหมาะสมในขั้น annealing ของปฏิกิริยาพิชีอาร์ ระหว่าง 50-60 °C ซึ่งคำนวณจากลำดับเบสของไพรเมอร์ที่ใช้ในการทดลอง โดยใช้เทคนิค Gradient PCR ซึ่งสามารถใช้ศึกษาปฏิกิริยาของพิชีอาร์โดยใช้อุณหภูมิในขั้น annealing ได้หลายอุณหภูมิภายในปฏิกิริยาเพียงครั้งเดียว พบว่าอุณหภูมิที่เหมาะสมอยู่ระหว่าง 55-56 องศาเซลเซียส และได้ทดลองนานเวลาที่เหมาะสมในปฏิกิริยาขั้นนี้ การใช้เวลาเพียง 1 นาที ก็เพียงพอที่จะทำให้เกิดแบบดีเอ็นเอที่มีความคงชัด

ความหลากหลายของไซยาโนแบคทีเรียน้ำพุร้อนของประเทศไทย

ตัวอย่างไซยาโนแบคทีเรีย 11 สายพันธุ์ จัดอยู่ใน Order Oscillatoria เป็นส่วนใหญ่ ได้แก่ *Phormidium* sp. SK45, *Phormidium* sp. PD40, *Phormidium* sp. PR40, *Scytonema* sp. TP40, *Scytonema* sp. TP40-1, *Leptolyngbya* sp. PR40 และ *Oscillatoria* sp. KC45 และใน Order Chroococcales ได้แก่ *Synechococcus* sp. SK70, *Synechococcus* sp. SK50, *Synechococcus* sp. PD55 และ *Chroococcidiopsis* sp. PR45 ที่เก็บไว้ใน culture collection ของห้องวิจัยสาหร่าย ประยุกต์ ภาควิชาชีววิทยา คณะวิทยาศาสตร์ มหาวิทยาลัยเชียงใหม่ ที่เก็บรวบรวมจากแหล่งน้ำพุร้อนทั่วประเทศ ได้ถูกนำมาศึกษาความหลากหลายทางด้านพันธุกรรมเนื่องจากเป็นกลุ่มที่เป็นชนิดเด่น พบได้ตามน้ำพุร้อนของประเทศไทย (Sompong, 2006)

ผลที่ได้จากการเปรียบเทียบลำดับเบสของไซยาโนแบคทีเรียน้ำพุร้อนในประเทศไทย เมื่อพิจารณาจากความแตกต่างของลำดับเบสที่ได้จากการศึกษา กับลำดับเบสของไซยาโนแบคทีเรียที่มีอยู่ในฐานข้อมูลของ NCBI (ภาคผนวก จ) พบว่าส่วนใหญ่มีความเหมือนกับลำดับเบสของไซยาโนแบคทีเรียที่มีอยู่ในฐานข้อมูลข้อนี้ข้างต่อไป ซึ่งแสดงว่าไซยาโนแบคทีเรียที่พบในประเทศไทยมีความแตกต่างจากไซยาโนแบคทีเรียที่พบในแหล่งอื่นๆ

ความพยายามในการใช้เทคนิคพีซีอาร์เพื่อเพิ่มชิ้นส่วนดีเอ็นเอของยีน 16S rRNA จากไซยาโนแบคทีเรียน้ำพุร้อน ไม่ค่อยประสบความสำเร็จมากนัก ปานกลางและคณะ (2550) สามารถเพิ่มชิ้นส่วนดีเอ็นเอของ 16S rRNA ได้เพียง 5 สายพันธุ์ ต่อมาประพันธ์ (2551) สามารถเพิ่มชิ้นส่วนดีเอ็นเอของ 16S rRNA ได้อีก 5 สายพันธุ์ ไพรเมอร์ที่ใช้ในงานวิจัยเหล่านี้เป็นไพรเมอร์ที่เคยมีการใช้งานกับไซยาโนแบคทีเรย์มาแล้ว (Wilmottet et al., 1993; Neiland et al., 1997; Rocap et al., 2002) แต่กลับไม่ค่อยมีความเหมาะสมกับไซยาโนแบคทีเรียจากน้ำพุร้อนจากประเทศไทย ลำดับเบสของ 16S rRNA ที่ได้ประกอบกับข้อมูลเกี่ยวกับ 16S-23S ITS ในงานวิจัยนี้แสดงให้เห็นว่าไซยาโนแบคทีเรียแต่ละกลุ่มนี้มีความผันแปรค่อนข้างสูง และไซยาโนแบคทีเรียน้ำพุร้อนจากประเทศไทยมีความแตกต่างจากไซยาโนแบคทีเรียที่มีการศึกษาในต่างประเทศ จำเป็นต้องมีการศึกษาเพิ่มเติมถึงความหลากหลายในระดับอนุชีววิทยาของสิ่งมีชีวิตกลุ่มนี้ต่อไป

ในไซยาโนแบคทีเรียสายพันธุ์ *Oscillatoria* sp. KC45 ที่เก็บตัวอย่างมาจากบ่อน้ำพุร้อนในจังหวัดพังงา จากการวิเคราะห์ลำดับบริเวณ IGS ของไฟโคไซยานิน ไม่พบว่ามีความเหมือนกับสิ่งมีชีวิตใดเลย ซึ่งไฟโคไซยานินโอดีปอรอนนี้จะพบได้ในไซยาโนแบคทีเรียเพราเมหนาที่เกี่ยวข้องกับการสังเคราะห์แสง จึงมั่นใจได้ว่าลำดับเบสของไซยาโนแบคทีเรียสายพันธุ์นี้ไม่ได้มาจากดีเอ็นเอของแบคทีเรียที่ปนเปื้อนระหว่างการเพาะเลี้ยง ซึ่งการทำการศึกษาต่อถึงลักษณะ

ทางสัมฐานวิทยา ประกอบกับลักษณะทางพันธุกรรมซึ่งเป็นไปได้ว่าอาจจะเป็น *Oscillatoria* sp. ที่มีความแตกต่างจากชนิดอื่นหรืออาจจะเป็นชนิดใหม่ที่พบเฉพาะในประเทศไทย

ผลจากการเปรียบเทียบลำดับเบสนิวเคลียร์ 16S-23S ITS พบร่วมกับ *Leptolyngbya* sp. PR40, *Phormidium* sp. PR40, *Scytonema* sp. TP40 และ *Scytonema* sp. TP40-1 มีความเหมือนกับลำดับเบสของ *Leptolyngbya* sp. PR40 ในจีโนทิป *Leptolyngbya* อยู่ระหว่าง 89-97%

ความสัมพันธ์ทางไฟโลเจนเดติกของไซยาโนแบคทีเรียน้ำพุร้อนในประเทศไทย

จากแผนภูมิความสัมพันธ์ทางไฟโลเจนเดติกที่ได้ จำแนกออกเป็นแผนภูมิของยืนมากกว่าจะเป็นแผนภูมิของสปีชีส์ เนื่องจากการจัดจำแนกโดยใช้ลักษณะทางสัมฐานวิทยา ไม่สอดคล้องกับการจัดจำแนกโดยใช้ลักษณะทางพันธุกรรม โดยความสัมพันธ์ทางไฟโลเจนเดติกของไซยาโนแบคทีเรียนี้ควรจะอยู่บนพื้นฐานของความคล้ายคลึงกันแบบจำเพาะเช่นในยืน 16S rRNA ซึ่งมีอยู่ในสิ่งมีชีวิตทุกชนิด ไม่เพียงแต่ออาศัยความคล้ายคลึงโดยรวมของลักษณะที่พิเศษ เช่น ไฟฟ้าในไทย การจัดจำแนกโดยใช้ลักษณะทางสัมฐานวิทยาแต่เพียงอย่างเดียวอาจจะนักลิงความสัมพันธ์ทางวิวัฒนาการได้ไม่ชัดเจน ไซยาโนแบคทีเรียนางสายพันธุ์อาจจะมีการปรับตัวให้เข้ากับสภาพแวดล้อมที่อาศัยอยู่ ซึ่งมีความสัมพันธ์กับสารอาหารที่ใช้ในการดำรงชีวิต ลักษณะภูมิประเทศหรือสภาพอากาศ รวมทั้งปัจจัยที่เกี่ยวข้องกับการเจริญ เช่น ปัจจัยทางกายภาพ (Ward *et al.*, 1998) หรือการเกิดวิวัฒนาการแบบเข้าหากัน กล่าวคือ ไซยาโนแบคทีเรียนบางชนิดอาจจะไม่ได้มีบรรพบุรุษร่วมเดียวกัน (common ancestor) แต่มีรูปร่างคล้ายคลึงกัน เพราะอาศัยอยู่ในสิ่งแวดล้อมเดียวกันหรือสภาพภูมิประเทศแบบเดียวกัน ลักษณะแบบนี้จะพบเห็นได้ชัดเจนในสิ่งมีชีวิตพากย์ครีโอด จนบางครั้งรูปร่างอาจจะเปลี่ยนแปลงไปจากเดิม ส่วนในไซยาโนแบคทีเรียที่เก็บตัวอย่างจากสิ่งแวดล้อมตามธรรมชาติ เมื่อนำมาเพาะเลี้ยงบางสายพันธุ์รูปร่างจะเปลี่ยนแปลงไปด้วย

ในปัจจุบันนี้การศึกษาอนุกรมวิธานแบบ polyphasic ในไซยาโนแบคทีเรียมีความสำคัญมากขึ้น เนื่องมาจากการมีข้อมูลทางพันธุกรรมหรือลำดับเบสของดีเอ็นเอจากยืนต่างๆ เพิ่มมากขึ้น การเข้าถึงข้อมูลเหล่านี้จึงนำไปสู่การพัฒนาการจัดจำแนกไซยาโนแบคทีเรีย โดยการใช้ลักษณะทางสัมฐานวิทยาร่วมกับลักษณะทางพันธุกรรม การจัดจำแนกไซยาโนแบคทีเรียโดยใช้ออนุกรมวิธานแบบ polyphasic จึงมีความสำคัญมากขึ้นในปัจจุบันและเป็นที่น่าเชื่อถือมากกว่าการจัดจำแนกจาก การใช้ลักษณะทางสัมฐานวิทยาแต่เพียงอย่างเดียว

การศึกษาลายพิมพ์ดีเอ็นเอของลำดับเบสช้าต่อเนื่องช่วงสั้นและยาว

สำหรับลำดับเบสช้าต่อเนื่องช่วงสั้นและยาว ที่ใช้ในการศึกษาลายพิมพ์ดีเอ็นเอของจีโนมไซยาโนแบคทีเรีย โดยการศึกษาครั้งนี้ ใช้ไฟรเมอร์จากการศึกษาของ Rasmussen and Svenning (1998) คือ STRR 1A, STRR 1B, LTRR 1 และ LTRR 2 ลำดับเบสช้าต่อเนื่องช่วงสั้นและยาวเริ่มศึกษาโดย Mazel *et al.* (1990) และ Masepohl *et al.* (1996) ตามลำดับ ซึ่งลำดับเบสของ STRR ไฟรเมอร์นี้ Rasmussen and Svenning ได้ออกแบบมาจากลำดับเบสที่พบในไซยาโนแบคทีเรียจาก การศึกษาของ Mazel และคณะ ซึ่งแบ่งออกเป็นสองส่วน ส่วนที่เป็น STRR 1A ซึ่งจะมีความจำเพาะกับลำดับเบสของตัวแทนง STRR1 และไฟรเมอร์ STRR 1B ซึ่งเป็นไฟรเมอร์ที่ออกแบบมาให้มีลำดับเบสที่เป็นคู่สัมภับ STRR 1A ซึ่งลำดับเบสกลุ่มนี้จะมีความจำเพาะกับไซยาโนแบคทีเรียที่เป็นเส้นสาย และกลุ่มที่สร้างเซลล์หอโรซิส

จากการทดลองพบว่า ลายพิมพ์ดีเอ็นเอที่ได้จากการศึกษาโดยใช้ไฟรเมอร์ STRR 1A จะสามารถเกิดແດบดีเอ็นเอบนขนาดระหว่าง 300 - 3,000 bp กับไซยาโนแบคทีเรีย *Scytonema* sp. TP 40-1, *Leptolyngbya* sp. PR 40, *Phormidium* sp. PD 40, *Scytonema* sp. TP 40, *Phormidium* sp. PR 40, *Synechococcus* sp. PD 55 และ *Phormidium* sp. SK 45 ในส่วนของการใช้ไฟรเมอร์ STRR 1B ผลิตภัณฑ์ที่ได้มีขนาดระหว่าง 200 - 3,500 bp จากไซยาโนแบคทีเรียนิดเดียวกับที่ได้จากการไฟรเมอร์ STRR 1A และจาก *Synechococcus* sp. SK50 ซึ่งไม่ได้ແດบดีเอ็นเอกับไฟรเมอร์ STRR 1A

ไซยาโนแบคทีเรียที่ได้ແດบดีเอ็นเอส่วนใหญ่อยู่ใน Order Oscillatoriales และ Nostocales ซึ่งเป็นกลุ่มที่เป็นเส้นสายและสร้างเซลล์หอโรซิส ตามลำดับ อย่างไรก็ตามไฟรเมอร์ STRR ทั้งสองชนิดทำให้เกิดແດบดีเอ็นเอกับ *Phormidium* sp. SK 45, *Synechococcus* sp. PD 55 ซึ่งอยู่ใน Order Chroococcales ซึ่งมีรูปร่างเป็นเซลล์เดี่ยวๆ แม้ว่าจะไม่สอดคล้องกับการศึกษาของ Rasmussen and Svenning (1998) ที่กล่าวว่า ลำดับเบสช้าต่อเนื่องช่วงสั้นนี้จะมีความจำเพาะกับกลุ่มที่เป็นเส้นสายและสร้างเซลล์หอโรซิส แต่ถ้าในจีโนมนั้นมี %GC สูงๆ ก็จะมีโอกาสที่จะเกิดແດบดีเอ็นเอขึ้นได้หลักจากผ่านปฏิกิริยาพิชาร์เน่ของไฟรเมอร์ที่ใช้นั้นมีสัดส่วนของเบส GC อยู่ก่อนข้างสูง (Mazel *et al.*, 1990) โดยในจีโนมของ *Thermosynechococcus elongatus* BP-1 ซึ่งเป็นไซยาโนแบคทีเรียที่ทนอุณหภูมิสูง พบว่ามี %GC อยู่ประมาณ 54% (Nakamura *et al.*, 2002)

การใช้ไฟรเมอร์ STRR 1B พบว่าແດบดีเอ็นเอที่ได้มีความหลากหลายมากกว่าในการใช้ไฟรเมอร์ STRR 1A คือได้จำนวนดีเอ็นเอทั้งหมด 20 ແດบ เมื่อเทียบกับไฟรเมอร์ STRR 1A ที่ได้ชิ้นดีเอ็นเอทั้งหมด 15 ແດบ จากการที่ไฟรเมอร์ STRR 1A และ STRR 1B มีลำดับเบสคู่สัมภันน์นี้คือไฟรเมอร์ทั้งสองชนิด จะจับบนดีเอ็นเอต้นแบบที่คำแห่งเดียวกัน แต่จะทำให้เกิด amplification

ไปในทิศทางตรงกันข้าม แสดงว่าทิศทางและการกระจายตัวของ STRR1 บนจีโนมของไซยาโนแบคทีเรียนนำพร้อน เอื้อต่อการเพิ่มจำนวนโดยการใช้ไฟรเมอร์ STRR 1B มากกว่า STRR 1A

การจัดกลุ่มความสัมพันธ์โดยใช้ cluster analysis

แบบดีเอ็นเอที่ได้จากการใช้ไฟรเมอร์ STRR 1A และ STRR 1B ถึงแม้จะมีความหลากหลายแตกต่างกัน แต่เมื่อนำมาจัดกลุ่มความสัมพันธ์แล้วพบว่า ตำแหน่งของแต่ละจีนัสในแผนภูมิความสัมพันธ์ทั้งสองแบบไม่มีความแตกต่างกัน แต่ในกลุ่มของ *Synechococcus* มีตำแหน่งแตกต่างกัน อาจเป็นไปได้ว่าเทคนิคการศึกษาลายพิมพ์ดีเอ็นเอ จากลำดับเบสช้าต่อเนื่องช่วงสั้นนี้ มีความละเอียดในการบ่งชี้ความแตกต่างสูงหมายที่จะใช้ศึกษาในระดับของกลุ่มที่อยู่ในจีนัสเดียวกัน แต่มีความแตกต่างของสปีชีส์ เมื่อนำมาใช้ศึกษาความแตกต่างของไซยาโนแบคทีเรียหลายกลุ่มจึงทำให้ความเหมาะสมในการจัดจำแนก มีผลกับเฉพาะจีนัส *Synechococcus* เท่านั้น

จากการศึกษาของ Chonudomkul *et al.* (2004) ได้ออกแบบไฟรเมอร์เพิ่มเติมจากการศึกษาของ Mazel *et al.* (1990) จากลำดับเบสช้าต่อเนื่องช่วงสั้น STRR1 โดยใช้ไฟรเมอร์สองชนิดร่วมกัน ที่เป็นทั้ง forward และ reward ไฟรเมอร์ที่ไม่ใช่ลำดับเบสที่เป็นคู่สูงกันเองในปฏิกิริยาพิชีอาร์ในครั้งเดียวเพื่อให้มีโอกาสเกิดแบบดีเอ็นเอได้มากขึ้น งานนี้ทำการวิเคราะห์จัดกลุ่มความสัมพันธ์ จากแบบดีเอ็นเอที่ได้โดยใช้ neighbor joining method พบว่าในบางกลุ่มความสัมพันธ์ภายในกลุ่มเดียวกันไม่สอดคล้องกับลักษณะทางสัณฐานวิทยา ในการทดลองครั้งนี้ทำการวิเคราะห์แบบดีเอ็นเอที่เกิดบนเจลโดยใช้โปรแกรม Gel Analysis Software บริษัท SYNGENE เป็นโปรแกรมวิเคราะห์ซึ่งมีความแม่นยำในการอ่านค่าและประมาณผลแทนที่เกิดขึ้นจริง Guevara *et al.* (2002) ได้ใช้ลำดับเบสช้า STRR นี้ในการศึกษาความหลากหลายของลายพิมพ์ดีเอ็นเอใน *Nostoc* ซึ่งเจริญอยู่ร่วมกับ *Gunnera tinctoria* จากตัวอย่างที่เก็บจากพืชอาศัยที่นาจากสถานที่แตกต่างกัน โดยพบว่า การศึกษา cluster analysis โดยใช้ UPGMA ถึงแม้จะเป็นจีนัสเดียวกันแต่ความสัมพันธ์ระหว่าง *Nostoc* ที่มาจากพืชอาศัยหรือสถานที่เก็บตัวอย่างไม่มีความสัมพันธ์กัน

ลำดับเบสช้าต่อเนื่องช่วงยาวของไฟรเมอร์ LTRR 1 และ LTRR 2 ที่ใช้ในการศึกษาในครั้งนี้ซึ่งมาจากการศึกษาของ Masepohl *et al.* (1996) โดย Rasmussen and Svennning ได้แบ่งออกเป็นสองส่วนคือ LTRR 1 เป็นลำดับเบสที่เป็น forward primer ไปทาง 5' และ LTRR 2 ซึ่งเป็นลำดับเบสที่เป็น reward primer ไปทาง 3' ของลำดับเบสช้าต่อเนื่องบริเวณที่ทำการศึกษา เนื่องจากลำดับเบสช้าเหล่านี้มีขนาดที่ยาวมีความผันแปรของเบส การกำหนดสภาพะที่เหมาะสมจึงเป็นไปได้ยาก อย่างไรก็ตามหากตัวอย่างดีเอ็นเอที่ได้มีคุณภาพไม่ดีนักการเพิ่มปริมาณโดยใช้เทคนิคพิชีอาร์ในตำแหน่งหรือบริเวณที่มีความยาวมาก เช่นลำดับเบสช้าต่อเนื่องช่วงยาว อาจทำให้ได้ผลิตภัณฑ์ไม่ดีนัก ในทางตรงกันข้ามหากเลือกศึกษาริเวณลำดับเบสช้าที่มีความยาวไม่นาน อย่างเช่นลำดับ

เบสช้ำต่อเนื่องช่วงสั้น ซึ่งบริเวณดังกล่าวมีขนาดไม่ใหญ่นัก โอกาสที่ไฟรเมอร์จะจับบนจีโนมย่อมมีโอกาสสำเร็จครบถ้วนมากกว่าลำดับเบสช้ำที่มีความยาวมากๆ (ธนาธิร์, 2538) หรืออาจเนื่องมาจากเดี๋ยวนี้เองของไซยาโนเบคที่เรียนน้ำพุร้อนที่ใช้ในการศึกษาครั้งนี้ไม่มีตำแหน่งของลำดับเบสช้ำต่อเนื่องช่วงยาวที่ใช้ในการศึกษาในครั้งนี้

การจัดกลุ่มความสัมพันธ์ที่ทำการทดลองครั้งนี้ พบว่าจะมีความแตกต่าง และไม่สัมพันธ์กับการจัดจำแนกโดยใช้ลักษณะทางสัณฐานวิทยา เนื่องจากจากไซยาโนเบคที่เรียเป็นสิ่งมีชีวิตที่มีวิวัฒนาการมานานทำให้มีความหลากหลายสูง มีการเปลี่ยนแปลงลักษณะบางประการและสามารถดำรงชีวิตอยู่ได้ในหลายสภาพวะ การใช้เพียงลักษณะทางสัณฐานวิทยาแต่เพียงอย่างเดียวจึงอาจทำให้เกิดความคลาดเคลื่อนในการจัดจำแนกได้ การที่ไซยาโนเบคที่เรียบลักษณะทางสัณฐานวิทยาที่เหมือนกัน แต่อาจจะมีความผันแปร และความหลากหลายทางพันธุกรรมมากกว่าลักษณะพื้นเหินจากภายนอก การจัดกลุ่มความสัมพันธ์โดยใช้ลักษณะความคล้ายคลึงของเดี๋ยวนี้เอง จึงอาจทำให้เกิดความขัดแย้งขึ้นได้

อย่างไรก็ตาม การศึกษารายพิมพ์เดี๋ยวนี้เองของลำดับเบสช้ำต่อเนื่องช่วงสั้นและยาวในไซยาโนเบคที่เรียนจากน้ำพุร้อนในครั้งนี้ เป็นเพียงเทคนิควิธีที่ช่วยบ่งชี้ความแตกต่างอย่างรวดเร็วของสิ่งมีชีวิตแต่ละกลุ่มเท่านั้นยังไม่สามารถใช้ในการจัดจำแนกได้ การมีข้อมูลรายพิมพ์เดี๋ยวนี้เองเป็นข้อมูลประกอบที่ใช้ในการพิจารณาจัดจำแนก อีกทั้งลำดับเดี๋ยวนี้เองหรือยืนที่ใช้เป็น marker ก็มีส่วนสำคัญที่จะบ่งบอกความแตกต่างขึ้นอยู่กับระดับของการจัดจำแนก และความหมายของกลุ่มตัวอย่าง การเลือกใช้เดี๋ยวนี้เองส่วนที่มีความสามารถในการบ่งบอกความแตกต่างของสิ่งมีชีวิตแต่ละชนิดจึงมีความสำคัญเช่นกัน จึงควรทำการศึกษาควบคู่ไปกับการวิเคราะห์ลำดับเบสของยีน หรือทำการวิเคราะห์หาลำดับเบสของแบบเดี๋ยวนี้ที่ได้เพื่อเป็นการยืนยันว่าเป็นลำดับเบสช้ำต่อเนื่อง ที่ต้องการศึกษาจริง ซึ่งจะมีความถูกต้องแม่นยำและศึกษาความสัมพันธ์ระหว่างกลุ่มสิ่งมีชีวิตต่างๆ ได้อย่างสมบูรณ์ต่อไป

บทที่ 6

ปัญหา อุปสรรค และแนวทางแก้ไข

ในการศึกษาการศึกษาความหลากหลายทางพันธุกรรม และความสัมพันธ์ทางไฟโลเจนติก จาก ลำดับเบสของดีเอ็นเอบริเวณ 16S-23S internal transcribed spacer (16S-23S ITS) และ intergenic spacer (PC-IGS) ของไฟโโคไซดานิน ໂອເປ່ອຮອນຈາກໄຊຍາໂນແບຄທີເຣີນ້າພູ້ອັນ ແລະ การศึกษาลายพิมพ์ດີເອັນເອຂອງລຳດັບເບສໍ້າຕ່ອນເນື່ອງຫ່ວງສັນແລະຍາວ (STRR and LTRR) ປັບປຸງພາຍໃນຕາງໆ

ตาราง 11 ແສດງປັບປຸງພາຍໃນຕາງໆ

ປັບປຸງພາຍໃນຕາງໆ	แนวทางแก้ไข
1. ເກີດການປັນເປື້ອນຂອງແບຄທີເຣີນ້າພູ້ອັນ ຮ່ວມກັນໄຊຍາໂນແບຄທີເຣີນ້າພູ້ອັນ ການສຶກສາ	1. ດັດແຍກໄຊຍາໂນແບຄທີເຣີນ້າພູ້ອັນ ແບຄທີເຣີນ້າພູ້ອັນ ໂດຍນໍາ ອາຫານທີ່ເພື່ອເລືອດໄກໄຊຍາໂນແບຄທີເຣີນ້າພູ້ອັນ ໃຫ້ເພີ້ມເປົ້າເຫຼືອລາກໄຊຍາໂນແບຄທີເຣີນ້າພູ້ອັນ ເສັ້ນສາຍບນອາຫານແຊັງ D medium ສຶກສາກາຍໄດ້ ກລັອງຈຸລທຽບແບນສເຕຣີໂອເລືອດເປົ້າເສັ້ນສາຍ ເດືອນ ໃນຫ່ວງປ່າຍຂອງເສັ້ນສາຍ ນຳມາເພັະເລື້ອງ ໃນ flask ອາຫານ D medium - ຖດສອບການປັນເປື້ອນຂອງເຫຼືອແບຄທີເຣີນ້າພູ້ອັນ ອາຫານທີ່ເພື່ອເລື້ອງນາ streak ຢ້ອງ spread ບນ ອາຫານແຊັງ LB plate ປັ່ນທີ່ອຸົມຫກູນ 40 ຮ້ອງ 50 ອອງຄາເຊລເຊີຍສ ໃນສກາວະເດີວັນກັນການເພື່ອເລື້ອງ ສາຫວ່າຍສາຍພັນຖຸທີ່ນຳມາທົດສອນຄ້າພັບວ່າມີການ ເຈີ່ງຂອງແບຄທີເຣີນ້າພູ້ອັນຮ່ວມດ້ວຍ ຕ້ອງກລັບໄປທໍາ ການແຍກແພັະເລື້ອງໃໝ່ອີກຄັ້ງ

ตาราง 11 (ต่อ)

ปัญหา อุปสรรค	แนวทางแก้ไข
2. การสกัดดีเอ็นเอ จากตัวอย่างทำได้ยาก เนื่องจากผนังเซลล์หนาและมีเมือกหุ้มอยู่	2. ปรับปรุงวิธีการสกัดดีเอ็นเอจากที่ใช้กับตัวอย่างพืชที่มียางและโพลีแซคคาไรด์อยู่สูง โดยใช้ CTAB และ PVPP เข้าช่วยเป็นส่วนผสมใน extraction buffer แล้วบ่มที่อุณหภูมิ 65 องศาเซลเซียส โดยไม่จำเป็นต้องใช้ออนไซزم์ lysozyme หรือ proteinase K ซึ่งมีราคาแพง
3. การหาสภาวะที่เหมาะสมในปฏิกริยาพีซี อาร์เพื่อสร้างลายพิมพ์ดีเอ็นเอจากลำดับเบสชั้ต่อเนื่องช่วงสั้น และช่วงยาว	3. ทำการทดลองหาสภาวะที่เหมาะสมโดยเฉพาะอย่างยิ่ง อุณหภูมิที่ใช้ในขั้น annealing ในปฏิกริยาโดยใช้เทคนิค gradient PCR ซึ่งทำให้สามารถศึกษาช่วงของอุณหภูมิที่หลากหลายได้ในการทำงานของ Thermal cycle เพียงครั้งเดียว
4. ไม่เกิดແບບดีเอ็นเอหลังปฏิกริยาพีซีอาร์ กับไฟรเมอร์ของลำดับเบสชั้ต่อเนื่องช่วงยาว	4. ทำการทดลองหาสภาวะที่เหมาะสมโดยใช้เทคนิค gradient PCR และ Hot start PCR ร่วมกันเพื่อให้เกิด PCR product
5. การตรวจสอบແบนดีเอ็นเอที่ได้โดยใช้ agarose gel electrophoresis ได้ลักษณะແบนที่มีหลายขนาด ทำให้ยากในการตรวจสอบโดยผู้ทดลอง	5. เนื่องจากແບບดีเอ็นเอทุกແบนมีความสำคัญในการใช้ศึกษาความสัมพันธ์ใน cluster analysis จึงใช้โปรแกรมสำเร็จรูป Gel Analysis Software Version 3.06 (d) เพื่อให้การอ่านตำแหน่งที่เกิดลายพิมพ์ดีเอ็นเอมีความสม่ำเสมอมากกว่าการอ่านโดยสายตาของผู้ทดลอง
6. ลำดับเบสชั้ต่อเนื่องที่ใช้ในการศึกษาเป็นลายพิมพ์ดีเอ็นเอมีความละเอียดในการจัดจำแนกสูง ทำให้ความสัมพันธ์ของ dendrogram ไม่สอดคล้องกับการจัดจำแนกในระดับของ Order	6. เนื่องจากการจัดกลุ่มความสัมพันธ์โดยใช้ cluster analysis เป็นเพียงการศึกษาความแตกต่างเบื้องต้นจึงอาจจะใช้วิธีการอื่นๆ ที่มีความละเอียดสูงกว่า อีกทั้งลำดับเบสที่ใช้มีความจำเพาะและมีความเหมาะสมมีผลกับเฉพาะไซโนเบนคที่เรียจินัสเดียวกันเท่านั้น จึงควรใช้ลำดับเบสชั้ต่อเนื่องที่มีความสอดคล้องกับการจัดจำแนกในระดับของ dendrogram แต่ต่างสเปชีสจะมีความเหมาะสมมากกว่า

ตาราง 11 (ต่อ)

ปัญหา อุปสรรค	แนวทางแก้ไข
7. ไพรเมอร์ที่ใช้เพิ่มปริมาณดีเอ็นเอของ 16S-23S ITS ที่ใช้ในการทดลองไม่สามารถเพิ่มปริมาณดีเอ็นเอได้กับไซยาโนแบคทีเรียในจินต์ <i>Synechococcus</i> spp. ซึ่งมีจำนวน 3 สายพันธุ์	7. สามารถใช้ผลของลำดับเบสของยีน 16S rRNA สามารถใช้ลำดับเบสที่ได้ออกแบบไพรเมอร์ที่จะมีความจำเพาะต่อไซยาโนแบคทีเรียจินต์ <i>Synechococcus</i> และเลือกใช้ไพรเมอร์ของยีน 23S rRNA ซึ่งจะสามารถคลอบคลุนช่วงของ ITS ที่อยู่ระหว่าง 16S และ 23S ได้ - ทำการโคลนชิ้นเพลิตภัทพีซีอาร์ที่ได้ ก่อนส่งตัวอย่างที่เป็นพลาสมิดไปอ่านลำดับเบส จะสามารถอ่านลำดับเบสได้ยาวขึ้น
- ลำดับเบสที่ได้จากการอ่านโดยเครื่องอ่านอัตโนมัติมีขนาดสั้น และยังอยู่ในช่วงของยีน 16S rRNA	
8. ไพรเมอร์ที่ใช้ในการเพิ่มปริมาณดีเอ็นเอของไฟโโคไซยาโน ไอเปอรอน (PC-IGS) สามารถเพิ่มปริมาณดีเอ็นเอของไซยาโนแบคทีเรียได้เพียง 5 สายพันธุ์	8. ทำการเลือกใช้และเจือจางปริมาณดีเอ็นเอ ให้เหมาะสมในปฏิกริยาของพีซีอาร์ อาจจะกระทำโดยการใช้อุณหภูมิต่ำๆ ในขั้น annealing ของปฏิกริยาพีซีอาร์ แล้วใช้เป็นต้นแบบในการเพิ่มปริมาณดีเอ็นเอในครั้งต่อไป โดยใช้อุณหภูมิที่สูงขึ้นเพื่อความจำเพาะเจาะจง
9. ข้อมูลลำดับเบสในฐานข้อมูลของยีน 16S-23S ITS และ PC-IGS ของไซยาโนแบคทีเรียที่มีอยู่ในฐานข้อมูลของ NCBI มีน้อย	9. พยายามส่งผลการอ่านลำดับเบสที่ได้ไปเก็บไว้ในฐานข้อมูลของ NCBI เพื่อใช้อ้างอิงได้อย่างสมบูรณ์ในอนาคต
10. การศึกษาแผนภูมิความสัมพันธ์ทางไฟโลเจนติกของไซยาโนแบคทีเรียที่ได้ไม่สอดคล้องกับการจัดจำแนกโดยใช้ลักษณะทางสัณฐานวิทยา	10. แผนภูมิที่ได้เป็นแผนภูมิของยีน จึงควรทำการศึกษาโดยใช้ข้อมูลจากลำดับเบสของยีน หลายชนิดเพื่อศึกษาความสัมพันธ์และความสอดคล้องของแผนภูมิที่ได้
11. แผนภูมิความสัมพันธ์ที่ได้ จากข้อมูลของลำดับเบสในไซยาโนแบคทีเรียที่เป็นกลุ่มเด่นสายจะมีความสอดคล้องกันระหว่างการจัดกลุ่มความสัมพันธ์โดยใช้ลักษณะทางสัณฐานวิทยาและถ้าใช้ศึกษาความสัมพันธ์ใน	11. เลือกใช้ marker gene ที่มีความเหมาะสมกับกลุ่มของไซยาโนแบคทีเรียที่ทำการศึกษา โดยพิจารณาจากระดับของการจัดจำแนก โดยเลือกใช้ในระดับของ Order จะมีความเหมาะสมกว่าในระดับที่ยีน 16S rRNA มีความเหมาะสม

ตาราง 11 (ต่อ)

ปัญหา อุปสรรค	แนวทางแก้ไข
กลุ่มใหญ่ๆ ซึ่งเป็นตัวแทนของแต่ละจีนัส และ Order จะมีความสัมพันธ์ที่ขัดแย้งกับการจัดจำแนกโดยใช้ลักษณะทางสัณฐานวิทยา	เนื่องจากเป็นบริเวณที่เป็น conserve gene ในส่วนของ PC-IGS มีความจำเพาะเนื่องจากไฟโโคไซยาโนเปرون จะพบได้ในไซยาโนแบคทีเรียทุกชนิดแต่เพิ่มปริมาณของดีอีนเอได้ยากและมีขนาดต่างกัน และใน 16S-23S ITS ซึ่งเป็นบริเวณที่มีความผันแปรสูงในไซยาโนแบคทีเรีย จึงควรระมัดระวังในการเลือกใช้ศึกษาในกลุ่มใหญ่ๆ

เอกสารอ้างอิง

- กาญจนกานน์ ลิ่วม โนมนต์. (2527). สารบรรณ คณะประมง มหาวิทยาลัยเกษตรศาสตร์.
- กาญจน ชาญส่งเวช และ สุทธิรักษ์ นิยมฤทธิ์. (2535). แบนค์ที่เรียสีเขียวแแกมน้ำเงินที่เจริญ ณ อุณหภูมิสูง. *วารสารวิทยาศาสตร์*, 2: 71 – 75.
- กาญจน ชาญส่งเวช, สุทธิรักษ์ นิยมฤทธิ์, ศิริเพ็ญ เวชกรัณย์. (2532). “การวินิจฉัยชนิดของ แบนค์ที่เรียสีน้ำเงินแแกมน้ำเงิน” ประเภทที่เจริญ ณ อุณหภูมิสูงในบ่อน้ำพุร้อนทางภาคเหนือของ ประเทศไทย”. การประชุมวิชาการวิทยาศาสตร์และเทคโนโลยีแห่งประเทศไทย ครั้งที่ 13. มหาวิทยาลัยเชียงใหม่. เชียงใหม่.
- กรมทรัพยากรธรรมชาติ. (2529). การสำรวจแหล่งพลังงานความร้อนใต้พิภพทางภาคเหนือของประเทศไทย. รายงานฉบับสมบูรณ์.
- เจณญา เด่นดวงบริพันธ์. (2547). วงศ์วานวิถีและการเชิงโมเลกุล (molecular phylogenetics) อนุกรรมวิชาน ระบบวิทยา และวงศ์วานวิถีและการ. *วิถีศาสตร์*, 24 (1) : 18-23.
- ธนานิทร์ ภู่พัฒน์. (2538). วิทยาการดีเอ็นเอในงานนิติเวช. *ภาควิชานิติวิทยาศาสตร์ คณะแพทยศาสตร์ มหาวิทยาลัยเชียงใหม่*.
- ยุวดี พิรพรพิศาล. (2549). สารบรรณวิทยา. *ภาควิชาชีววิทยา คณะวิทยาศาสตร์ มหาวิทยาลัยเชียงใหม่*.
- ยุวพี พิรพรพิศาล และ Cumhurกรณ์ นิราศบุตร. (2546). คู่มือปฏิบัติการสารบรรณวิทยา. *ภาควิชาชีววิทยา คณะวิทยาศาสตร์ มหาวิทยาลัยเชียงใหม่*.
- วรารณ์ ปานอยู่. (2545). การแยกและการหาลักษณะเฉพาะของกราฟอุณหภูมิสูงของสารร้ายสีเขียวแแกมน้ำเงินจากน้ำพุร้อนทางแหล่งน้ำร้อนของประเทศไทย.
- วิทยานิพนธ์ วิทยาศาสตร์ ธรรมชาติ สาขาวิชาชีววิทยา มหาวิทยาลัยเชียงใหม่.
- วิรชันนิย์ ภูมิวิทย์. (2534). การศึกษานิคและชีววิทยาของสารร้ายน้ำพุร้อน อ. เข้าชัยสน จ. พัทลุง. *ปัญญาพิเศษวิทยาศาสตร์บัณฑิต มหาวิทยาลัยสงขลานครินทร์*, สงขลา.
- ประพันธ์ ไตรยสุทธิ์. (2551). ความหลากหลายทางพันธุกรรม และความสมดุลทั่วไป โอลิเจนติก ของไชยาโนแบนค์ที่เรียกในน้ำพุร้อน. *วิทยานิพนธ์วิทยาศาสตร์ธรรมชาติ สาขาวิชาชีววิทยา มหาวิทยาลัยเชียงใหม่*.
- ประกสสร สรวัฒนาวรรณ. “การตรวจลายพิมพ์ดีเอ็นเอในพีซ.” [ระบบออนไลน์]. แหล่งที่มา <http://www.gpo.or.th/rdi/htmls/DNAfingerprinting.html> (10 มกราคม 2550).

ประวิทย์ พิทักษ์วานี. (2533). นิเวศวิทยาของสาหร่ายบริเวณน้ำพุร้อนบ้าง ไป่ปั่งช่อง อ. สันกำแพง จ. เชียงใหม่. การค้นคว้าอิสระเชิงวิทยานิพนธ์ วิทยาศาสตร์มหาบัณฑิต สาขาวิชาการสอน ชีววิทยา มหาวิทยาลัยเชียงใหม่ เชียงใหม่.

ปานนูก วัชระปะยะ โสกณ ยุวดี พิรพรพิศาล ประพันธ์ ไตรยสุทธิ์ และสุดาพร คงศิริ. (2550). ลำดับ เบสของยีน 16S rRNA และลายพิมพ์ดีเอ็นเอของไซยาโนแบคทีเรียน้ำพุร้อน. คณะ วิทยาศาสตร์ มหาวิทยาลัยเชียงใหม่.

สารบุรี ไชยมงคล. (2523). คลินทรีย์ในน้ำพุร้อน ไป่ปั่งช่อง ตำบลล่อนหลวง อำเภอสันกำแพง จังหวัดเชียงใหม่. การค้นคว้าอิสระเชิงวิทยานิพนธ์ วิทยาศาสตร์มหาบัณฑิต สาขาวิชาการสอน ชีววิทยา มหาวิทยาลัยเชียงใหม่ เชียงใหม่.

สุรินทร์ ปียะโฉกญาล. (2545). พันธุ์วิเคราะห์เบื้องต้น. (พิมพ์ครั้งที่ 2). กรุงเทพฯ: สำนักพิมพ์ มหาวิทยาลัยเกษตรศาสตร์.

อักษร ศรีเปล่ง. (2527). สาหร่าย ตอนที่ 1: สาหร่ายสีเขียวแกมน้ำเงิน. ภาควิชาพุกนศาสตร์ มหาวิทยาลัยเกษตรศาสตร์: โรงพิมพ์ศูนย์ส่งเสริมและฝึกอบรมการเกษตรแห่งชาติ มหาวิทยาลัยเกษตรศาสตร์ วิทยาเขตกำแพงแสน.

อุดมลักษณ์ สมพงษ์. (2544). ความหลากหลายทางชีวภาพของสาหร่ายในน้ำพุร้อนบางแหล่งใน เขตภาคเหนือตอนบนของประเทศไทย. วิทยานิพนธ์วิทยาศาสตร์มหาบัณฑิต สาขาวิชา ชีววิทยา มหาวิทยาลัยเชียงใหม่.

Adams, D.G. (2000). Symbiotic interactions. In: Whitton, B. A. and Potts, M. (eds.). *The ecology of cyanobacteria their diversity in time and space*, (pp.523–561), Dordrecht: Kluwer Academic Publishers.

Amman, R.I., Ludwig, W. and Schleifer, K.H. (1995). Phylogenetic identification and *in situ* detection of individual cells without cultivation. *Microbiological Reviews*, 59:143-169.

Allewalt, J.P., Bateson, M.M., Revsbech, N.P., Slack, K. and Ward, D.M. (2006). Effect of temperature and light on growth and photosynthesis by *Synechococcus* isolates typical of those predomination in the octopus spring microbial mat community of Yellowstone national park. *Applied and Environmental Microbiology*, 72(1):544-550.

Anagnostidis, K and Komarek, J. (1988). Modern approach to the classification system of cyanobacteria 3. Oscillatoriales. *Archiv für Hydrobiologie/Algological Studies*, 50(53):327-427.

- Anagnostidis, K and Komarek, J. (1990). Modern approach to the classification system of cyanobacteria 5. Stigonematales. *Archiv für Hydrobiologie/Algological Studies*, 59:1-73.
- Ballot, A., Dadheeck, P.K. and Krienitz, L. (2004). Phylogenetic relationship of *Arthrosphaera*, *Phormidium* and *Spirulina* strains from Kenyan and Indian waterbodies. *Algological Studies*, 113:37-56.
- Beltran, E.C. and Neilan, B.A. (2000). Geographical segregation of the neurotoxin-producing cyanobacterium *Anabaena circinalis*. *Applied and Environmental Microbiology*, 66(10):4468-4474.
- Berrendero, E., Perona, E. and Mateo, P. (2008). Genetic and morphological characterization of *Rivularia* and *Calothrix* (Nostocales, Cyanobacteria) from running water. *International Journal of Systematic and Evolutionary Microbiology*, 58(PT2):447-460.
- Bold, H.C. and Wynne, M.J. (1985). *Introduction to the algae*. New Jersey: Prentice-Hall, Inc.
- Boyer, S.L., Flechtner, R.V., and Johansen, R.J. (2001). Is the 16S-23S rRNA internal transcribed spacer region a good tool for use in molecular systematizes and population genetic a case study in cyanobacteria. *Molecular Biology and Evolution*, 18(6):1057-1069.
- Boyer, S.L., Johansen, J.R., and Flechtner, V.R. (2002). Phylogeny and genetic variance in terrestrial *Microcoleus* (Cyanophyceae) species based on sequence analysis of the 16S rRNA gene and associated 16S-23S ITS region. *Journal of Phycology*, 38:1222–1235.
- Brock, T.D. (1966). *Principle of microbial ecology*. New Jersey: Prentice-Hall, Inc.
- Brock, T.D. (1978). *Thermophilic microorganisms and life at high temperatures*. New York: Springer-Verlag.
- Cadel, S.S., Peyraud, T.C., Brient, L., Tandeau De Marsac, N., Rippka, R. and Mejean, A. (2007). Different genotypes of anatoxin-producing cyanobacteria coexist in the Tarn River, France. *Applied and Environmental Microbiology*, 73(23):7605-7614.
- Casamatta, D.A., Johansen, J.R., Vis, M.L. and Broadwater, S.T. (2005). Molecular and morphological characterization of ten polar and near-polar strains within the Oscillatoriales (cyanobacteria). *Journal of Phycology*, 41(2): 421-438.
- Castenholz, R.W. (1981). *Isolation and cultivation of thermophilic cyanobacteria*. in Starr M.P., Stolp, H., Trüper, H.G., Balows, A. and Schlegel, H.G. (eds.), *The prokaryotes: A*

- handbook on habitats, isolation and identification of bacteria: Vol.I, (pp.236-246), New York: Springer-Verlag.
- Castenholz, R.W. (2001). *Cyanobacteria : Oxygenic photosynthesis bacteria*. In: Boone, D.R., and Castenholz, R.W. (eds.) Bergey's manual of systematic bacteriology, (pp.437-599), New York: Springer-Verlag.
- Chang, C., Chang, Y., Underwood, A., Chiou, C. and Kao, C. (2007). VNTRDB: a bacterial variable number tandem repeat locus database. *Nucleic Acids Research*, 35:416-421.
- Chapman, V.J. and Chapman, D.J. (1975). *The algae*. London: The Macmillan press, Ltd.
- Chonudomkul, D., Wongmanitchai, W., Theeragool, G., Kawachi, M., Kasai, F., Kaya, K. and Watanabe, M.M. (2004). Morphology, genetic diversity, temperature tolerance and toxicity of *Cylindrospermopsis raciborskii* (Nostocales, Cyanobacteria) strains from Thailand and Japan. *FEMS Microbiology Ecology*, 201:79-82.
- Doyle, J.J. and Doyle, J.L. (1990). Isolation of plant DNA from fresh tissue. *Focus*, 12:13-15.
- Doers, M.P. and Parker, D.L. (1988). Properties of *Microcystis aeruginosa* and *M. flos-aquae* (Cyanophyta) in culture: taxonomic implication. *Journal of Phycology*, 24:502–508.
- Embry, T.M. and Stackebrandt, E. (1997). *Species in practice: exploring uncultured prokaryote diversity in natural sample*. in Claridge, M.F., Dawah, H.A. and Wilson, M.R. (eds.), Species: The units of biodiversity, (pp.61-68), London: Chapman and Hall.
- Ferris, J.M., Kühl, M., Wieland, A. and Ward, M.D. (2003). Cyanobacterial ecotypes in different optical microenvironments of a 68°C hot spring mat community revealed by 16S-23S rRNA internal transcribed spacer region variation. *Applied and Environmental Microbiology*, 69:2893-2898.
- Finsinger, K., Scholz, I., Serrano, A., Morales, S., Uribe, L.L., Mora, M. Sittenfeld, A., Weckesser, J. and Hess, W.R. (2008). Characterization of true-branching cyanobacteria from geothermal sites and hot springs of Costa Rica. *Environmental Microbiology*, 10(2):460-473.
- Fogg, G.E., Stewart, W.D.P., Fay, P., Walsby, A.E. (1973). *The blue-green algae*. New York: Academic Press-London.
- Fritsch, F.E. (1945). *Structure and reproduction of the algae*, Vol.1. Cambridge: The university Press.

- Gelfand, Y., Rodriguez, A. and Benson, G. (2007). TRDB-the tandem repeats database, *Nucleic Acids Research*, 35: 80-87.
- Guevara, R., Armesto, J.J. and Caru, M. (2002). Genetic diversity of *Nostoc* microsymbionts from *Gunnera tinctoria* revealed by PCR-STR fingerprinting. *Microbiology Ecology*, 44:127-136.
- Gugger, M.F. and Hoffmann, L. (2004). Polyphyly of true branching cyanobacteria (Stigonematales). *International Journal of Systematic and Evolutionary Microbiology*, 54:349-357.
- Hall, T.A. (1999). *BioEdit: a user-friendly biological sequence alignment editor and analysis program for Windows 95/98/NT*. Nucleic Acids Symposium Ser., 41:95-98.
- Haande, S., Ballot, A., Rohrlack, T., Fastner, J., Wiedner, C and Edvardsen, B. (2007). Diversity of *Microcystis aeruginosa* isolates (Chroococcales, Cyanobacteria) from East-African waterbodies. *Archives of Microbiology*, 188(1):15-25.
- Haverkamp, T., Acinas, S.G., Doleman, M., Stomp, M., Huisman, J. and Stal, L.J. (2008). Diversity and phylogeny of Baltic Sea picocyanobacteria inferred from their ITS and phycobiliprotein operons. *Environmental Microbiology*, 10(1):174-188.
- Hongmei, J., Aitchison, J.C., Lacap, D.C., Peerapornpisal, Y., Sompong, U. and Pointing, S.B. (2005). Community phylogenetic analysis of moderately thermophilic cyanobacteria mats from China, the Philippines and Thailand. *Extremophiles*, 9:325-332.
- Ishida, T., Watanabe, M.M., Sugiyama, J. and Yokota, A. (2001). Evidence for polyphyletic origin of the members of the orders of Oscillariales and Pleurocapsales as determined by 16S rDNA analysis. *FEMS Microbiology Ecology*, 201:79-82.
- Ishida, T., Yokota, A. and Sugiyama, J. (1997). Phylogenetic relationships of filamentous cyanobacteria taxa inferred from 16S rRNA sequence divergence. *Journal of General and Applied Microbiology*, 43(4):237-241.
- Iteman, I., Rippka, R., De Marsac, T.N. and Herdman, M. (2000). Comparison of conserved structural and regulatory domains within divergent 16S rRNA-23S rRNA spacer sequences of cyanobacteria. *Microbiology*, 146:1275-1286.

- Iteman, I., Rippka, R., Tandeau De Marsac, N. and Herdman, M. (2002). rDNA analysis of planktonic heterocystous cyanobacteria, including members of the genera *Anabaenopsis* and *Cyanospira*. *Microbiology*, 148:481-496.
- Jensen, R., van Embden, J.D.A., Gaastra, W. and Schouls, M.L. (2002). Identification of genes that are associated with DNA repeats in prokaryotes. *Molecular Microbiology*, 43(6): 1565-1575.
- Katayama, T., Okamoto, S., Narikawa, R., Fujisawa, T., Kawashima, S., Itoh, M., Ohmori, M. and Kanehisa, M. (2002). Comprehensive analysis of tandem repeat sequences in cyanobacteria genome. *Genome Informatics*, 13:400-401.
- Komarek, J. (2003). *Coccoid and Colonial Cyanobacteria*. In Wehr, J.D. and Sheath, R.F. (eds.), Freshwater algae of North America: Ecology and classification, (pp.59-116), California: Academic Press.
- Komarek, J. and Anagnostidis, K. (1989). Modern approach to the classification system of cyanobacteria 4. Nostocales. *Archiv für Hydrobiologie/Algological Studies*, 56:247-345.
- Komarek, J. and Anagnostidis, K. (1999). *Cyanoprokaryota : Chroococcales, 1. Teil*. Stuttgart: Gustav Fischer Verlag Jena.
- Kumar, S., Tamura, K. and Nei, M. (2004). MEGA 3: Integrated software for molecular evolutionary genetics analysis and sequence alignment. *Briefings in Bioinformatics*, 5:150-163.
- Li, R., Carmichael, W.W., Liu, Y. and Watanabe, M.M. (2000). Taxonomic re-evaluation of *Aphanizomenon flos-aquae* NH-5 based on morphology and 16S rRNA gene sequences. *Hydrobiologia*, 438:99-105.
- Li, Z. and Brand, J. (2007). *Leptolyngbya nodulosa* sp. nov. (Oscillatoriaceae), a subtropical marine cyanobacterium that produces a unique multi-cellular structure. *Phycologia*, 46(4):396-401.
- Ludwig, W., Strunk, O., Klugbauer, N., Weizenegger, M., Neumaier, J., Bachleitner, M. and Schleifer, K.H. (1998). Bacterial phylogeny based on comparative sequence analysis. *Electrophoresis*, 19:554-568.
- Luesch, H., Moore, R.E., Paul, V.J., Mooberry, S.L. and Corbett, T.H. (2001). Isolation of dolastatin 10 from the marine cyanobacterium *Symploca* species VP642 and total

- stereochemistry and biological evaluation of its analogue symplostatin 1. *Journal of Natural Product*, 64(7):907-910.
- Lupski, R.J. and Weinstock, M.G. (1992). Short, interspersed repetitive DNA sequences in prokaryotic genomes. *Journal of Bacteriology*, 174:4525-4529.
- Lyra, C., Suomalainen, S., Gugger, M., Vezie, C., Sundman, P., Paulin, L. And Sivonen, K. (2001). Molecular characterization of planktic cyanobacteria of *Anabaena*, *Aphanizomenon*, *Microcystis* and *Planktothrix* genera. *International Journal of Systematic and Evolutionary Microbiology*, 51(Pt2):513-526.
- Lynch, J.M. and Poole, N.J. (1979). *Extreme environment:microbial ecology: a conceptual approach*. New york: Halsted Press.
- Masepohl, B., Görlitz, K. and Böhme, H. (1996). Long tandemly repeated repetitive (LTRR) sequences in the filamentous cyanobacterium *Anabaena* sp. PCC 7120. *Biochimica et Biophysica Acta*, 1307:26-30.
- Mazel, D., Houmard, J., Castets, A.M. and Tandeau De Marsac, N. (1990). Highly repetitive DNA sequences in cyanobacterial genomes. *Journal of Bacteriology*, 172:2755-2761.
- Muyzer, G., De Waal, E.C. and Uitterlinden, A.G. (1993). Profiling of complex microbial populations by denaturing gradient gel electrophoresis analysis of polymerase chain reaction-amplified genes coding for 16S rRNA. *Applied and Environmental Microbiology*, 59:695-700.
- Nakamura, Y., Kaneko, T., Sato,S., Ikeuchi, M., Katoh, H., Sasamoto, S., Watanabe, A., Iriguchi, M., Kawashima, K., Kimura, T., Kishida, Y., Kiyokawa, C., Kohara, M., Matsumoto, M., Matsuno, A., Nakazaki, N., Shinpo, S., Sugimoto, M., Takeuchi, C., Yamada, M., and Tabata S. (2002). Complete genome structure of the thermophilic cyanobacterium *Thermosynechococcus elongatus* BP-1. *DNA Research*. Aug 31; 9(4):123-130.
- Neilan, B.A. , Jacobs, D. and Goodman, E. A. (1995). Genetic diversity and phylogeny of toxic cyanobacteria determined by DNA polymorphisms within the phycocyanin locus. *Applied and Environmental Microbiology*, 16:3875-3883.
- Neilan, B.A., Jacobs, D., Dot, T.D., Blackall, L.L., Hawkins, P.R., Cox, P.T., and Goodman, A. E. (1997). rRNA sequences and evolutionary relationships among toxic and nontoxic cyanobacteria of the genus *Microcystis*. *International Journal of Systematic Bacteriology*, 47:693-697.

- Nelissen, B., De Baere, R., Wilmotte, A. and De Wachter, R. (1996). Phylogenetic relationship of nonaxenic filamentous cyanobacteria strains based on 16S rRNA sequence analysis. *Journal of Molecular Evolution*, 42(2):194-200.
- Nübel, U., Garcia, P.F. And Muyzer, G. (1997). PCR primers to amplify 16S rRNA genes from cyanobacteria. *Applied and Environmental Microbiology*, 63(8):3327-3332.
- Odum, E.A. (1971). *Fundamental of ecology*. 3rd ed., Philadelphia: W.B. Saundress Company.
- Oliver, R. L. and Ganf, G. G. (2000). *Freshwater blooms*. In: Whitton, B. A. and Potts, M. (eds). *The ecology of cyanobacteria their diversity in time and space*, (pp.149–194), Dordrecht: Kluwer Academic Publishers.
- Olsen Gary. (2000). “Molecular Phylogeny”. [Online]. Available <http://lecturer.ukdw.ac.id/dhira/ClassAndPhylo/molPhylogeny.html> (25 April 2008).
- Oren, A. (2000). *Salts and brines*. In: Whitton, B.A. and Potts, M. (eds). *The ecology of cyanobacteria their diversity in time and space*, (pp.281–306), Dordrecht: Kluwer Academic Publishers.
- Otsuka, S., Suda, S., Li, R., Watanabe, M., Oyaizu, H., Matsumoto, S. and Watanabe, M.M. (1998). 16S rDNA sequences and phylogenetic analyses of *Microcystis* strains with and without phycoerythrin. *FEMS Microbiology Letters*, 164:119-124.
- Otsuka, S., Suda, S., Li, R., Watanabe, M., Oyaizu, H., Matsumoto, S. and Watanabe, M.M. (1999a). Characterization of morphospecies and strains of the genus *Microcystis* (Cyanobacteria) for a reconsideration of species classification. *Phycological Research*, 47: 189–197.
- Otsuka, S., Suda, S., Li, R., Watanabe, M., Oyaizu, H., Matsumoto, S. and Watanabe, M.M. (1999b). Phylogenetic relationships between toxic and non-toxic strains of the genus *Microcystis* based on 16S to 23S internal transcribed spacer sequence. *FEMS Microbiology Letters*, 172:15-21.
- Otsuka, S., Suda, S., Shibata, S., Oyaizu, H., Matsumoto, S. and Watanabe, M.M. (2001). A proposal for the unidentification of five species of the cyanobacteria genus *Microcystis* Kützing ex lemmermann 1907 under the Rules of the Bacteriological Code. *International Journal of Systematic and Evolutionary Microbiology*, 51:873–879.

- Paerl, H.W. (2000). *Marine plankton*. In: Whitton, B.A. and Potts, M. (eds). The ecology of cyanobacteria their diversity in time and space, (pp.121–148), Dordrecht: Kluwer Academic Publishers.
- Page, R.D.M. and Holmes, E.C. (1998). *Molecular evolution: A Phylogenetic Approach*. Cornwall: Blackwell Science Ltd.
- Palinska, K.A., Liesack, E.R. and Krumbein, W.E. (1996). Phenotype variability of identical genotypes: the need for a combined approach in cyanobacterial taxonomy demonstrated on *Mersmopedia*-like isolates. *Archives of Microbiology*, 166:224-233.
- Phillips, N., Smith, C.M. and Morden, W.C. (2001). An effective DNA extraction protocol for brown algae. *Phycologia*, 49: 97-102.
- Premanandh, J., Priya, B., Teneva, I., Dzhambazov, B., Prabaharan, D. and Uma, L. (2006). Molecular characterization of marine cyanobacteria from the Indian subcontinent deduced from sequence analysis of the phycocyanin operon (*cpcB-IGS-cpcA*) and 16S-23S ITS region. *Microbiology*, 44(6):607-616.
- Pointing, S.B., Warren-Rhodes, K.A., Lacap, D.C., Rhodes, K.L. and McKay, C.P. (2007). Hypolithic community shifts occur as a result of liquid water availability along environmental gradients in China's hot and cold hyperarid deserts. *Environmental Microbiology*, 9(2):414-424.
- Rajaniemi, P., Hrouzek, P., Kastovska, K., Willame, R., Rantala, A., Hoffmann, L., Komarek, J. and Sivonen, K. (2005). Phylogenetic and morphological evaluation of the genera *Anabaena*, *Aphanizomenon*, *Trichormus* and *Nostoc* (Nostocales, Cyanobacteria), *International Journal of Systematic and Evolutionary Microbiology*, 55(PT1):11-26.
- Rasmussen, U. and Svenning, M.M. (1998). Fingerprinting of cyanobacterial based on PCR with primers derived from short ad long tandemly repeated repetitive sequences. *Applied and Environmental Microbiology*, 64:265-272.
- Rippka, R. 1988. Recognition and identification of cyanobacteria. *Methods in Enzymology*, 167:28-67.
- Rippka, R., Deruelles, J., Waerbury, J., Herdman, M. and Stanier, R. (1979). Generic assignments, strain histories and properties of pure cultures of cyanobacteria. *Journal of General Microbiology*, 111: 1-61.

- Robertson, R.B., Tezuka, N. and Watanabe, M.M. (2001). Phylogenetic analyses of *Synechococcus* strains (cyanobacteria) using sequences of 16S rDNA and part of the phycocyanin operon reveal multiple evolutionary lines and reflect phycobilin content. *International Journal of Systematic and Evolutionary Microbiology*, 51:861-871.
- Rocap, G., Distel, L.D., Waterbury, B.J. and Chisholm, W.S. (2002). Resolution of *Prochlorococcus* and *Synechococcus* ecotypes by using 16S-23S ribosome DNA internal transcribed spacer sequences. *Applied and Environmental Microbiology*, 68:1180-1191.
- Rouhiainen, L., Sivonen, K., Buikema, W. and Haselkorn, R. (1995). Characterization of toxin-producing cyanobacteria by using an oligonucleotide probe containing a tandemly repeated heptamer. *Journal of Bacteriology*, 177(20): 6021-6026.
- Round, F.E. (1973). *The Biology of the algae*. London: Edward Arnold (Publishers) Ltd.
- Sambrook, J. and Russel, D.W. (2001). *Molecular Cloning: A Laboratory Manual Volume I*, 3th ed., New York: Cold Spring Harbor Laboratory Press.
- Scheldeman, P., Baurain, D., Bouhy, F., Scott, M., Mühling, M., Whitton, B.A., Belay, A. and Wilmotte, A. (1999). *Arthrosphaera ('Spirulina')* strains from four continents are resolved into only two clusters, based on amplified ribosomal DNA restriction analysis of the internally transcribed spacer. *FEMS Microbiology Letter*, 172:213–222.
- Sharples, G.J. and Lloyd, R.G. (1990). A novel repeated DNA sequence located in the intergenic regions of bacterial chromosomes. *Nucleic Acids Research*, 18:6503-6508.
- Smith, G.M. (1950). *The freshwater algae of the United States*. New York: McGraw-Hill book company Inc.
- Sompong, U. (2006). *Morphological and phylogenetic criteria in taxonomic studies of cyanobacteria at some hot spring areas in Thailand*. thesis for doctor of philosophy in biology, Chiang Mai University.
- Stackebrandt, E and Goodfellow, M. (1991). *Nucleic acid techniques in bacterial systematics*. New York: John Wiley & Sons, Inc.
- Stackebrandt, E and Gobel, U.B. (1994). Taxonomic note: a place for DNA-RNA reassociation and 16S rRNA sequence analysis in the present species definition in bacteriology. *Intenational Journal of Systematic Bacteriology*, 4:846-849.

- Stockner, J. G., Callieri, C., and Cronberg, G. (2000). *Picoplankton and other non-bloom forming cyanobacteria in lakes*. In: Whitton, B.A. and Potts, M. (eds). *The ecology of cyanobacteria their diversity in time and space*, (pp.195–238), Dordrecht: Kluwer Academic Publishers.
- Suda, S., Watanabe, M.M., Otsuka, S., Mahakahant, A., Yongmanitchai, W., Nopartnaraporn, N., Liu, Y. and Day, J.G. (2002). Taxonomic revision of water-bloom-forming species of Oscillatorioid cyanobacteria. *International Journal of Systematic and Evolutionary Microbiology*, 52(Pt5):1577-1595.
- Takachi, S., Mochimaru, M., Maoka, T. and Katoh, H. (2005). Myxol and 4-Ketomyxol 2'-Fucosides, not Rhamnosides, from *Anabaena* sp. PCC7120 and *Nostoc punctiforme* PCC73102 and proposal for the biosynthetic pathway of carotenoids. *Plant Cell Physiology*, 46(3):497-504.
- Tandeau De Marsac, N. (1977). Occurrence and nature of chromatic adaptation in cyanobacteria. *Journal of Bacteriology*, 130:82-91.
- Theriot, E. (1989). Phylogenetic systematics for phycology. *Journal of Phycology*, 25:407–411.
- Tamura K, Dudley J, Nei M, Kumar S. (2007). MEGA4 : Molecular Evolutionnary Genetics Analysis (MEGA) softwere version 4.0. *Molecular Biology and Evolution*, 24:1596-1599.
- Turner, S., Huang, T.C. and Chaw, S.M. (2001). Molecular phylogeny of nitrogen-fixing unicellular cyanobacteria. *Botanical Bultatin of Academic Sinica*, 41:181-186.
- Turner, S., Pryer, K.M., Miao, V.P. and Palmer, J.D. (1999). Investigating deep phylogenetic relationships among cyanobacteria and plastids by small subunit rRNA sequence analysis. *Journal of Eukaryotic Microbiology*, 46(4):327-338.
- van Belkum, A., Scherer, S., van Alphen, L. and Verbrugh, H. (1998). Short-sequence DNA repeats in prokaryotic genomes, *Microbiology and Molecular Biology Reviews*, 62(2) : 275-293.
- Versalovic, J., Koeuth, T. and Lupski, R.J. (1991). Distribution of repetitive DNA sequences in eubactria and application to fingerprinting of bacteria genomes. *Nucleic Acids Research*, 19(24):6823-6831.

- Vincent, W.F. (2000). *Cyanobacteria dominance in the polar regions*. In: Whitton, B. A. and Potts, M. (eds). *The ecology of cyanobacteria their diversity in time and space*, (pp.321–340), Dordrecht: Kluwer Academic Publishers.
- Vioque, A. (1997). The RNase P RNA from cyanobacteria : short tandemly repeated repetitive (STRR) sequences are present within the RNase P RNA gene in heterocyst-forming cyanobacteria. *Nucleic Acids Research*, 25(17):3471-3477.
- Ward, A. and Bora, N. (2004). *Workshop on denaturing gradient gel electrophoresis. 4 – 6th May 2004*. Department of Biology. Faculty of Science. Chiang Mai University.
- Ward, D.M. and Castenholz, R.W. (2000). *Cyanobacteria in geothermal habitats*. In: Whitton, B. A. and Potts, M. (eds). *The ecology of cyanobacteria their diversity in time and space*, (pp. 37–59), Dordrecht: Kluwer Academic Publishers.
- Ward, D.M., Ferris, M.J., Nold, S.C. and Bateson, M.M. (1998). A natural view of microbial biodiversity within hot spring cyanobacteria mat communities. *Microbiology and Molecular Biology Reviews*, 62(4):1353-1370.
- Ward, D.M., Weller, R. and Bateson, M.M. (1990). 16S Ribosomal RNA sequences reveal numerous uncultured microorganisms in a natural community. *Nature*, 345:63-65.
- Wattier, R.A., Paulo, A.P. and Christine, A.M. (2000). DNA isolation protocol for red seaweed (Rhodophyta). *Plant Molecular Biology*, 18:275-281.
- Wilmette, A., Van der Auwera, G. and De Wachter, R. (1993). Structure of the 16S ribosomal RNA of the thermophilic cyanobacterium *Chlorogloeopsis* HTF ('*Masgigocladus laminosus* HTF') strain PCC7518, and phylogenetic analysis. *FEBS Letter*, 317:96-100.
- Wilmette, A. (1994). *Molecular evolution and taxonomy of the cyanobacteria*. In: Bryant, D.A. (ed.) *The molecular biology of cyanobacteria*, (pp.1-25), Dordrecht: Kluwer Academic Publishers.
- Whitton, B.A. (2000). *Soils and rice-fields*. In: Whitton, B.A. and Potts, M. (eds). *The ecology of cyanobacteria their diversity in time and space*, (pp.233–255), Dordrecht: Kluwer Academic Publishers.
- Whynn-Williams, D.D. (2000). *Cyanobacteria in deserts – life at the limit?* In: Whitton, B.A. and Potts, M. (eds). *The ecology of cyanobacteria their diversity in time and space*, (pp.341–366), Dordrecht: Kluwer Academic Publishers.

ภาคผนวก ก
อาหารเลี้ยงเชื้อที่ใช้ในการทดสอบ

1. อาหารเลี้ยงเชื้อไชยาโนแมคทีเรีย สูตร medium D (20X) (Castenholz, 1981)

Nitrilotriacetic acid (NTA)	2.00	g
NaCl	0.16	g
KNO ₃	2.06	g
FeCl ₃ (0.2905 g/L)	20	ml
NaNO ₃	13.78	g
CaSO ₄ .2H ₂ O	1.20	g
MgSO ₄ .7H ₂ O	2.00	g
Na ₂ HPO ₄	2.22	g
Nitsch's solution	10	ml
น้ำกลั่นปรับปริมาตรเป็น	1 L	เก็บที่ 4 °C

ก่อนใช้น้ำมานำเข้าจานให้เหลือความเข้มข้นหนึ่งเท่า ปรับ pH เป็น 8.2 นำไปปั่นง่าเชื้อโดยใช้ autoclave ที่อุณหภูมิ 121 °C ความดัน 15 ปอนด์ต่อตารางนิว นาน 15 นาที ถ้าเป็นอาหารแข็ง ให้เติมวุ่น 1.5% ต้มจนวุ่นละลายก่อนนำเข้า autoclave

Nitsch's solution

MnSO ₄ .H ₂ O	2.28	g
H ₃ BO ₃	0.50	g
ZnSO ₄ .7H ₂ O	0.50	g
CoCl ₂ .6H ₂ O	0.025	g
CuSO ₄ .5H ₂ O	0.075	g
Na ₂ MoO ₄ .2H ₂ O	0.025	g
H ₂ SO ₄	0.5	ml
น้ำกลั่นปรับปริมาตรเป็น	1 L	เก็บที่ 4 °C

2. สูตรอาหาร LB agar

Tryptone	10.00	g
Yeast extract	5.00	g
NaCl	5.00	g
Agar	15.00	g
ปรับปริมาตรด้วยน้ำกลั่นเป็น		1 L
pH 7.0		

ละลายส่วนผสมทั้งหมดเข้าด้วยกัน ยกเว้น agar ในน้ำกลั่น 800 มิลลิลิตร จากนั้นปรับ pH เป็น 7.0 ปรับปริมาตรเป็น 1 ลิตร ต้มจนวุ่นละลาย นำไปปืนฆ่าเชื้อโดยใช้เครื่อง autoclave ที่ อุณหภูมิ 121 °C ความดัน 15 ปอนด์ต่อตารางนิว นาน 15 นาที

2. สูตรอาหาร LB agar สำหรับ screening transformants

ใช้สูตรอาหารเช่นเดียวกับ LB agar โดยเติม ampicillin ให้ความเข้มข้นสุดท้ายอยู่ที่ 100 µg/ml จากนั้นเทอาหารบนจานเลี้ยงเชื้อ ทึ้งไว้ให้แข็งตัว เติม IPTG 100 µl (stock 100 mM) และ X-Gal 20 µl (stock 50 mg/ml) บนจานอาหารเลี้ยงเชื้อ spread ให้ทั่วผิวน้ำอาหาร ทึ้งไว้อย่างน้อย 1 ชั่วโมง ก่อนนำไปใช้งาน หลังจากเตรียมแล้วควรเก็บไว้ในที่เย็น

ภาคผนวก ข
การเตรียมสารเคมี

สารเคมีที่ใช้ในการสกัด Genomic DNA

1. 1M Tris-HCl buffer (pH 8.0)

ละลายน้ำ Tris (hydroxyl methyl) aminomethane 121.1 กรัม ในน้ำกลั่น 800 มิลลิลิตร ปรับ pH เป็น 8.0 โดยใช้ HCl จากนั้นปรับปริมาตรให้เป็น 1 ลิตร นำไปปั่นผ่าเชือโดยใช้ autoclave ที่ อุณหภูมิ 121 °C ความดัน 15 ปอนด์ต่อตารางนิวตัน นาน 15 นาที เก็บไว้ที่ 4 °C

2. CTAB extraction buffer (ดัดแปลงจาก Doyle and Doyle, 1990)

100 mM Tris-HCl (pH 8.0)

20 mM EDTA (pH 8.0)

1.4 M NaCl

1% PVPP

4% CTAB

ผสม Tris-HCl กับ EDTA ให้เข้ากัน จากนั้นละลาย CTAB ที่อุณหภูมิ 65 °C แล้วเติม PVPP คนต่อไปให้เข้ากัน PVPP มีมวลโนเลกุลสูงจึงทำให้สารละลายหนืด และเหลืองบางส่วนที่ไม่ละลาย เป็นตะกรอนสีขาว จากนั้นจึงเติม NaCl คนให้เข้ากัน นำไปปั่นผ่าเชือที่อุณหภูมิ 121 °C ความดัน 15 ปอนด์ต่อตารางนิวตัน นาน 15 นาที ก่อนใช้เติม 0.1% β -mercaptoethanol และอุ่นที่อุณหภูมิ 65 °C หลังใช้เสร็จเก็บไว้ที่ 4 °C

3. 3M Sodium acetate

ละลายน้ำ sodium acetate .3H₂O 408.3 กรัม ในน้ำกลั่น 800 มิลลิลิตร ปรับปริมาตรเป็น 1 ลิตร นำไปปั่นผ่าเชือโดยใช้ autoclave ที่อุณหภูมิ 121 °C ความดัน 15 ปอนด์ต่อตารางนิวตัน นาน 15 นาที เก็บไว้ที่อุณหภูมิห้อง

4. 0.5M Ethylenediaminetetra acetic acid (EDTA)

ซึ่ง EDTA.H₂O 186.1 กรัม ละลายน้ำกลั่น (pH 8.0) 800 มิลลิลิตร คนให้ละลายและค่อย ปรับ pH โดยใช้ NaOH ให้ได้ 8.0 ซึ่ง EDTA จะละลายหมดพอดี (EDTA จะไม่ละลายถ้า pH ต่ำกว่า 8.0) ปรับปริมาตรสุดท้ายเป็น 1 ลิตร นำไปปั่นผ่าเชือโดยใช้ autoclave ที่อุณหภูมิ 121 °C ความดัน 15 ปอนด์ต่อตารางนิวตัน นาน 15 นาที เก็บที่ 4 °C

5. 5M NaCl

ละลายน้ำ NaCl 292 กรัม ในน้ำกลั่น 800 มิลลิลิตร คนให้ละลาย จากนั้นปรับปริมาตรเป็น 1 ลิตร นำไปนึ่งฆ่าเชื้อโดยใช้ autoclave ที่อุณหภูมิ 121 °C ความดัน 15 ปอนด์ต่อตารางนิวตัน นาน 15 นาที เก็บไว้ที่อุณหภูมิห้อง

6. TE buffer (100mM Tris-HCl, 10mM EDTA)

ผสมสารละลาย 1M Tris-HCl (pH 8.0) ปริมาตร 0.1 ml และ 0.5M EDTA (pH 8.0) ปริมาตร 20 μl ผสมให้เข้ากันปรับปริมาตรเป็น 1 ลิตร นำไปนึ่งฆ่าเชื้อโดยใช้ autoclave ที่อุณหภูมิ 121 °C ความดัน 15 ปอนด์ต่อตารางนิวตัน นาน 15 นาที เก็บไว้ที่อุณหภูมิห้อง

7. Phenol

นำ phenol มาหลอมละลายที่อุณหภูมิ 68 °C โดยเติม hydroxyquinolines จนได้ final concentration 0.1% เพื่อยับยั่ง RNase และ chelator ion และเพิ่มสีเหลืองให้กับชั้น organic phase จากนั้นเติม 0.5M Tris-HCl pH 8.0 ปริมาตรเท่ากับ phenol ทำการ equilibrated phenol คนด้วย magnetic stirrer 15 นาที ทิ้งไว้จนแยกชั้น คุณสมบัติของ phenol ที่สำคัญที่สุด คือสามารถทำให้ไขมันและสารอีกครึ่ง溶解ใน phenol ได้โดยไม่ต้องใช้การต้ม แต่หากต้องการให้ไขมันแยกชั้นได้ดีต้องใช้ 0.1M Tris-HCl pH 8.0 ปริมาตรเท่ากับสารละลายที่เหลืออยู่ คนให้เข้ากันจนกระทั่งกระแทก pH ให้สูงกว่า 7.8 ทิ้งไว้ให้แยกชั้น คุณสมบัติของ phenol ที่สำคัญที่สุด คือสามารถทำให้ไขมันและสารอีกครึ่ง溶解ใน phenol ได้โดยไม่ต้องใช้การต้ม แต่หากต้องการให้ไขมันแยกชั้นได้ดีต้องใช้ 0.1M Tris-HCl pH 8.0 (10%) ของปริมาตรทั้งหมด เพื่อปิดผิวน้ำของสารละลาย phenol ที่ equilibrated เสร็จแล้ว เก็บในขวดสีชา ที่ 4 °C ได้นาน 1 เดือน หรือจนสารละลายดังกล่าวเปลี่ยนเป็นสีส้ม

สารเคมีในการทำ Gel electrophoresis

1. 50X TAE buffer

Tris-base	242.00 g
Glacial acetic acid	57.10 ml
EDTA.2Na	37.20 g
น้ำกลั่นปรับปริมาตรเป็น	1 L (pH 8.0)

ละลายน้ำ Tris-base และ EDTA.2Na ในน้ำกลั่น จากนั้นเติม glacial acetic acid ลงไป (ทำในสักครู่) คนให้เข้ากัน ปรับปริมาตรเป็น 1 ลิตร นำไปนึ่งฆ่าเชื้อที่อุณหภูมิ 121 °C ความดัน 15 ปอนด์ต่อตารางนิวตัน นาน 15 นาที เก็บไว้ที่อุณหภูมิ 4 °C

2. 6X loading dye

Bromophenol blue	0.25	mg
Glycerol	3	ml
5X TAE buffer	1	ml
น้ำกลั่น ปรับปริมาตรเป็น	10	ml

ผสมให้เป็นเนื้อดีyaกัน แบ่งเก็บไว้ใน microcentrifuge tube ที่ -20 °C

3. Ethyldium bromide

5mM EtBr	60	μl
TAE buffer	250	ml

ละลาย EtBr ลงใน 1X TAE buffer ผสมให้เข้ากัน เก็บให้พ้นแสง ที่ 4 °C

สารเคมีที่ใช้ในขั้นตอนการโคลนชิ้นส่วนพีซีอาร์

1. 0.1M CaCl₂

CaCl₂ 121 g ละลายในน้ำกลั่น ปรับปริมาตรเป็น 1 L นำไปนึ่งฆ่าเชื้อที่อุณหภูมิ 121 °C ความดัน 15 ปอนด์ต่อตารางนิ้ว นาน 15 นาที เก็บไว้ที่อุณหภูมิ 4 °C

2. 0.1M IPTG (stock solution)

IPTG 2.4 g ละลายในน้ำกลั่น ปรับปริมาตรเป็น 100 ml ทำให้ปลอดเชื้อโดยใช้ filter sterile เก็บไว้ที่อุณหภูมิ 4 °C

3. 50 mg/ml X-Gal (stock solution)

X-Gal 0.2 g ละลายใน 4 ml *N,N-dimethylformamide* เก็บอย่าให้โดนแสงที่อุณหภูมิ -20 °C

4. 100 mg/ml Ampicillin (stock solution)

Ampicillin 500 mg ละลายในน้ำกลั่น ปรับปริมาตรเป็น 5 ml ทำให้ปลอดเชื้อโดยใช้ filter sterile เก็บไว้ที่อุณหภูมิ 4 °C

ภาคผนวก ค

1. การตรวจสืบสกัดดีเอ็นเอ ด้วยวิธี Agarose gel electrophoresis

1.1 การเตรียมเจล (Agarose gel)

1.1.1 เตรียมถ้วยสำหรับเทเจล โดยใช้เทปการปิดบริเวณหัวท้ายของถ้วย วงหวี (comb) ซึ่งจะทำให้เกิดหลุม (well) สำหรับหยดตัวอย่างลงในเจล ให้สูงกว่าพื้นถ้วยประมาณ 0.5-1.0 mm. ให้วงถ้วยในพื้นที่รับได้ระนาบเดียวกัน

1.1.2 เตรียมสารละลาย 1X TAE buffer จาก stock solution 50X ปริมาตรเพียงพอสำหรับใส่ในแท็งก์และใช้เตรียม agarose

1.1.3 ละลาย 1% agarose ด้วย 1X TAE buffer นำไปคลอมจนละลายเข้ากันดี ทิ้งไว้จนอุณหภูมิลดลงเหลือ 55 °C เท่าถ้วนที่เตรียมไว้หนาประมาณ 0.3-0.5 cm หรือแล้วแต่ความต้องการทึ่งเจลไว้ให้แข็งตัวประมาณ 30-45 นาที

1.1.4 ดึงหวี และเทปการอุดจากถ้วยเทเจลออกย่างระมัดระวัง โดยเฉพาะบริเวณที่วงหวีอยู่ให้เจลแตก วงถ้วยเจลลงในแท็งก์ เท 1X TAE buffer ให้ท่วมเจลประมาณ 1 mm

1.2 การทำ Electrophoresis

1.2.1 ผสม loading dye กับ size marker ในอัตราส่วน 1:5

1.2.2 หยด size marker ลงในหลุมแรกและหลุมสุดท้าย เวลาหยดสารละลายลงในหลุมควรแน่ใจว่าปลายปีเปตจุ่มอยู่ต่ำกว่าปากหลุม เพื่อให้สารละลายตกลงไปอยู่ในหลุมให้หมด

1.2.3 ผสมตัวอย่างกับ loading dye ในอัตราส่วน 1:5 แล้วหยดตัวอย่างลงในหลุมตัดไป

1.2.4 ปิดฝาแท็งก์ในแน่ใจว่าข้อบากอยู่ในทิศทางตรงกันข้ามกับทิศทางของหลุมตัวอย่าง ตั้งค่าความต่างศักย์ที่ประมาณ 5-8 volt/cm เปิดเครื่องจ่ายกระแสไฟฟ้า ควรเห็นฟองอากาศผุดขึ้นมาจาก漉วนด้านไฟฟ้า ที่ข้างไฟฟ้าทั้งสองข้าง

1.2.5 สังเกตทิศทางการเคลื่อนที่ของ loading dye หากเคลื่อนที่ผิดทาง แสดงว่าการต่อข้างไฟฟ้าผิดข้าง ควรปิดเครื่องและเปลี่ยนข้างไฟฟ้าให้ถูกต้อง

1.2.6 สังเกตการณ์เคลื่อนที่ของสี methylene blue เมื่อถึงระยะที่เหมาะสม ปิดเครื่อง

1.3 การอ่านผล

ข้อมูลโดยการแซ่บสารละลาย ethidium bromide นาน 10 นาที แล้วล้างเจลเพื่อลด background โดยการแซ่บในน้ำกลั่นนาน 10 นาที จากนั้นนำไปส่องด้วยเครื่อง Transilluminator ซึ่ง

เป็นอุปกรณ์ที่ผลิตขึ้นมาเพื่อความสะดวกในการตรวจสอบเจล โดยส่วนใหญ่ติดตั้งหลอด UV ไว้ใต้แท่นวางเจล แสง UV ส่วนใหญ่มีความยาวคลื่น 302 nm ซึ่งเป็นความยาวคลื่นที่เหมาะสม และไม่ทำให้ DNA เสียหายมาก ซึ่งแสง UV นี้จะทำให้เกิด nick บนสาย DNA

ผลการทำ electrophoresis ที่ได้ อาจถ่ายรูปเก็บไว้ได้โดยใช้กล้อง Polaroid หรือใช้กล้อง CCD ร่วมกับ thermal printer หรือเก็บภาพไว้ในระบบคิจิตอลได้

2. การเตรียมดีเอ็นเอให้บริสุทธิ์จากเจล โดยใช้ *GFX™ PCR DNA and Gel Band Purification Kit* (Amersham Biosciences, USA)

2.1 ตัดเจลบริเวณที่มีชิ้นดีเอ็นเอขนาดที่ต้องการใส่ลงใน microcentrifuge tube ขนาด 1.5 ml

2.2 เติม capture buffer 10 µl ต่อน้ำหนัก agarose gel 10 mg

2.3 นำไปบ่มที่อุณหภูมิ 60°C เป็นเวลา 15-20 นาที หรือจนกว่า agarose gel จะละลาย กลับหลอดไปนาทุกๆ 5 นาที

2.4 ใช้ autopipette ดูด agarose gel ที่ละลายแล้วใส่ลงใน GFX column บ่มที่อุณหภูมิห้องเป็นเวลา 1 นาที

2.5 นำไปปั่นด้วยเครื่องปั่นเหวี่ยง ที่ 13,000 rpm ที่อุณหภูมิ 4 °C เป็นเวลา 30 วินาที เทส่วนใส่ใน collection tube ทิ้ง

2.6 เติม wash buffer 500 µl ปั่นด้วยเครื่องปั่นเหวี่ยงที่ 13,000 rpm ที่อุณหภูมิ 4°C เป็นเวลา 30 วินาที (ปั่น 2 ครั้ง)

2.7 นำส่วนของ GFX column ใส่ลงใน microcentrifuge tube ขนาด 1.5 ml หลอดใหม่ที่ได้ตัดฝาหลอดทิ้งไปเพื่อให้วาง GFX column ลงไปได้

2.8 เติม elution buffer 10-50 µl บ่มที่อุณหภูมิห้อง เป็นเวลา 1 นาที

2.9 ปั่นด้วยเครื่องปั่นเหวี่ยงที่ 13,000 rpm ที่อุณหภูมิ 4°C เป็นเวลา 1 นาที

2.10 ดูดสารละลายใส (ดีเอ็นเอบริสุทธิ์) ใส่ลงใน microcentrifuge tube ขนาด 1.5 ml หลอดใหม่ เก็บที่อุณหภูมิ -20°C

3. การเตรียมผลิตภัณฑ์พิช้อาร์ให้บริสุทธิ์ โดยใช้ *GFX™ PCR DNA and Gel Band Purification Kit* (Amersham Biosciences, USA)

3.1 ผลิตภัณฑ์พิช้อาร์ที่ต้องการทำให้บริสุทธิ์ เติม capture buffer ให้ปริมาตรรวมกันไม่เกิน 300 µl ใช้ autopipette ดูดขึ้นลงผสมให้เข้ากัน

3.2 ดูดสารผสมในข้อ 3.1 ใส่ลงใน GFX column บ่มที่อุณหภูมิห้อง เป็นเวลา 1 นาที

3.3 นำไปปั่นด้วยเครื่องปั่นเหวี่ยง ที่ 13,000 rpm ที่อุณหภูมิ 4 °C เป็นเวลา 30 วินาทีเทส่วนใสใน collection tube ทิ้ง

3.4 เดิน wash buffer 500 μl ปั่นด้วยเครื่องปั่นเหวี่ยงที่ 13,000 rpm ที่อุณหภูมิ 4°C เป็นเวลา 30 วินาที (ปั่น 2 ครั้ง)

3.5 ข้ายส่วนของ GFX column ใส่ลงใน microcentrifuge tube ขนาด 1.5 ml หลอดใหม่ที่ได้ตัดฝ่าหลอดทิ้งไปเพื่อให้วาง GFX column ลงไปได้

3.6 เดิน elution buffer 10-50 μl บ่มที่อุณหภูมิห้อง เป็นเวลา 1 นาที

3.7 ปั่นด้วยเครื่องปั่นเหวี่ยงที่ 13,000 rpm ที่อุณหภูมิ 4°C เป็นเวลา 1 นาที

3.8 คุณสารละลายใส (ดีอี็นเอบริสุทธิ์) ใส่ลงใน microcentrifuge tube ขนาด 1.5 ml หลอดใหม่ เก็บที่อุณหภูมิ -20°C

4. การเชื่อมต่อผลิตภัณฑ์พีซีอาร์เข้ากับ pGem-T Easy vectors (Promega, USA)

4.1 ผลิตภัณฑ์พีซีอาร์ที่ใช้เชื่อมเข้ากับเวกเตอร์ ควรใช้ชิ้นส่วนที่ได้จากการเพิ่มจำนวนโดยกระบวนการพีซีอาร์ในทันที หากมีความจำเป็นที่ต้องใช้ผลิตภัณฑ์พีซีอาร์ที่เก็บรักษาไว้ ก่อนทำการ ligation นำ PCR Product ที่ได้ทำให้บริสุทธิ์แล้ว มาทำการเติมปลาย A โดยเติมสารต่างๆ ดังต่อไปนี้

DNA (PCR product)	7.5	μl
MgCl ₂	0.5	μl
2.5mM dNTPs	0.9	μl
Taq polymerase (Fermentus)	0.1	μl
10X buffer	1.0	μl
<u>Total volume</u>	10.0	μl

ผสมสารทั้งหมดเข้าด้วยกันใน microcentrifuge tube ขนาด 0.5 ml และนำไปบ่มที่อุณหภูมิ 72°C เป็นเวลา 15 นาที หรือนำเข้าเครื่อง Thermal cycle ตั้งอุณหภูมิ 72°C เป็นเวลา 10-15 นาที ที่ได้แล้วเก็บไว้ที่อุณหภูมิ 4°C

4.2 ผสมสารเหล่านี้ใน microcentrifuge tube ขนาด 0.5 ml

	<u>SD reaction</u>	<u>Positive control</u>	<u>Negative control</u>
2X rapid ligation buffer	5 μ l	5 μ l	5 μ l
pGEM-T Easy vector	1 μ l	1 μ l	1 μ l
insert (purified DNA)	3 μ l	-	-
Control insert DNA	-	2 μ l	-
T4 DNA ligation	1 μ l	1 μ l	1 μ l
Deionized water to a final	0 μ l	1 μ l	3 μ l

volume of 10 μ l

4.3 บ่มไว้ที่อุณหภูมิ 4°C ทิ้งไว้ขั้นคืน

5. การเตรียม competent cell

5.1 นำแบปค์ที่เรีย *Escherichia coli* JM109 มา streak บนอาหาร LB Agar ที่ไม่มี antibiotic แล้วนำไปบ่มที่อุณหภูมิ 37°C เป็นเวลา 24 ชั่วโมง

5.2 ถ่ายเชื้อแบปค์ที่เรีย มา 1 โคลoni แล้วนำมาเลี้ยงต่อในอาหาร LB broth ปริมาตร 10 ml บ่ม เชื้อใน shaking incubator ที่อุณหภูมิ 37°C เป็นเวลา 24 ชั่วโมง

5.3 ดูดแบปค์ที่เรียจากข้อ 5.2 ปริมาตร 250 μ l เติมลงในอาหาร LB broth ปริมาตร 10 ml ขาดใหม่ และนำไปบ่มเชื้อใน shaking incubator ที่อุณหภูมิ 37°C เป็นเวลา 3 ชั่วโมง เพื่อให้เชื้อเจริญอยู่ในระยะ log phase

5.4 ปั่นเก็บเซลล์ ที่ 3,000 rpm ที่อุณหภูมิ 4°C เป็นเวลา 10 นาที

5.5 ละลายตะกอนแบปค์ที่เรียด้วย 0.1 M CaCl₂ ที่แข็งปริมาตร 5 ml เขย่าเบาๆ ให้เข้ากันแล้วนำไปในน้ำแข็งเป็นเวลา 30 นาที

5.6 เมื่อครบเวลา ปั่นเก็บเซลล์ที่ 3,000 rpm ที่อุณหภูมิ 4°C เป็นเวลา 10 นาที

5.7 เทสารละลายส่วนใหญ่ แล้วละลายตะกอนแบปค์ที่เรียด้วย 0.1 M CaCl₂ ที่แข็งปริมาตร 500 μ l เขย่าเบาๆ ให้เข้ากันแล้วนำไปในน้ำแข็งอย่างน้อย 1 ชั่วโมง ก่อนนำไปทำการ transformation

5.8 เพื่อศึกษาประสิทธิภาพของ competent cell จึงแบ่งเอา competent cell ก้อนที่จะนำไปทำการ transformation มาทำ standard plate count ด้วยอาหาร LB Agar ที่ไม่มี antibiotic เพื่อคุณภาพชีวิตของเซลล์ที่ผ่านการ treat ด้วย 0.1 M CaCl₂

6. การถ่ายโอนยีนโดยวิธี Transformation

6.1 เติม competent cell ปริมาณ 100 μl ลงใน microcentrifuge tube ขนาด 1.5 ml แซ่บในน้ำแข็งตลอดเวลา

6.2 เติม recombinant plasmid ที่ได้จากการทำ ligation ลงไป 5 μl เขย่าเบาๆ ให้เข้ากัน

6.3 นำไปแช่ในน้ำแข็งเป็นเวลา 30 นาที

6.4 นำไปปั่นที่อุณหภูมิ 42 °C (heat shock) 45 วินาที และวนนำมาราดในน้ำแข็งทันที 2 นาที

6.5 เติม LB broth 900 μl นำไปปั่นใน shaking incubator ที่อุณหภูมิ 37°C เป็นเวลา 45 นาที

6.6 คุณเชื้อแบคทีเรีย 200 μl หยดลงบน LB plate ที่มี ampicillin/IPTG/X-Gal และทำการ

spread plate

6.7 นำไปปั่นที่อุณหภูมิ 37°C เป็นเวลา 24 ชั่วโมง

6.8 คัดเลือก colony สีขาวจาก LB plate และใช้ไม้จิ้นฟันที่นิ่งมาราดแล้วแตะ colony มาปิดบนอาหาร LB plate ที่มี ampicillin/IPTG/X-Gal และนำไปปั่นที่อุณหภูมิ 37°C เป็นเวลา 24 ชั่วโมง เพื่อให้แน่ใจว่าเป็น colony สีขาวจริง

7. การตรวจสอบ insert product ใน plasmid โดยวิธี Colony PCR

7.1 ใช้ไฟร์เมอร์ชุดเดียวกับที่ใช้เพื่อปริมาณดีเอ็นเอในขั้นตอนของปฏิกริยาพีซีอาร์ ที่เป็นทั้งเส้น Foreword และ Reward ไฟร์เมอร์

7.2 เตรียม master mix ใน microcentrifuge tube ขนาด 1.5 ml

<u>Component</u>	<u>Final concentration</u>	<u>Volume/reaction</u>
10X buffer	1X	2.0 μl
dNTPs	20 mM	0.4 μl
MgCl ₂	1.0 mM	2.0 μl
Primer F	10 μM	1.0 μl
Primer R	10 μM	1.0 μl
Taq polymerase	5 Unit/reaction	0.1 μl
H ₂ O	-	13.5 μl
DNA template	-	-
Total volume	-	20 μl

DNA template ไม่คิดปริมาณ

7.3 ผสม master mix ให้เข้ากัน แบ่งใส่ลงใน PCR tube หลอดละ 20 μl

7.4 เติม DNA template ลงใน PCR tube (ใช้ไม้จิ้มพันที่ปราศจากเชื้อแบคทีเรีย โคลนนิ่งที่ต้องการตรวจสอบมาพสมลงไปเพียงเล็กน้อย)

7.5 ใส่ PCR tube ลงในเครื่อง thermal cycle ตั้งโปรแกรมปฏิกริยาการทำพีซีอาร์ ในสภาวะเดียวกับที่ใช้ในการเพิ่มปริมาณดีเอ็นเอของแต่ละยีนที่ศึกษา

7.6 ตรวจสอบขนาดของ PCR product โดยวิธี agarose gel electrophoresis โดยเปรียบเทียบขนาดของดีเอ็นเอกับ 1 Kb DNA ladder

7.7 นำโคลนนิ่งแบคทีเรียที่มีชิ้นส่วนของ insert ไปทำการสกัด plasmid

8. การสกัด plasmid โดยใช้ QIA prep® Spin Miniprep Kit (QIAGEN)

8.1 เลี้ยง transformant ที่ได้จากข้อ 7.7 ในอาหาร LB broth ที่มี Ampicillin (0.1 mg/ml) 10 ml นำไปเพาะที่อุณหภูมิ 37°C เป็นเวลา 24 ชั่วโมง

8.2 ปั่นเก็บเซลล์ที่ 6,000 rpm ที่อุณหภูมิ 4°C เป็นเวลา 10 นาที

8.3 ล้างเซลล์ด้วย TE buffer ปริมาตร 1.5 ml vortex และทำการปั่นเก็บเซลล์อีกครั้งหนึ่ง

8.4 ละลายตะกอนเซลล์ด้วย buffer P1 250 μl นำไป vortex เพื่อลดตะกอน

8.5 เติม buffer P2 250 μl ใช้ autopipette ดูดชิ้นลงช้าๆ หรือกลับหลอดไปมา

8.6 เติม buffer N3 350 μl ใช้ autopipette ดูดชิ้นลงช้าๆ หรือกลับหลอดไปมา

8.7 ปั่นหวีงที่ 13,000 rpm ที่อุณหภูมิ 4°C เป็นเวลา 10 นาที ดูดเอาเฉพาะส่วนใสใส่ใน

QIA prep spin column

8.8 ปั่นหวีงที่ 13,000 rpm ที่อุณหภูมิ 4°C เป็นเวลา 1 นาที เทส่วนใสทิ้ง

8.9 ล้าง column โดยเติม buffer PB 500 μl นำไปปั่นด้วยเครื่องปั่นหวีงที่ 13,000 rpm ที่อุณหภูมิ 4°C เป็นเวลา 1 นาที เท buffer ที่เหลือใน column ทิ้ง

8.10 ล้าง column โดยเติม buffer PE 750 μl นำไปปั่นด้วยเครื่องปั่นหวีงที่ 13,000 rpm ที่อุณหภูมิ 4°C เป็นเวลา 1 นาที เท buffer ที่เหลือใน column ทิ้ง

8.11 ปั่นหวีง column เปล่า เป็นเวลา 1 นาที

8.12 นำส่วนของ column ใส่ลงใน microcentrifuge tube ขนาด 1.5 ml หลอดใหม่ที่ตัด刃ออกเพื่อให้ใส่ column ลงໄປได้

8.13 เติม buffer EB 50 μl ใส่ใน column และทิ้งไว้ที่อุณหภูมิห้อง เป็นเวลา 1 นาที

8.14 ปั่นหวีงที่ 13,000 rpm ที่อุณหภูมิ 4 °C เป็นเวลา 1 นาที

8.15 ดูดเก็บเฉพาะส่วนใสที่กรองได้ ใส่ลงใน microcentrifuge tube เก็บไว้ที่อุณหภูมิ 4 °C

9. การทำ Restriction Enzyme Analysis

9.1 เตรียม reaction สำหรับ restriction enzyme analysis ดังต่อไปนี้

plasmid	2	μl
10X buffer	2	μl
<i>Eco</i> RI	1	μl
Water nuclease free	15	μl
<u>Total volume</u>	20	μl

ผสมสารทั้งหมดเข้าด้วยกันใน microcentrifuge tube ขนาด 0.5 ml จากนั้นนำไปปั่นที่อุณหภูมิ 37°C เป็นเวลา 1 ชั่วโมง และวิจัยนำไปตรวจสอบโดยวิธี agarose gel electrophoresis โดยเปรียบเทียบขนาดของคีเอ็นเอกับ 1Kb DNA ladder (Fermentas)

ภาคผนวก ง

ลำดับเบสของไซยาโนแบคทีเรียที่ได้จากการศึกษา

1. ลำดับเบสของดีเอ็นเอบริเวณ 16S-23S ITS

Phormidium sp. PR40 787 bp

GCATTGCGAG AATTGCGCTT ATCCCATAAA CCGAGGCTCA GGTTCAGATT GCAGGGCGTGC
AACTCGCCTG CATGAAGGCG GAATCGCATA GTTAATCGCA GGTCAAGCATA CTGCGGTGAA
TACGATTCCC GGGTCTTGTA CACACCGCCC GTCACACCAT GGGAGTTGGC CACGCCCGAA
GTCGTTATCC TAACCCATGT GGAGGGAGAT GCCGAAGGCA GGGCTGATGA CTGGGGTGAA
GTCGTAACAA GGTAGCCGTA CCGGAAGGTG TGGCTGGATC ACCTCCTTT TAGGGAGACC
TCCCGACTCT AAAGGCTGAA GGCACAGTGC CATTAAGCCA AGAGTTGGTC ATCCCAAGGT
CAATCGAGAT AGAGGGATGT TTCTCACTCT ACAAGGTCTC TTTTTCGCT ATCTATCTCC
GTGGTGAGAA ACCGACTCTC TATGATCAAG TGTGTGATGT CTCTGGGTCT CACAGATCCT
TCCTGGACTC TCCTTCATAA TAATCTTGCA GAAATATTAT AGAACATAACA TTTTCTTCCT
AACGATTAAT TTCCACAAAT ACCGATTGAG TGTTTTAAGT CAGTAGAGAC TTAGCCCCAA
GTCTTGAAG CGATGATGTA TCGCACTGCA GATGTACTGC TAACCTCCGC TGAAGGAAAC
GACTCTATTT CTGACTCGCA TTAATCTTCA CGAAAAACTTA TCCTTATACAC CCCTTAAGAT
TGACATATTT CAGCTTGCTG GTATTAATTG CACTAAATAA CTTGCTGGAC AGTAATAGCC
AAGAAAC

Phormidium sp. PD40 794 bp

GCACTCGCGA GGAGGGCGCT ATCCCATAAA CCGGAGGCTC AGGTTCAGAT TGCAGGGCTGC
AACTCGCCTG CATGAAGGCG GAATCGCTAG TAATCGCAGG TCAGCATACT GCGGTGAATA
CGTTCCCGGG CCTTGACAC ACCGCCGTC ACACCATGGG AGTTGGCCAC GCCCGAAGTC
GTTACTCCAA CCGATTCTGT CGGAGGAGGA TGCCGAAGGC AGGGCTGATG ACTGGGGTGA
AGTCGTAACA AGGTAGCCGT ACCGGAAGGT GTGGCTGGAT CACCTCCTTT TCAGGGAGAC
CTACTGACTT AGAGAGATAG GAGAGACGAG AGCGTCCACA GGAGTTGAA GAAACTCTTG
CTTGAGACTC GAGTCGCTCA AACCAAATGG ATACATCTCC TAAGTTGGTC ATCCCAAGGT
CGTTGGGGA ATAAGTGTAA GGCTTCAAA CTAGATTGGT TCGGTTCTG GGCTATTAGC
TCAGGTGGTT AGAGCGCACCC CCTGATAAGG GTGAGGTCCC TGTTTCGAGT CCAGGATGGC
CCACCTTAC AGTAGGCGGT GGACAGTAA CAGCAAGCTG CAAAGCGAT TGGTTGAGCG
GTGAAGACTG TTGATTGAAG ACTGAGAACT GTTTTTGGGG GTTTAGCTCA GTTGGTAGAG
CGCCTGCTTT GCAAGCAGGA TGTCACTGAGT TCGAGTCTGC TAACCTCCAC TGGGCAAAAG
CCCAAGCGAT ACATTTCAAG CAACTGGTTT AGAGCAGCCT GAGAGGCTGA GTCTAAAGAG
CCTGCTGGAA GTTT

Leptolyngbya sp. PR40 870 bp

ACGGACAAAG GGTGCGCAAC TGGCGACAGT GAGCTATCCC GTTAAACCGA GGCTCAGTTC
AGATTGCGAG CTGCAACTCG CCTGCACTGAA GGCAGGAAATCG CTAGTAATCG CCGGTCAAGCA
TACGGCGGTG AATACGTTCC CGGGCCTTGT ACACACCGCC CGTCACACCA TGGGAGTTGG
CCACGCCGA AGTCGTTACT CCAACCGATT CTGTCGGAGG AGGACGCCGA AGGCAGGGCT
GATGACTGGG GTGAAGTCGT AACAAAGGTAG CGTACCGGA AGGTGTGGCT GGATCACCTC
CTTTATAGGG AGACCTCCCG ACTCTACGCC TGAAAGCGAC GTGCGATTAA GGTAAGAGTT
GGTCATCCCA AGGTCGGTCA GGCAGTGGTG CAGAGGCTT CAAACTAGCT GGTTCGGTT
ATGGGCTATT AGTCAGGTG GTTAGAGCGC ACCCCTGATA AGGGTGAGGT CCCTGGTT
AGTCCAGGAT GGCCCACCTT GGCAAGAGGG AAGAGGGAAG AAGGGAAACA GAAGAGAGCC
TGATTTCTT TGTTTTGAA TCTTCGGAT TCAATCTCG ACATGGGGGT TTAGCTCAGT
TGGTAGAGCG CCTGCTTGC AAGCAGGATG TCAGCGGTTG GAGTCCGCTA ACCTCCACTG
GGATTACCGC CCAAGGTGAG TAGTTATTGA GTAGTTATTA GGAGACATTC AGCACCTGGT
CTTGAGGCTT GAGGGAAAGCG CGCAAGAGAG ACTGCTGGAT GCTATCCAGC CAGGACCTAG
AAAAGTGCAT AGCAAGAAAT AGTCAGGTAG CAACAAACAGA TACCAATGTT GACATGGTCA

AGCTAGAAAG GGCTGATGGT GGATAACCTAG

Scyonema sp. TP40

840 bp

GAATGCAG GCTGCAACTC
 GCGCCTATC CCATAAACCG AGGCTCAGTT CAGATTGCAG GCTGCAACTC
 GCCTGCATGA AGGCGGAATC GCTAGTAATC GCAGGTCAGC ATACTGCGGT GAATACGTT
 CCGGGCCTTG TACACACCAC CCGTCACACC ATGGGAGTTG GCCACGCCCG AAGTCGTTAC
 TCCAACCGAT TCTGTCGGAG GAGGATGCCG AAGGCAGGGC TGATGACTGG GGTGAAGTCG
 TAACAAGGTA GCCGTACCGG AAGGTGTGGC TGGATCACCT CCTTTTCAGG GAGACCTACT
 GACTTAGAGA GATAGGAGAG ACGAGAGCGT CCAGAGGAGT TTGACGAAAC TCTTGCTTGA
 GACTCGAGTC GCTCAAACCA AATGGATACA TCTCCTAAAGT TGTCATCCC AAGGTCGTT
 GGGGAATAAG TGTAGGCTT TCAAACATAGA TTGGGTCGGT TCGTGGCTA TTAGCTCAGG
 TGGTAGAGC GCACCCCTGA TAAGGGTGG AGTCCCTGGT CGAGTCCAGG ATGGCCCACC
 TTTACAGTAG GCGGTGGACA GTAAACAGCA AGCTGCAAAA GCGATTGGTT GAGCGGTGAA
 GACTGTTGAT TGAAGACTGA GAACTGTTT TGGGGGTTA GCTCAGTTGG TAGAGCGCCT
 GCTTGCAG CAGGATGTCA GCAGTCAG TCTGCTAAC TCCACTGGC AAAAGCCCAA
 GCGATAGATT TTCAGCAACT GGTTAGAGC AGCCTGAGAG GCTGAGTCTA AAGAGCCTGC
 TGGAAGTTTC CAGCTAGAAC CTAGAAAAC GCATAGCGAT AATAGTCAGG TAGCAAAAC

Scyonema sp. TP40-1

838 bp

GGCGCCTATC CCATAAACCG GAGGCTCGAT GTTCAGATTG CAGGCTGCAA CTCGCCTGCA
 TGAAGGCGGA ATCGCTAGTA ATCGCAGGTC AGCATACTGC GGTGAATACG TTCCCGGGCC
 TTGTACACAC CGCCCGTCAC ACCATGGGAG TTGGCCACGC CCGAAGTCGT TACTCCAACC
 GATTCTGTCG GAGGAGGATG CCGAAGGCCAG GGCTGATGAC TGGGGTGAAG TCGTAACAAG
 GTAGCCGTAC CGGAAGGTGT GGCTGGATCA CCTCCTTTC AGGGAGACCT ACTGACTTAG
 AGAGATAGGA GAGATGAGAG CGTCCAGAGG AGTTGAAGA AACTCTTGCT GAGACTCGAG
 TCGCTCAAAC CAAATGGATA CATCTCCTAA GTTGGTCATC CCAAGGTCGT TCGGGGAATA
 AGTGTAGGC TTTCAAACTA GATTGGTCG GTTCGTGGC TATTAGCTCA GGTGGTTAGA
 GCGCACCCCT GATAAGGGTG AGGTCCCTGG TTCTGAGTCCA GGATGGCCCA CCTTTACAGT
 AGGCGGTGGA CAGTAAACAG CAAGCTGCAA AAGCATTGG TTGAGCGGTG AAGACTGTTG
 ATTGAAGACT GAGAACTGTT TTTGGGGTT TAGCTCAGTT GGTAGAGCGC CTGCTTGCA
 AGCAGGATGT CAGCAGTTCG AGTCTGCTAA CCTCCACTGG GCAAAAGCCC AAGCGATAGA
 TTTTCAGCAA CTGGTTAGA GCAGCCTGAG AGGCTGAGTC TAAAGAGCCT GCTGGAAGTT
 TCCAGCCCAG AACCTAGAAA CTGCATAGCG ATAATAGTCA GGTAGCAAAA ACAGACAC

Phormidium sp. PD40

1126 bp

GCAACGAGCG CAACCCCTCGT TTCTAGTTGC CATCATTAAG TTGGGCACTC TGGAGAGACT
 GCCGGTGACA AACCGGAGGA AGGTGGGAT GACGTCAAGT CAGCATGCC CTTACGTCCT
 GGGCTACACA CGTACTACAA TGCTGTGGAC AAAGAGCAGC CAGACCGCGA GGTTGAGCTA
 ATCTCATAAA CCACGGCTCA GTTCAGATTG CAGGCTGCAA CTGGCCTGCA TGAAGGCGGA
 ATCGCTAGTA ATCGCAGGTC AGCATACTGC GGTGAATACG TTCCCGGGCC TTGTACACAC
 CGCCCGTCAC ACCATGGGAG TTGGCCACGC CCGAAGTCGT TACTCCAACC GCTTGCAGG
 GAGGACGCCG AAGGCAGGGC TGATGACTGG GGTGAAGTCG TAACAAGGTA GCGTACCGG
 AAGGTGTGGC TGGATCACCT CCTTTTAGG GAGACCTACC CACTTAGAGA GAGGAGCGAG
 GAGAGAGGAG AGAGGAGTTG GAAGAACTTC TCATCGAGAC TCGACTCAGC GAAGCAGTTG
 TAAGCATCTC CTAAGTTGGT CATCCCAAGG TCGGTCGAGT TTTAAGTGT GGCTTCAAA
 CTAGCTGGT TCGATGATGG GCTATTAGCT CAGGTGGTTA GAGCGCACCC CTGATAAGGG
 TGAGGTCCTT GGTTCGAGTC CAGGATGGCC CACCTTTAGG AGGAAGCGGG ATGAAAGATA
 AAGGATGAAC TGAAAGGCAT TCGGGCTTTA GCGTTCATGC TTCCGCCTTT TATCGGGGG
 TTTAGCTCAG TTGGTAGAGC GCCTGCTTTG CAAGCAGGAT GTCAGCGGT CGAGTCGCT
 AACCTCCACT GAGAGCGAGA GCTTCAACG GGAAAGATT CAGCAACGGG TCTAGGAAAG
 CGACGTGCTT CAGTAGATAG CCTGCTGGAG TTGGTTCCAG CCAGAACCTT GAAAACGTCA
 TAGAACTTGT CAGGTAGTGA TTAGGTGACA GGGAAATAGGG GACCGGGGGT AGGAGAAATG
 TCTACCTCGT AAACCCCTGAG CCCTGAACCC TGAAAACACA GACACCAATG AACTTGTAA
 GTGGTCAAGC TAATAAGGGC TAACGGTGGA TACCTAGGCA CACAGA

Chroococidiopsis sp. PR45

1042 bp

CAACGAGCGC AACCCCTCGTT TTTAGTTGCC AGCATTAAGT TGGGCACCTCT AGAAAGACTG
 CCGGTGACAA ACCGGAGGAA GGTGGGGATG ACGTCAAGTC AGCATGCCCT TTACGCTCTG
 GGCTACACAC GTACTACAAT GCTGTGGACA AAGGGCAGCA AGAATGCGAA TTCAAGCAA
 TCCCAGAAAC CACGGCTAG TTCAGATCGC AGGCTGCAAC TCGCCTGCGT GAAGGCGGAA
 TCGCTAGTAA TCGCCGGTCA GCCATACGGC GGTGAATACG TTCCCGGGCC TTGTACACAC
 CGCCCGTCAC ACCATGGAAG CTGGCACCGC CCGAAGTCGT TACCTAACCC TTTCGAGGAG
 GGGGACGCCG AAGGCAGGGC TGGTGACTGG GGTGAAGTCG TAACAAGGTA GCCGTACCGG
 AAGGTGTGGC TGGATCACCT CCTTTTAGG GAGACCTACC CAACACGAGT TGCTCGCGCA
 GCGAGTGTCA GGTCAACCAGA GGTCGGTCGA GGCGAGATGT GTGGCTTCA AACTCTGGTT
 TGGTTAAGAG GAGCGAAACC GAGCAAGGGC TATTAGCTCA GGTGGTTAGA GCGCACCCCT
 GATAAGGGTG AGGTCCCTGG TTCGAGTCCA GGATGGCCCA CCTAAAGAAG TGAAAGTGGG
 TGCAGCGAGC TGCTTGAAGG TGGCGACTTG ACGGGAGAGA TGCTAGACTA GAAAAGGTG
 CGAAAAATTC AGCAAGCGGT ACCCAAGCCA AACTGCTGGA GAATGCCAG CCAGAACCTT
 GAAAACGTCA TAATCATGCC AAAGAAATAG CAGGTAGGAT GTAACGGTGC CGCAGTGGCG
 CCAAAGTTAC AAAACCGAAT AGCCAATAAG ACAACTAACT GAAGAACAGA AAGTGGTCAA
 CGCTACAGAA GGCTGATGGT GGATAGCCTA GGCATCACAG ACGAATCAGC TAGTGAATT
 GCGGCCGCCT GCAGGTCGAC CATATGGGAG AGCTCCAAA CGCGTAGGAT GCATAGCTTG
 AGTATTATAA GTTCGCAATG TC

2. ลำดับเบสของ PC-IGS ของไฟโโคไซยานินโอลิโอเปอรอน

Synechococcus sp. SK70

669 bp

TTGGCTGCTT GTTTACGCGA CATGGAAATC ATCTTGCCT ATGTGACCTA CGCCATTGG
 GCCGGTACT CCAGCGTGT CGATGATCGC TGCTTGAACG GCCTGCGGA AACCTACCAA
 GCCCTGGTA CCCCCGGCTC CTCCGTGGCT GTGGCTATCC AAAAATGAA AGATGCCCG
 ATCGCGATCG CCAATGATCC CAATGGCATC ACCCCTGGCG ATTGCAGCGC CCTGATGTCC
 GAAATCGCTG GCTACTTTGA TCGTGGCGCT GCCGCTGTT CCTAAGGCAC CTTGACGTT
 CTCTAACTTT GACCCTGCTG AACACGCACA TTTTTAGG AGATATTTA TCCATGAAAA
 CGCCGATTAC TGAAGCCATT GCGCCGCGC ATACCCAAGG TCGTTTCCTC AGCAACACCG
 AACTGCAAGC GGTGACGGT CGCTTCAAGC GCGCTGTGGC CAGCATGGAA GCTGCTCGCG
 CCCTGACCAA CAATGCTAG AGCCTGATTG ACGGCGCAGC CCAAGCGGTG TACCAAAAT
 TCCCCTACAC CACCACCATG CAAGGCTCTC AATATGCCCTC GACCCCCGAA GGCAAAGCCA
 AGTGCGCCCG TGACATCGGC TACTACCTGC GGATGGTGAC CTACTGCTTA GTTGCTGGTG
 GGTACTGGA

Synechococcus sp. SK50

665 bp

TGGCTGCTTT TTTACGCGAC ATGGAAATCA TCTTGCCTA TGTGACCTAC GCCATTGG
 CGGGTACTA CGGTGCTCGA TGATCGCTGC TTGAACGGTT GCGGGAAACC TACCAAGCCC
 TTGGTACCCC CGGCTCCTCC GTGGCTGTGG CTATCCAAA AATGAAAGAT GCGCGATCG
 CGATGCCAA TGATCCAAAT GGCATCACCC CTGGCGATTG CAGCGCCCTG ATGTCCGAAA
 TCGCTGGCTA CTTTGATCGT GCGCTGCCG CTGTTGCCA AGGCACCTTT GACGTTCTCT
 AACTTTGACC GTTCTGAACA CGCACATT TTAGGGAGAT ATTTTATCCA TGAAAACGCC
 GATTACTGAA GCCATTGCCG CCGCCGATAC CCAAGGTCGT TTCCCTCAGCA ACACCGAAGCT
 GCAAGCGGTT GACGGTCGCT TCAAGCGCGC TGTGGCCAGC ATGGAAGCTG CTCGCGCCCT
 GACCAACAAT GCTCAGAGCC TGATTGACGG CGCAGCCAA GCGGTGTACC AAAAATCCCC
 CTACACCACC ACCATGCAAG GCTCTCAATA TGCCTCGACC CCCGAAGGCA AAGCCAAGTG
 CGCCCGTGAC ATCGGCTACT ACCTGCGGAT GGTGACCTAC TGCTTAGTTG CTGGGGGTAC
 TGGAA

Phormidium sp. PR40

725 bp

TGTAACCTAT GCTACTTTGG CTGGTGATTC TAGTGTCTA GATGATCGTT GCTTGAACGG
 CTTGCGCGAA ACTTACCAAG CTCTGGGTGT TCCCGGTGGT TCCGTTGCCG CTGGCGTTCA

GAAAATGAAG GATGCTGCTA TCTCGATCGC AAACGATCAA AACGGTATCA CTCCTGGTGA
 TTGCAGTGCC TTAATTCTG AAGTTCTAG CTACTTCGAT CGCGCTGCTG CTGCTGTTGC
 TTAATCCAGT GCTTCGTTT TAGAGGTTG TTTTAGCTG GGTTAGGTTG CTCTACTCGC
 TTAAGGTGCA AACCTTCCCC TGCGTTAAA ACAACGCC TAAACAAC TG ATAGCTAAC
 AAACTCTTT GAACGAAAC CTTTCGGAC TACAAATT AGGGAGATAA CTCAACATGA
 AGACCCCCAT TACTGAGGCA ATCGCTGCTG CTGACACTCA AGGTGTTTC CTCAGCAACA
 CCGAAGTGCAGCTGCA AGCTGTTAAT GGACGGTTG AGCGTGCTGT TGCCAGCATG GAAGCGGCTC
 GTGCTCTCAC CAACAAAGCT CAGCAACTGA TTGACGGTGC AGCAAACGCT GTTTATCAGA
 AGTTCCCTTA CACCACTCAA ATGCAAGGGG CAAACTTGC GGCTGATTCT CGCGGTAAGT
 CCAAGTGTGC TCGTGACATC GGCTACTACC TGCGGATGGT AACCTACTGC TTAGTTGCTG
 TGGGG

Phormidium sp. PD40 **1027 bp**

CAGCTATGCG CTTGGTGGCT GGAGATACCG ATGTTTATA TGAGCGGGTT CTGGAAGGGT
 GCGAGAAACC TACAATTCTC TGGGTGTACC TATTGGTCCA ACCGTTCAAG GTATTCAAGAT
 TATGAAGAAT ATTGTGAAGG AACTGGTATC AGAAGCTGGA ATCGAGGATG TGGGGATTGT
 AGAGCAGCCA TTTGACTACA TGACCCGTGA GTTGGGTGAA AAGGATCTGT AAAGTACTGA
 CTTGCCCTGT GGGGAAAAGC CCAAAGATTT TAGCAGAGGA GGGCGATCG CCTCTCCTCT
 GTCATGTTT CTACTGTTA ATTTCTACT GCTTAAAGTG TCACCCCTTT ATCCCGCTCT
 GATCACGCTT GAGGAAGATA AATTCTGAGA CTACCTGGTT TCCACGGCTC TGCCTGGAAA
 GGATCGATAG GAGGGCACAG CCTCTTTGC GATGGAACAA TCATTCAAGGC AATCAGGATT
 CCCTACCCGA CTGACTGAGC ATCCGCTTCC AGCACCCAGA TCGCATCCCC TTCAGGGGTG
 CGGGTAATAA TCGTTCGTC TCCCCTGCGA CCTAATTAA CCGCAAACTC CAGAGCCTGC
 TGGCGAGTCT CTGCTACCTT GAATAAACCG TAGTATCGAC CATCTACCTG AATAGCTTCC
 AGGTGCTCAT CCAGATCTGG AACCCGAATC TGACACATCA AATAGCGGCT GCGATCACTT
 AAAATGCGAC AGGTTGGTGA CGCGATGGGT TTGTGAGCTG GTGAAGTGGA AGAGCGAGGC
 GGAGTCTGGG GAATCGCATE TGTTCAAAA ACCCAGATG CATAGCCTTT GGCAATTTTT
 GTGTCAGGAT TTGATGCCCT TTCACGATCA GCCGCCGACA GATTCGAGG GTCTGTTGCC
 TGGTTGAGT GACCTTGACC AGACTGTAAT ACTTCCCCCTC GACAACGATG GCAGCCGTGC
 GGTGGCTATC TCCTGGTAAC CGGATGTGGC AGGAACGGTA GCTGGCTGCG GGATTCAAGCA
 GCCGGAT

Oscillatoria sp. KC45 **1086 bp**

GCGTAAACTT ACATCTTTG CGGGTGGGAC GTGGGGACCA ACTGCCAAGT CCTGGAGCAG
 TTCAACAACC CCGCTGCGGG TTGACAAGGC ACGACCTCAA ATCGCTCAGC TTTCCGAATT
 GGGCTTGGTC GAATTAACGC GCAAACGCCA GGGCCAAAAT ATTATGAGC TGTGTTGGCA
 AACCTGCCG ACCTGTAGTG GTTGGGCA TTTAGTGCAT TTACCGGGTG AAATTGAACA
 GCGGGTGCCT GAAACCTGTAG AAGTGTGCG GGTAGCCCCC GTTGCAGAAC CGCGCATTGC
 TCTGCGAGAA ACTTGGGACC GAAATACGGA TGAGTTCGAT AATGACGGTA CTTCTGACTT
 GCAGGAGTTG GATTAAACCA ATCATCCCAA CTATCAGGAA CGCAGCCGAG GTGGCGATCG
 GCGGCGGCAGA CGCACTCGTT TGAAGAATGA ACCGCCGTT AAAGGCGGAC TGCCGCGGGT
 TGGAGTTGAG TTGAAACTG AAGAAGAGGT TGGTCCGGTT GAGGAGGCC CAGCCTACCG
 AGTCAGTCCG ATTCTGTCGG CTAAGGAAGC GCGCAGTGGAG AAACCTGAAC GGAATCGGGG
 AAGACGGGAA AAACCGCCTG CGAACCCACC GCAAGTGATT TCGGTGGAAA TGACACCGGA
 AGAGCAAGAT GTTTATGCTC TAATGGGTAT CTCTCCACTG GTATTAGCTT CAGAGCCTGT
 TAAGGATCCA AAGTCAACCA TCATTGCGAT TACGGCCCCC GGTGAGTCTC CTCGATCTGA
 GTATCAGTTG GCTGTTGCCA AAACCTGGACA AGCCGCTGAA TCTGCTCTAG CCGATGATGC
 CGCTGATATT TCGACTACGA TGGAGACTCG GATGACCTAG AGGCGGAAAT GGCAGTCAT
 GACGAATTGG ATACCGCTGA TATCGCCGAG ACTGCAAACG GCTCTGGGTT CACGGCACCC
 ACGCTAGCAA ATTCCGCACC CGGCGGCTTT AATCCTGCCG AAGTTGGAAT TGACCCCAGC
 AGACGGCGGC GGCAGGGCG GTCTCAACC TCAGGTGGTT GATTCGGCCT GTGTTGGAG
 ACTTCT

ภาคผนวก จ

ผลการเปรียบเทียบลำดับเบสของไซโอนแบนค์เรียกันฐานข้อมูล NCBI

ลำดับเบสของ 16S-23S ITS

1. ลำดับเบสของ 16S-23S ITS ของ *Phormidium sp. SK45*

> gb|EF429286.1| *Leptolyngbya appalachiana* GSM-SFF-MF60 16S ribosomal RNA, partial sequence; 16S-23S ribosomal RNA intergenic spacer, tRNA-Leu gene, tRNA-Ala gene, complete sequence; and 23S ribosomal RNA, partial sequence
Length=1804
Score = 527 bits (285), Expect = 3e-146
Identities = 467/547 (85%), Gaps = 43/547 (7%)
Strand=Plus/Plus

Query 14	GGCGC-CT-ATCCCATAAACCGGAGGCTCAGGTTCAGATTGCAGGCTGCAACTCGCCTGC	71
Sbjct 888		945
Query 72	ATGAAGGCGGAATCGCTAGTAATCGCAGGTCACTGCAGCATACTGCAGGTGAATACGTTCCGGGC	131
Sbjct 946	ATGAAGGCGGAATCGCTAGTAATCGCAGGTCACTGCAGCATACTGCAGGTGAATACGTTCCGGGC	1005
Query 132	CTTGTACACACCGCCCCGTACACCATGGGAGTTGGCCACGCCGAAGTCGTTACTCCAAC	191
Sbjct 1006	CTTGTACACACCGCCCCGTACACCATGGGAGTTGGCCACGCCGAAGTCGTTACTCCAAC	1065
Query 192	CGATTCTGTCGGAGGAGGATGCCGAAGGCAGGGCTGATGACTGGGTTGAAGTCGTAACAA	251
Sbjct 1066	C--TTA-G--GGAGGAGGATGCCGAAGGCAGGGCTGATGACTGGGTTGAAGTCGTAACAA	1120
Query 252	GGTAGCCGTACCGGAAGGTGTGGCTGGATCACCTCCTTTCAGGGAGACCTACTGACTTA	311
Sbjct 1121	GGTAGCCGTACCGGAAGGTGTGGCTGGATCACCTCCTTAT-AGGGAGACCTCCC-ACTTG	1178
Query 312	--G--AGA-GATAGGAGAGACGAGA-GCGTCCACAGGAGTTGAAGAACTCTTGCT-T	363
Sbjct 1179	TTGGTAGAAGCTTT-AGAGAT-AGAAGA-TA-A-AGGAATA--AACTAA-T-TTACTCCT	1229
Query 364	GAGACTCGAGTCGCTCAAACCAAATGGATACATC-TCCCTAAGTTGGTCATCCCAAGGTGCG	422
Sbjct 1230	AAGTTT-GACTCTTCAG-C-AT-TC-AT-CATCCCTTC-AAGCTGGTCAACC-AAGGTGCG	1281
Query 423	TTCGGGGAATAAGTG--TTAGGCTTCAAACCTAGATTGGTTCGGTCTGGCTATTAGC	480
Sbjct 1282	GTCGAGGTTCA-TGGCTT-GACTTTCAAACCTATCT-GGTTCCGATA-TGGGCTATTAGC	1337
Query 481	TCAGGTGGTTAGAGCGCACCCCTGATAAGGGTGAGGTCCCTGGTCTGGTCCAGGATGGC	540
Sbjct 1338	TCAGGTGGTTAGAGCGCACCCCTGATAAGGGTGAGGTCCCTGGTCTGGTCCAGGATGGC	1397
Query 541	CCACCTT 547	
Sbjct 1398	CCACCTT 1404	
Score = 134 bits (72), Expect = 7e-28 Identities = 76/78 (97%), Gaps = 0/78 (0%) Strand=Plus/Plus		
Query 635	TTGGGGGTTAGCTCAGTTGGTAGAGCGCCTGCTTGCAGCAGGATGTCAGCAGTTCGA	694
Sbjct 1403	TTGGGGGTTAGCTCAGTTGGTAGAGCGCCTGCTTGCAGCAGGATGTCAGCGGTTCGA	1462

```

Query 695      GTCTGCTAACCTCCACTG 712
||| |||||||||||||
Sbjct 1463     GTCCGCTAACCTCCACTG 1480

```

Query = ลำดับเบสของ *Phormidium* sp. SK45

Sbjct = ลำดับเบสของ *Leptolyngbya appalachiana* (EF429286.1)

2. ลำดับเบสของ 16S-23S ITS ของ *Phormidium* sp. PR40

```

> gb|DQ786166.1| Leptolyngbya sp. LLi18 16S ribosomal RNA gene, partial
sequence;
16S-23S ribosomal RNA intergenic spacer, tRNA-Ile and tRNA-Ala
genes, complete sequence; and 23S ribosomal RNA gene,
partial sequence
Length=2156
Score = 438 bits (237), Expect = 1e-119
Identities = 322/360 (89%), Gaps = 17/360 (4%)
Strand=Plus/Plus

```

```

Query 21      ATCCCATAAACCGAGGCTCAGGTTCAGATTGCAGGGTGCAACTCGCCTGCATGAAGGCG 80
||| |||||||||||||
Sbjct 1204    ATCCCATAAACCGAGGCTCA-GTTCAGATTGCAGGC-TGCAACTCGCCTGCATGAAGGCG 1261
||| |||||||||||||
Query 81      GAATCGCATAGTTAATCGCAGGTCACTGCAGGTGAATACGATTCCCGGTCTTGTAA 140
||| |||||||||||||
Sbjct 1262    GAATCGC-TAG-TAATCGCAGGTCACTGCAGGTGAATACG-TTCCCGGGCTTGTAA 1318
||| |||||||||||||
Query 141    CACACCGCCCGTCACACCATTGGGAGTTGCCACGCCGAAGTCGTTA-TCCAACCCAT- 198
||| |||||||||||||
Sbjct 1319    CACACCGCCCGTCACACCATTGGGAGTTGCCACGCCGAAGTCGTTACTCC-AACCGTTTC 1377
||| |||||||||||||
Query 199    GTGGAGGGA-GATGCCGAAGGCAGGGCTGATGACTGGGTGAAGTCGTAACAAGGTAGCC 257
||| |||||||||||||
Sbjct 1378    GCGGA-GGAGGACGCCGAAGGCAGGGCTGATGACTGGGTGAAGTCGTAACAAGGTAGCC 1436
||| |||||||||||||
Query 258    GTACCGGAAGGTGTGGCTGGATCACCTCCTTTAGGGAGACCT-CCCGACTCTAAAGGC 316
||| |||||||||||||
Sbjct 1437    GTACCGGAAGGTGTGGCTGGATCACCTCCTTTA-AGGGAGACCTACCC-ATTC-AGATTC 1493
||| |||||||||||||
Query 317    TGAAGGCACAGTGCATTAAGC-CAAGAGTTGGTCATCCCAAGGTCAATCGAGATA-GAG 374
||| |||||||||||||
Sbjct 1494    TGAAAGCACAGAGCAAATAGGGACT-GAATTGGTCATCCCAAGGTGTTGAGGTATGAG 1552
||| |||||||||||||

```

Query = ลำดับเบสของ *Phormidium* sp. PR40

Sbjct = ลำดับเบสของ *Leptolyngbya* sp. LLi18 (DQ786166.1)

3. ลำดับเบสของ 16S-23S ITS ของ *Leptolyngbya* sp. PR40

```

> gb|DQ786166.1| Leptolyngbya sp. LLi18 16S ribosomal RNA gene, partial
sequence; 16S-23S ribosomal RNA intergenic spacer, tRNA-Ile and tRNA-Ala
genes, complete sequence; and 23S ribosomal RNA gene,
partial sequence
Length=2156
Score = 641 bits (347), Expect = 1e-180
Identities = 459/509 (90%), Gaps = 23/509 (4%)
Strand=Plus/Plus

```

Query 2	CGGACAAAGGGTTGCCAAGTGGCAGACTGAG-CTATCCCGTAAACCGAGGCTCAGTC 60
Sbjct 1169	CGGACAAAGGGCAGCGAGCTAGCGATAGCAAGCCAATCCC-ATAAACCGAGGCTCAGTC 1227
Query 61	AGATTGCAGGCTGCAACTCGCTGCATGAAGCGGAATCGCTAGTAATGCCGGTCAGCA 120
Sbjct 1228	AGATTGCAGGCTGCAACTCGCTGCATGAAGCGGAATCGCTAGTAATGCCAGGTCAAGCA 1287
Query 121	TACGGCGGTGAATACGTTCCCGGGCTTGACACACCGCCCCGTACACCATGGGAGTTGG 180
Sbjct 1288	TACTGCGGTGAATACGTTCCCGGGCTTGACACACCGCCCCGTACACCATGGGAGTTGG 1347
Query 181	CCACGCCCGAAGTCGTTACTCCAACCGATTCTGTCGGAGGAGCGCGAAGGCAGGGCT 240
Sbjct 1348	CCACGCCCGAAGTCGTTACTCCAACCG-TTC-G-CGGAGGAGGACGCCGAAGGCAGGGCT 1404
Query 241	GATGACTGGGGTGAAGTCGTAACAAGGTAGCCGTACCGGAAGGTGGCTGGATCACCTC 300
Sbjct 1405	GATGACTGGGGTGAAGTCGTAACAAGGTAGCCGTACCGGAAGGTGGCTGGATCACCTC 1464
Query 301	CTTTATAGGGAGACCT-CCCGACTCT-ACGCCTGAAAGCGAC-GTGCAGTTAAGGTAA-G 356
Sbjct 1465	CTTTA-AGGGAGACCTACCC-ATTCAAGATTC-TGAAAGC-ACAGAGCAAATAGGG-ACTG 1519
Query 357	AGTTGGTCATCCCAAGGTGGTC-AGGCAGTG-GTGCAGAGGCTTCAAACCTAGCT---G 411
Sbjct 1520	AATTGGTCATCCCAAGGTGGTCAGGTGA-TGAGTGTAAAGGTTCAAACATAT-TAAAG 1576
Query 412	GTTCGGTTCATGGGCTATTAGCTCAGGTGGTTAGAGCGCACCCCTGATAAGGGTGAGGTC 471
Sbjct 1577	GTTCGGAT-ATGGGCTATTAGCTCAGGTGGTTAGAGCGCACCCCTGATAAGGGTGAGGTC 1635
Query 472	CCTGGTTCGAGTCCAGGATGGCCACCTT 500
Sbjct 1636	CCTGGTTCGAGTCCAGGATGGCCACCTT 1664

Score = 143 bits (77), Expect = 1e-30
 Identities = 89/94 (94%), Gaps = 3/94 (3%)
 Strand=Plus/Plus

Query 568	GATTCAATCTCGACATGGGGTTAGCTCAGTTGGTAGAGGCCCTGCTTGCAAGCAGG 627
Sbjct 1668	GATT-AATATT-G-CACGGGGTTAGCTCAGTTGGTAGAGGCCCTGCTTGCAAGCAGG 1724
Query 628	ATGTCAGCGGTTCGAGTCCGCTAACCTCCACTGG 661
Sbjct 1725	ATGTCAGCGGTTCGAGTCCGCTAACCTCCACTGG 1758

Query = ลำดับเบสของ *Leptolyngbya* sp. PR40

Sbjct = ลำดับเบสของ *Leptolyngbya* sp. LLi18 (DQ786166.1)

4. ลำดับเบสของ 16S-23S ITS ของ *Scytonema* sp. TP40

```
> gb|DQ786166.1| Leptolyngbya sp. LLi18 16S ribosomal RNA gene, partial sequence;
16S-23S ribosomal RNA intergenic spacer, tRNA-Ile and tRNA-Ala genes, complete sequence; and 23S ribosomal RNA gene, partial sequence
Length=2156
Score = 486 bits (263), Expect = 5e-134
Identities = 279/286 (97%), Gaps = 4/286 (1%)
Strand=Plus/Plus
```

Query 14	GCCTATCCCATAAACCGAGGCTCAGTTAGCTCAGATTGCAGGCTGCAACTCGCCTGCATGAAGG 73
Sbjct 1200	GCCAATCCCATAAACCGAGGCTCAGTTAGCTCAGATTGCAGGCTGCAACTCGCCTGCATGAAGG 1259

Query 74 CGGAATCGCTAGTAATCGCAGGTCA GCATACTGC GG TGAA ATAC GTTCCC GGGC TTGTAC 133
 Sbjct 1260 CGGAATCGCTAGTAATCGCAGGTCA GCATACTGC GG TGAA ATAC GTTCCC GGGC TTGTAC 1319

Query 134 ACACCGCCCGTCACACC ATGGGAGTTGCCACGCCGAAGTCGTTACTCCAACCGATTCT 193
 Sbjct 1320 ACACCGCCCGTCACACC ATGGGAGTTGCCACGCCGAAGTCGTTACTCCAACCG-TTC- 1377

Query 194 GTCGGAGGAGGATGCCGAAGGCAGGGCTGATGACTGGGTGAAGTCGAACAAGGTAGCC 253
 Sbjct 1378 G-CGGAGGAGGACGCCGAAGGCAGGGCTGATGACTGGGTGAAGTCGAACAAGGTAGCC 1436

Query 254 GTACCGGAAGGTGTGGCTGGATCACCTCCTTTCAAGGGAGACCTAC 299
 Sbjct 1437 GTACCGGAAGGTGTGGCTGGATCACCTCCTTTA-AGGGAGACCTAC 1481

Score = 204 bits (110), Expect = 6e-49
 Identities = 133/144 (92%), Gaps = 2/144 (1%)
 Strand=Plus/Plus

Query 400 TTGGTCATCCCAAGGTCTGGGATAAAGTGTAGGCTTCAAAC TA-GATTGGTTTCG 458
 Sbjct 1522 TTGGTCATCCCAAGGTCTCGAGGTATGAGTGTAAGGCTTCAAAC ATTAAAGGTTTCG 1581

Query 459 GTTCGTGGCTATTAGCTCAGGTGGTTAGAGCGCACCCCTGATAAGGGTGAGGTCCCTGG 518
 Sbjct 1582 GAT-ATGGGCTATTAGCTCAGGTGGTTAGAGCGCACCCCTGATAAGGGTGAGGTCCCTGG 1640

Query 519 TTCGAGTCCAGGATGGCCCACCTT 542
 Sbjct 1641 TTCGAGTCCAGGATGGCCCACCTT 1664

Score = 137 bits (74), Expect = 6e-29
 Identities = 158/195 (81%), Gaps = 19/195 (9%)
 Strand=Plus/Plus

Query 632 GGGGGTTTAGCTCAGTTGGTAGAGCGCCTGCTTCAAGCAGGATGTCAGCAGTTCGAGT 691
 Sbjct 1682 GGGGGTTTAGCTCAGTTGGTAGAGCGCCTGCTTCAAGCAGGATGTCAGCAGGTTTCGAGT 1741

Query 692 CTGCTAACCTCCACTGG-GCAAA-AGCCAAGCGATAGATTTCAGCAACTGGTTAGAG 749
 Sbjct 1742 CCGCTAACCTCCACTGGAGGTGATAGAGCAAGCGA--GATTG--AGGAACAG-TTCAG- 1794

Query 750 CAGCCTGAG--AGGCTGAGT-CTAAAGAGCCTGCTGGAAAGTT-TCCAGCTAGAACCTAG 804
 Sbjct 1795 CAACTT-ATCTAGG--GAATGCTAGAGAGCCTGCTGGGA-TTGTCAGCCAGAACCAT-G 1849

Query 805 AAAACTGCATAGCGA 819
 Sbjct 1850 AAAACTGCATAGCGA 1864

Query = ลำดับเบสของ *Scytonema* sp. TP40

Sbjct = ลำดับเบสของ *Leptolyngbya* sp. LLi18 (DQ786166.1)

5. ลำดับเบสของ 16S-23S ITS ของ *Scytonema* sp. TP40-1

```
> gb|EF429286.1| Leptolyngbya appalachiana GSM-SFF-MF60 16S ribosomal RNA,
partial
sequence; 16S-23S ribosomal RNA intergenic spacer, tRNA-Leu
gene, tRNA-Ala gene, complete sequence; and 23S ribosomal
RNA, partial sequence
Length=1804
Score = 529 bits (286), Expect = 9e-147
Identities = 468/548 (85%), Gaps = 44/548 (8%)
Strand=Plus/Plus
```

Query 1 GGCGC-CT-ATCCCATAAACCGGAGGCTCGATGTTCAAGATTGCAGGCTGCAACTCGCCTG 58
 Sbjct 888 GGCGCGCTAATCCCATAAACCGGAGGCTCGATGTTCAAGATTGCAGGCTGCAACTCGCCTG 944
 Query 59 CATGAAGGCGGAATCGCTAGTAATCGCAGGTCAAGCATACTGCAGGTGAATACGTTCCCGGG 118
 Sbjct 945 CATGAAGGCGGAATCGCTAGTAATCGCAGGTCAAGCATACTGCAGGTGAATACGTTCCCGGG 1004
 Query 119 CCTTGTAACACACCAGCCCGTCACACCATGGGAGTTGCCACGCCGAAGTCGTTACTCAA 178
 Sbjct 1005 CCTTGTAACACACCAGCCCGTCACACCATGGGAGTTGCCACGCCGAAGTCGTTACTCAA 1064
 Query 179 CCGATTCTGTCGGAGGAGGATGCCGAAGGCAGGGCTGATGACTGGGTGAAGTCGTAACA 238
 Sbjct 1065 CCGATTCTGTCGGAGGAGGATGCCGAAGGCAGGGCTGATGACTGGGTGAAGTCGTAACA 1119
 Query 239 AGGTAGCCGTACCGGAAGGTGGCTGGATCACCTCCTTCAAGGGAGACCTACTGACTT 298
 Sbjct 1120 AGGTAGCCGTACCGGAAGGTGGCTGGATCACCTCCTTAT-AGGGAGACCTCCC-ACTT 1177
 Query 299 A--G--AGA-GATAGGAGAGATGAGA-GCGTCCAGAGGAGTTGAAGAAACTCTTGCT-- 350
 Sbjct 1178 GTTGGTAGAACGTTT-AGAGAT-AGAAGA-TA-A-AGGAATA-AAGTAA-T-TTACTCC 1228
 Query 351 TGAGACTCGAGTCGCTCAAACCAAATGGATACATC-TCCAAGTTGGTCATCCCAAGGTC 409
 Sbjct 1229 TAAGTTT-GACTCTTCAG-C-AT-TC-AT-CATCCTTC-AAGCTGGTCAACC-AAGGTC 1280
 Query 410 GTTCGGGGAATAAGTG-TTAGGCTTCAAACTAGATTGGTTGGCTCGTGGCTATTAG 467
 Sbjct 1281 GGTCGAGGTTCA-TGGCTT-GACTTTCAAACATATCT-GGTTGGATA-TGGGCTATTAG 1336
 Query 468 CTCAGGTGGTTAGAGCGCACCCCTGATAAGGGTAGGGTCCCTGGTCAGTCCAGGATGG 527
 Sbjct 1337 CTCAGGTGGTTAGAGCGCACCCCTGATAAGGGTAGGGTCCCTGGTCAGTCCAGGATGG 1396
 Query 528 CCCCACCTT 535
 Sbjct 1397 CCCCACCTT 1404

 Score = 134 bits (72), Expect = 8e-28
 Identities = 76/78 (97%), Gaps = 0/78 (0%)
 Strand=Plus/Plus
 Query 623 TTGGGGGTTTAGCTCAGTTGGTAGAGCGCCTGCTTGCAAGCAGGATGTCAGCAGTCGA 682
 Sbjct 1403 TTGGGGGTTTAGCTCAGTTGGTAGAGCGCCTGCTTGCAAGCAGGATGTCAGCAGTCGA 1462
 Query 683 GTCTGCTAACCTCCACTG 700
 Sbjct 1463 GTCCGCTAACCTCCACTG 1480

Query = ลำดับเบสของ *Scytonema* sp. TP40-1

Sbjct = ลำดับเบสของ *Leptolyngbya appalachiana* (EF429289.1)

6. ลำดับเบสของ 16S-23S ITS ของ *Phormidium* sp. PD40

> gb|EF429286.1| *Leptolyngbya appalachiana* GSM-SFF-MF60 16S ribosomal RNA, partial sequence; 16S-23S ribosomal RNA intergenic spacer, tRNA-Leu gene, tRNA-Ala gene, complete sequence; and 23S ribosomal RNA, partial sequence
 Length=1804
 Query start position
 Subject start position
 Score = 846 bits (458), Expect = 0.0
 Identities = 635/713 (89%), Gaps = 42/713 (5%)

Strand=Plus/Plus

Query 1	GCAACGAGCGCAACCCTCGTTCTAGTTGCCATCATTAAGTTGGGACTCTGGAGAGACT	60
Sbjct 717	GCAACGAGCGCAACCCTCGTTCTAGTTGCCAGCATTCAAGTTGGGACTCTGGAGAGACT	776
Query 61	GCCGGTGACAAACCGGAGGAAGGTGGGGATGACGTCAAGTCAGCATGCCCTTACGTCT	120
Sbjct 777	GCCGGTGACAAACCGGAGGAAGGTGGGGATGACGTCAAGTCAGCATGCCCTTACGCCCT	836
Query 121	GGGCTACACACGTACTACAATGCTGT-GGACAAAGAGCAGCCAGACC-GCGA-GGTTGAG	177
Sbjct 837	GGGCTACACACGTACTACAATGCT-TCGGACAAAGGGTGCCTA-ACCAGCGATGCC-GCG	893
Query 178	CTAACATCTCATAAACC-ACGGCTCAGTTCAAGATTGCAGGCTGCAACTCGCCTGCATGAAGG	236
Sbjct 894	CTAACATCCATAAACCGA-GGCTCAGTTCAAGATTGCAGGCTGCAACTCGCCTGCATGAAGG	952
Query 237	CGGAATCGCTAGTAATCGCAGGTCAAGCATACTGCAGGTGAATACGTTCCCAGGCCTGTAC	296
Sbjct 953	CGGAATCGCTAGTAATCGCAGGTCAAGCATACTGCAGGTGAATACGTTCCCAGGCCTGTAC	1012
Query 297	ACACCGCCCGTCACACCATGGGAGTTGCCACGCCGAAGTCGTTACTCCAACCGCTT-G	355
Sbjct 1013	ACACCGCCCGTCACACCATGGGAGTTGCCACGCCGAAGTCGTTACTCCAAC--TTAG	1070
Query 356	CGGAGGAGGACGCCGAAGGCAGGGCTGATGACTGGGTGAAGTCGTAACAAGGTAGCCGT	415
Sbjct 1071	CGGAGGAGGATGCCGAAGGCAGGGCTGATGACTGGGTGAAGTCGTAACAAGGTAGCCGT	1129
Query 416	ACCGGAAGGTGTCGGATCACCTCCTTTAGGGAGACCTACCCACTTa-ga-gag-ag	473
Sbjct 1130	ACCGGAAGGTGTCGGATCACCTCCTTAT-AGGGAGACCT-CCCACTT-GTTG-GTAG	1185
Query 474	gagcg--ag-gagagaggagagaggagTTGAAG-AACTT-CTCATCGAGACTCGACTCA	528
Sbjct 1186	AAGCTTGTAGAGATAGAAGATAAAGGAATA--AAGTAATTTACTCCTA-AGTTT-GACTCT	1241
Query 529	G-CGAAGCAGTTGTAAGCATC-TCCTAACAGTTGGCATCCCAAGGTGGTCAGTTTAAG	586
Sbjct 1242	TTC-A-GCA-TTC-AT-CATCCTTC-AAGCTGGTCACC-AAGGTGGTCAGGTTCA-	1293
Query 587	TG--TTGGCTTCAAACTAGCTGGTCG-ATGATGGGCTATTAGCTCAGGTGGTTAGAG	643
Sbjct 1294	TGGCTTGACTTCAAACATATCT-GGTTGGAT-ATGGGCTATTAGCTCAGGTGGTTAGAG	1351
Query 644	CGCACCCCTGATAAGGGTGAGGTCCCTGGTCGAGTCCAGGATGGCCACCTT	696
Sbjct 1352	CGCACCCCTGATAAGGGTGAGGTCCCTGGTCGAGTCCAGGATGGCCACCTT	1404

Score = 145 bits (78), Expect = 5e-31

Identities = 78/78 (100%), Gaps = 0/78 (0%)

Strand=Plus/Plus

Query 776	GGGGGTTTAGCTCAGTTGGTAGAGCGCCTGCTTGCAGCAGGATGTCAGCGGTTGAGT	835
Sbjct 1405	GGGGGTTTAGCTCAGTTGGTAGAGCGCCTGCTTGCAGCAGGATGTCAGCGGTTGAGT	1464
Query 836	CCGCTAACCTCCACTGAG	853
Sbjct 1465	CCGCTAACCTCCACTGAG	1482

Score = 91.6 bits (49), Expect = 7e-15

Identities = 65/72 (90%), Gaps = 5/72 (6%)

Strand=Plus/Plus

Query 1057	CACAGACACCAA-TG-AACTTGTAAAGTGGTCAAGCTAATAAGGGCTAACGGTGGATACC	1114
Sbjct 1735	CACAGACACCAAATTGAAAC--GTT-AGTGGTCRAGCTAACAGGGCTAACGGTGGATACC	1791

Query 1115	TAGGCACACAGA 1126
Sbjct 1792	TAGGCACACAGA 1803

7. ลำดับเบสของ 16S-23S ITS ของ *Chroococcidiopsis* sp. PR45

> gb|EU032390.1| Uncultured Antarctic cyanobacterium clone N184-3 16S ribosomal
 RNA gene, partial sequence; 16S-23S ribosomal RNA intergenic spacer, complete sequence; and 23S ribosomal RNA gene, partial sequence
 Length=1280
 Score = 763 bits (413), Expect = 0.0
 Identities = 580/656 (88%), Gaps = 29/656 (4%)
 Strand=Plus/Plus

Query 1	CAACGAGCGAACCCCTCGTTTGTAGTTGCCAGCATTAAAGTTGGGCACCTCTAGAAAGACTG 60
Sbjct 320	CAACGAGCGAACCCCTCGTTTGTAGTTGCCAGCATTAAAGTTGGGCACCTCTAGAAAGACTG 379
Query 61	CCGGTGACAAACCGGAGGAAGGTGGGATGACGTCAAGTCAGCATGCCCTTACGCTCTG 120
Sbjct 380	CCGGTGACAAACCGGAGGAAGGTGGGATGACGTCAAGTCAGCATGCCCTTACGCTCTG 439
Query 121	GGCTACACACGTACTACAATGCTGTGGACAAAGGGCAGCAAGA-ATGCGAAT-TCAAGCA 178
Sbjct 440	GGCTACACACGTACTACAATGCTACGGACAAAGGGTAGCAAGACA-GCGA-TGTCAAGCC 497
Query 179	AATCCCAGAAAACCACGGCTCAGTTCAAGATCGCAGGCTGCAACTCGCCTGCGTAAGGC 238
Sbjct 498	AATCCCATAAACCGTGGCTCAGTTCAAGATTGCAAGGCTGCAACTCGCCTGCAATGAAGGC 557
Query 239	AATCGCTAGTAATCGCCGGTCAGC-CATACGGCGGTGAATACGTCCCCGGGCTTGTACA 297
Sbjct 558	AATCGCTAGTAATCGCAGGTCAAGCAC-TACTGCGGTGAATACGTCCCCGGGCTTGTACA 616
Query 298	CACCGCCCGTCACACCATGGAAGCTGGCC-ACGCCCGAAGTCGTACCTAACCTTTCGA 356
Sbjct 617	CACCGCCCGTCACACCATGGAAGCTGGCTTA-GCCCGAAGTCGTACCTAAC-TGTA-A 673
Query 357	GGAGGGGGACGCCGAAGGCAGGGCTGGTACTGGGGTGAAGTCGTAACAAGGTAGCCGTA 416
Sbjct 674	GGAGGGGGATGCCGAAGGCAGGGCTGGTACTGGGGTGAAGTCGTAACAAGGTAGCCGTA 733
Query 417	CCGGAAGGTGTGGCTGGATCACCTCCTTTAGGGAGACCT-ACCCAAC-ACGAGT-TGC 473
Sbjct 734	CCGGAAGGTGTGGCTAGATCACCTCCTTT-AGGGAGACCTTACCCCTCTA--ACTCTGA 790
Query 474	-TCGCGCAGCGAGT-G-TC-AGGTCAAC-CGAGGTGGTCGAGGGCAGATGTGTG-GCTT 527
Sbjct 791	ATTGAGTAA-GAGTAGATAGAGGTTATCTCAAGGTGGTCGAGGTTATATGTGTTAGCTT 849
Query 528	TCAAACCTGGTTGGTTAAGAGGAGCGAAACCGAGCAAGGGCTATTAGCTCAGGTGGTT 587
Sbjct 850	CCAAATTGGCTGGTTT-A--ATT-AA-CC-AGTACGGGCTATTAGCTCAGATGGTT 903
Query 588	AGAGCGCACCCCTGATAAGGGTGAGGTCCCTGGTCAGTCCAGGATGGCCACCT 643
Sbjct 904	AGAGCGCACCCCTGATAAGGGTGAGGTCCCTGGTCAGTCCAGGATGGCCACCT 959

ลำดับเบสของ PC-IGS ของไฟโโคไซยานินโอดีอ่อน

1. ลำดับเบสของ PC-IGS ของ *Synechococcus* sp. SK70

> dbj|BA000039.2|

Thermosynechococcus elongatus BP-1 DNA, complete genome

Length=2593857

Features in this part of subject sequence:

phycocyanin beta subunit

phycocyanin alpha subunit

Score = 1016 bits (550), Expect = 0.0

Identities = 615/647 (95%), Gaps = 2/647 (0%)

Strand=Plus/Plus

Query 2	TGGCTGCTTGTAAACCGACATGGAAATCATCTTGCCTATGTGACCTACGCCATTGG 61
Sbjct 2041911	TGGCTGCCTGCCTGCGACATGGAAATTATCTTGCCTATGTGACCTACGCCATTGG 2041970
Query 62	CCGGTGACTCCAGCGTGCCTCGATGATCGCTGCTTGAAACGGCTGGGAAACCTACCAAG 121
Sbjct 2041971	CCGGTGACTCCAGCGTGCCTCGATGATCGCTGCTTAAATGGTCTGGGAAACCTACCAAG 2042030
Query 122	CCCTTGGTACCCCCGGCTCCTCCGTGGCTGTGGCTATCCAAAAAATGAAAGATGCCGCGA 181
Sbjct 2042031	CCCTGGTACCCCCGGCTCCTCTGTGGCTGTGGCATTCAGAAGATGAAGGATGCCGCGA 2042090
Query 182	TCGCGATGCCAATGATCCCAATGGCATCACCCCTGGGATTGCGAGGCCCTGATGTCCG 241
Sbjct 2042091	TCGCGATGCCAATGATCCCAATGGCATCACCCCTGGGATTGCGAGGCCCTGATGTCCG 2042150
Query 242	AAATCGCTGGCTACTTGATCGTGCCTGCCGTGTTGCCATAAGGCACCTTGACGTTTC 301
Sbjct 2042151	AAATCGCCGGTACTTGATCGTGCCTGCCGTGTTGCCATAAGACACCTTAGACATTC 2042210
Query 302	TCT-AACTTTGACCGTTCTGAACACGACATTTTTAGGGAGATATTTATCCATGAAAA 360
Sbjct 2042211	-CTTAACCTTGACCGTTCTGAACACGACATTTTTAGGGAGATACTTATCCATGAAAA 2042269
Query 361	CGCCGATTACTGAAGCCATTGCCGCCGCGATACCAAGGCGTTTCCTCAGCAACACCG 420
Sbjct 2042270	CGCCGATTACTGAAGCTATTGCCGCCGCGATACCAAGGCGTTTCCTGAGCAACACCG 2042329
Query 421	AACTGCAAGCGGTTGACGGTCGCTCAAGCGCGTGTGGCCAGCATGGAAAGCTGCTCGCG 480
Sbjct 2042330	AACTGCAAGCGGTTGACGGTCGCTCAAGCGCGTGTGGCCAGCATGGAAAGCTGCTCGCG 2042389
Query 481	CCCTGACCAACAATGCTCAGACGCTGATTGACGGCGAGCCCAAGCGGTGTACAAAAAAT 540
Sbjct 2042390	CCCTGACCAACAACGCCAGAGCTTGATTGACGGCGAGCCCAAGCGGTGTATCAAAAAT 2042449
Query 541	TCCCCCTACACCACCATGCAAGGCTCTCAATATGCCCTGACCCCGAAGGCAAAGCCA 600
Sbjct 2042450	TCCCCCTACACCACGACCATGCAAGGCTCTCAGTATGCCCTGACCCCGAAGGCAAAGCCA 2042509
Query 601	AGTGCGCCCGTGACATCGGCTACTACCTGCGGATGGTACCTACTGC 647
Sbjct 2042510	AGTGCGCCCGTGACATCGGCTACTACCTGCGGATGGTACCTACTGC 2042556

Query = ลำดับเบสของ *Synechococcus* sp. SK70

Sbjct = ลำดับเบสของ *Thermosynechococcus elongatus* (BA000039.2)

2. ลำดับเบสของ PC-IGS ของ *Synechococcus* sp. SK50

> dbj|BA000039.2|

Thermosynechococcus elongatus BP-1 DNA, complete genome

Length=2593857

Features in this part of subject sequence:

phycocyanin beta subunit

phycocyanin alpha subunit

Score = 990 bits (536), Expect = 0.0

Identities = 611/647 (94%), Gaps = 5/647 (0%)

Strand=Plus/Plus

Query 15	CGCGACATGGAAATCATCTGCGCTATGTGACCTACGCCATTGGCGGGTGACT--AGC	72
Sbjct 2041925	CGCGACATGGAAATTATCTGCGCTATGTGACCTACGCCATTGGCGGGTGACTCCAGC	2041984
Query 73	GTCGATGATCGCTGCTTGAACGGT-TGCGGGAAACCTACCAAGCCCTGGTACCCCC	131
Sbjct 2041985	GTCGATGATCGCTGCTAAATGGTCTGCGGGAAACCTACCAAGCCCTGGTACCCCC	2042044
Query 132	GGCTCCCTCCGTGGCTGTGGCTATCCAAAAAATGAAAGATGCCCGATCGCGATGCCAAT	191
Sbjct 2042045	GGCTCCCTCTGTGGCTGTGGCATTAGAAGATGAAGGATGCCCGATCGCGATGCCAAT	2042104
Query 192	GATCCAATGGCATCACCCCTGGCGATTGCAGCGCCCTGATGTCCGAAATCGCTGGCTAC	251
Sbjct 2042105	GATCCAATGGCATCACCCCTGGCGATTGCAGCGCCCTGATGTCCGAAATGCCGGCTAC	2042164
Query 252	TTTGATCGTGCCTGCGCTGCGCTGTTGCTTAAGGCACCTTTGACGTTCTT-AACTTTGACC	310
Sbjct 2042165	TTTGATCGTGCCTGCGCTGCGCTGTTGCTTAAGACACCTTAGACATTC-CTTAACTTTGACC	2042223
Query 311	GTTCTGAACACGCACATTTTTAGGGAGATATTTATCCATGAAAAGCCGATTACTGAA	370
Sbjct 2042224	GTTCTGAACACGCACATTTTTAGGGAGATACTTTATCCATGAAAAGCCGATTACTGAA	2042283
Query 371	GCCATTGCCGCCGATACCAAGGTGCTTCCCTCAGCAACACCGAACTGCAAGCGGTT	430
Sbjct 2042284	GCCATTGCCGCCGATACCAAGGTGCTTCCCTGAGCAACACCGAACTGCAAGCGGTT	2042343
Query 431	GACGGTCGCTTCAAGCGCCTGTGGCCAGCATGGAAGCTGCTCGCCCTGACCAACAAT	490
Sbjct 2042344	GACGGTCGCTTCAAGCGCCTGTGGCCAGCATGGAAGCTGCTCGCCCTGACCAACAAC	2042403
Query 491	GCTCAGAGCTGATTGACGGCGCAGCCAAGCGGTGACAAAAATTCCCTACACCAACC	550
Sbjct 2042404	GCTCAGAGCTGATTGACGGCGCAGCCAAGCGGTGACAAAAATTCCCTACACCAACG	2042463
Query 551	ACCATGCAAGGCTCTCAATATGCCTCGACCCCCGAAGGCAAAGCCAAGTGCCTCCGTGAC	610
Sbjct 2042464	ACCATGCAAGGCTCTCAGTATGCCTCGACCCCCGAAGGCAAAGCCAAGTGCCTCCGTGAC	2042523
Query 611	ATCGGCTACTACCTGCGGATGGTGACCTACTGCTTAGTTGCTGGGGG	657
Sbjct 2042524	ATCGGCTACTACCTGCGGATGGTGACCTACTGCTCGTGGGGGGGG	2042570

Query = ลำดับเบสของ *Synechococcus* sp. SK50

Sbjct = ลำดับเบสของ *Thermosynechococcus elongatus* (BA000039.2)